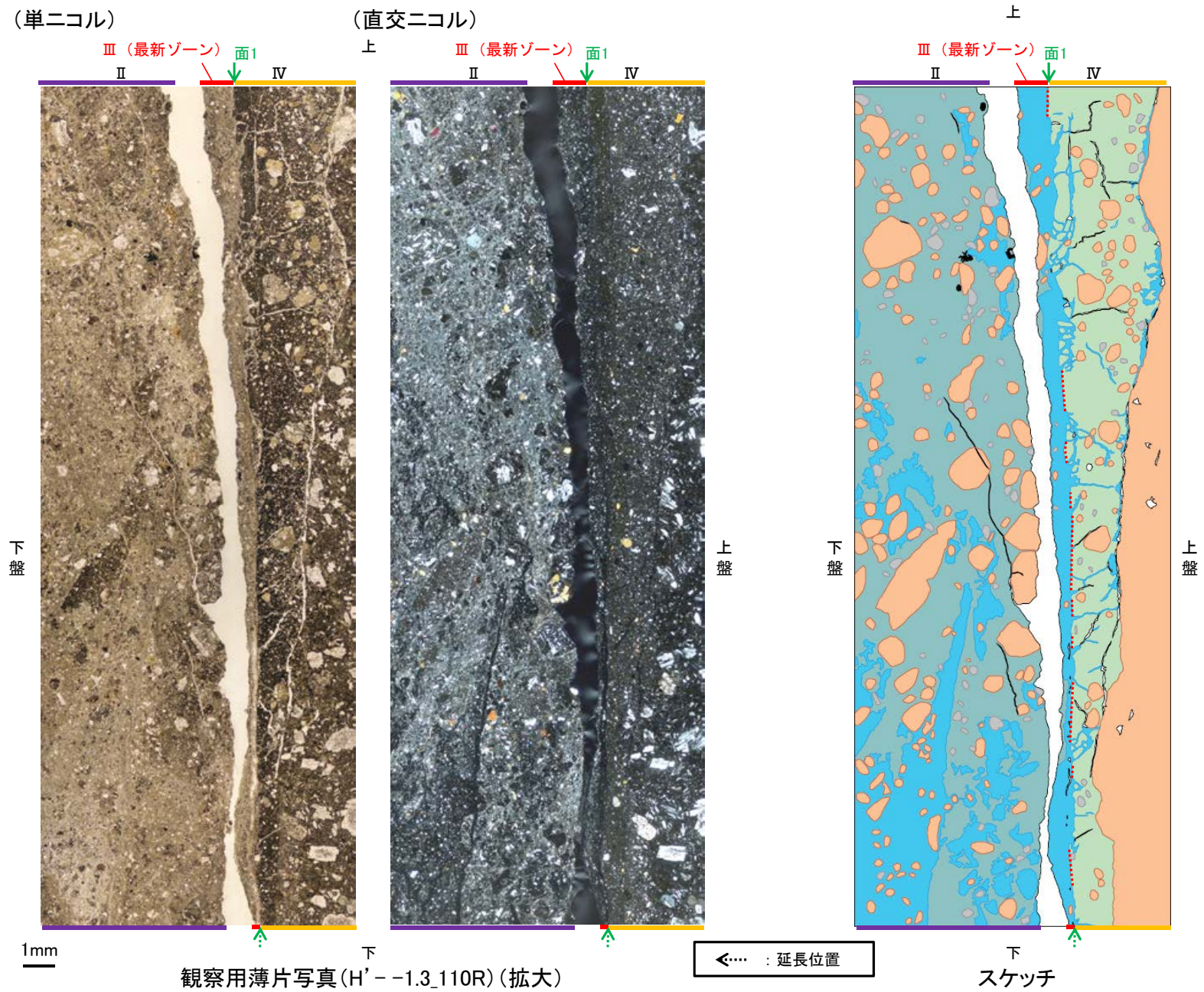


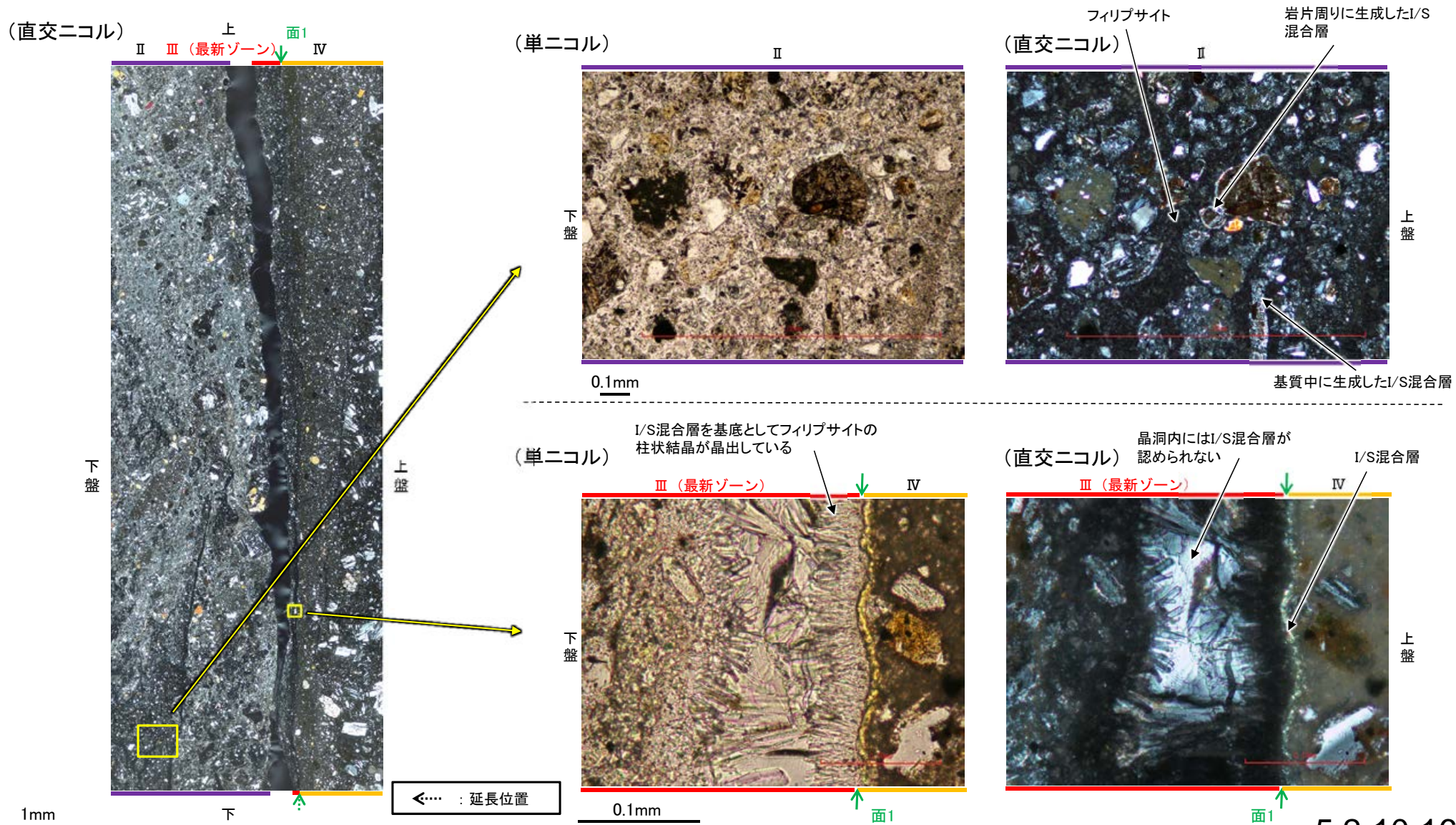
H' - -1.3孔 ー変質鉱物の分布(薄片観察)ー

○観察用薄片で実施した薄片観察や、EPMA用薄片で実施したEPMA分析(マッピング)における化学組成の観点での観察により、I/S混合層及びフィリップサイトの分布範囲を確認した結果、I/S混合層及びフィリップサイトが最新ゾーンやその周辺に分布している。



H' - -1.3孔 -I/S混合層とフィリップサイトとの関係-

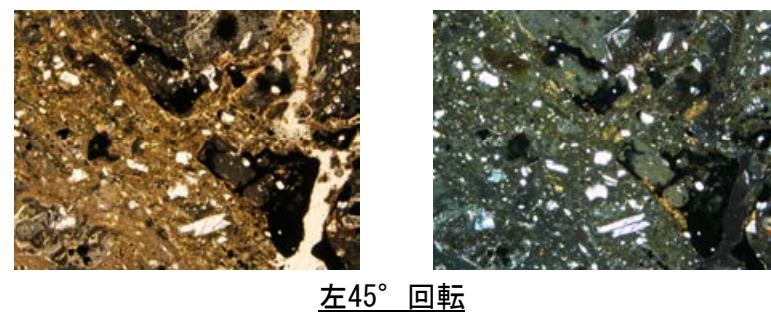
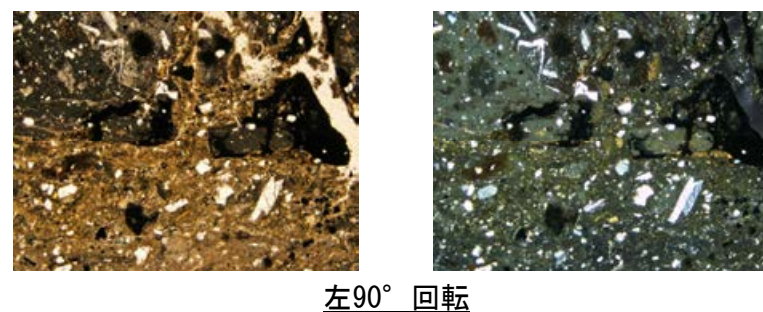
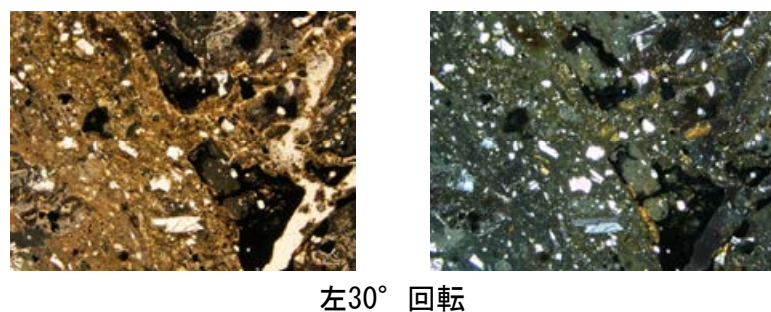
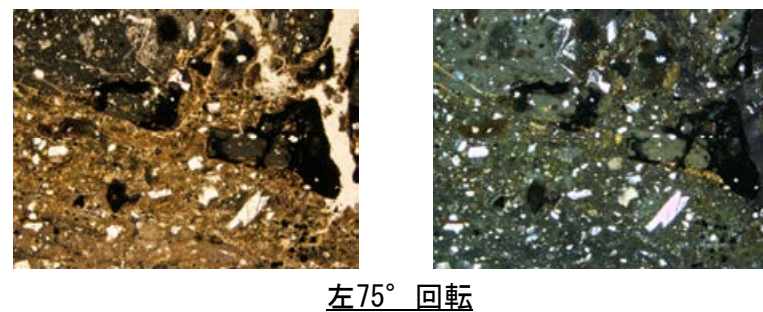
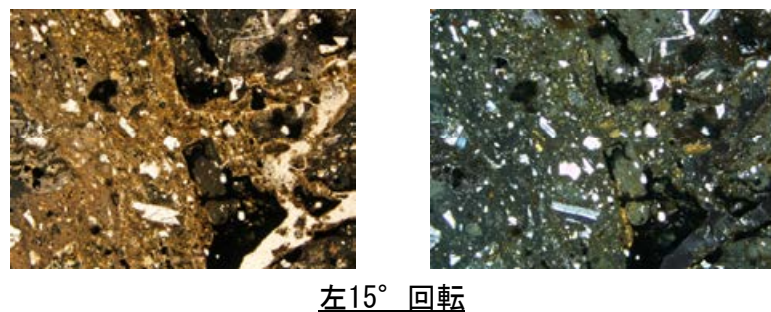
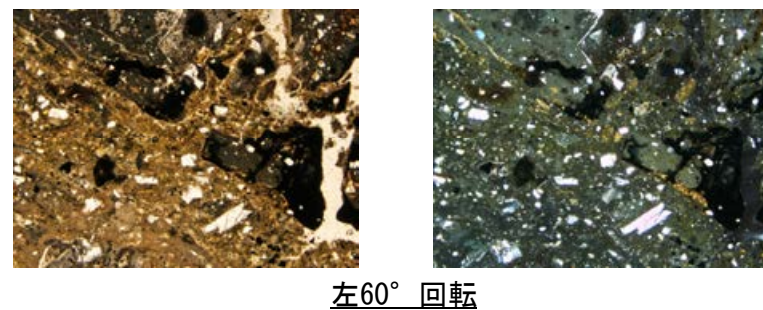
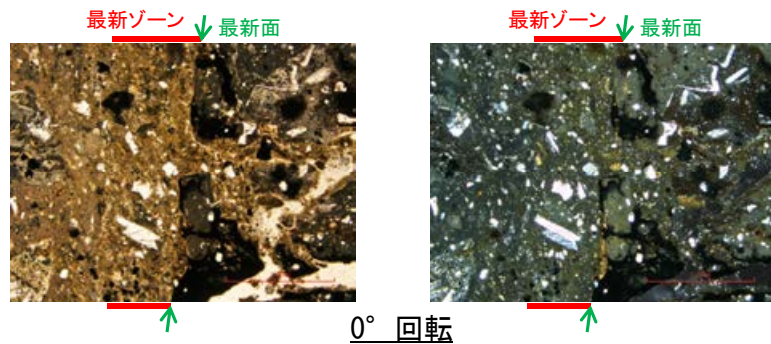
- 最新ゾーンや分帯ⅡではI/S混合層及びフィリップサイトが広く分布する。
- 最新ゾーン中において、I/S混合層を基底としてフィリップサイトの柱状結晶が晶出している。さらに、晶洞内にはI/S混合層が認められない。
- 以上のことを踏まえると、I/S混合層の生成後にフィリップサイトが晶出したと考えられる。



観察用薄片写真(H' - -1.3_110R) (拡大)

(1)-2 H- -0.3-80孔

○薄片写真を15° 刻みでステージ回転させたものを以下に示す。



1mm

補足資料5. 2-11

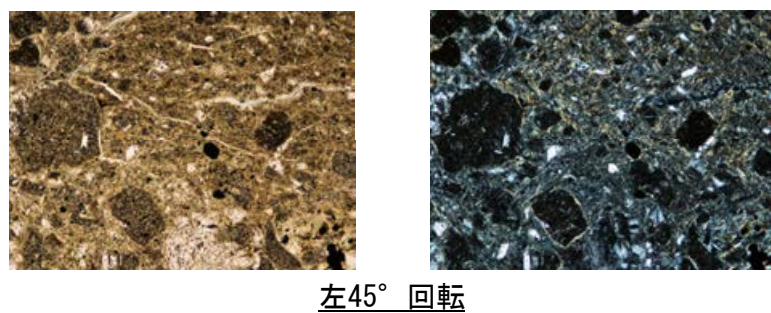
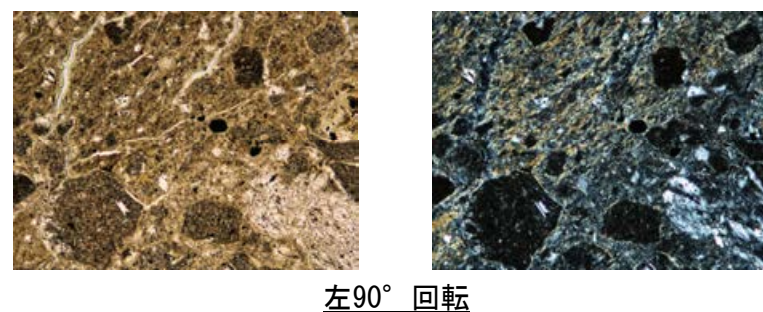
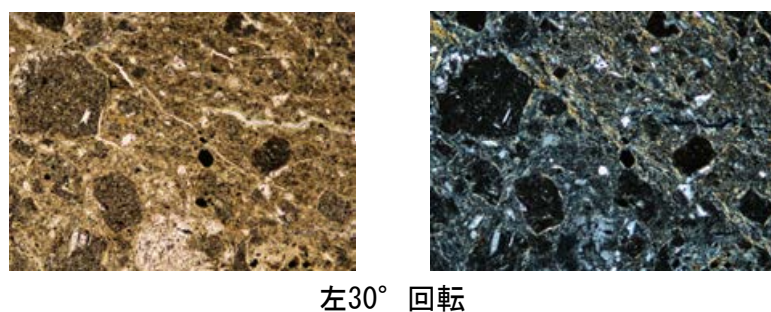
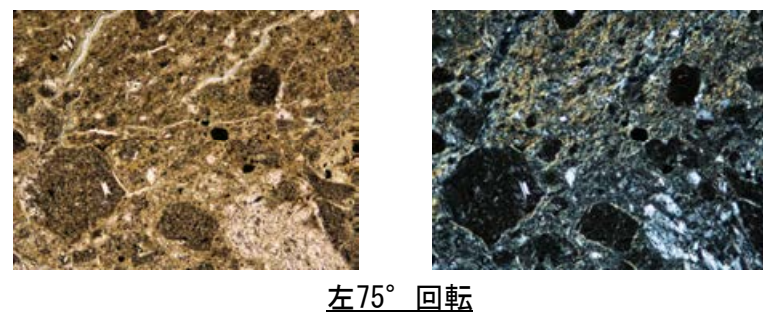
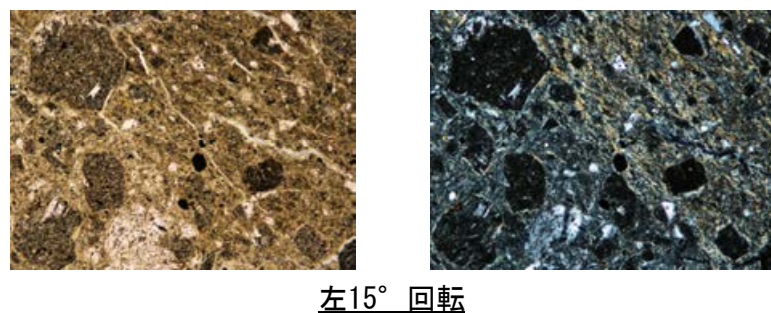
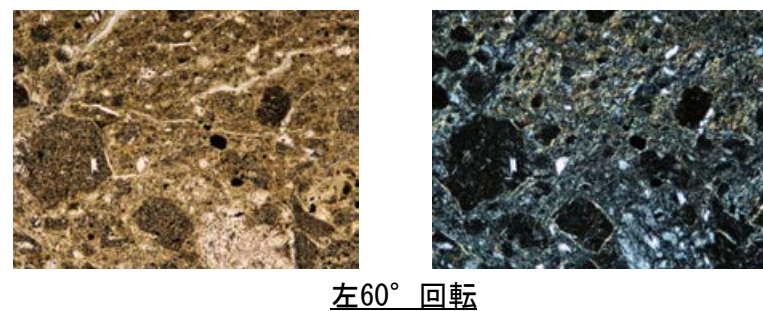
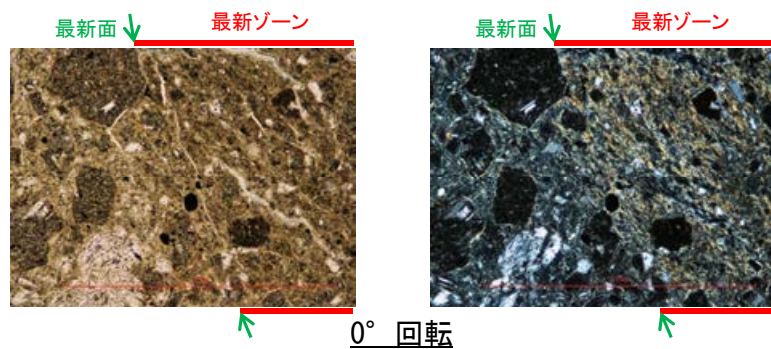
鉍物脈法に関する調査結果(K-18)

(1) 薄片觀察

(1)-1 H-0.2-75孔

H-0.2-75孔 ステージ回転写真(観察用薄片①, 範囲A) -

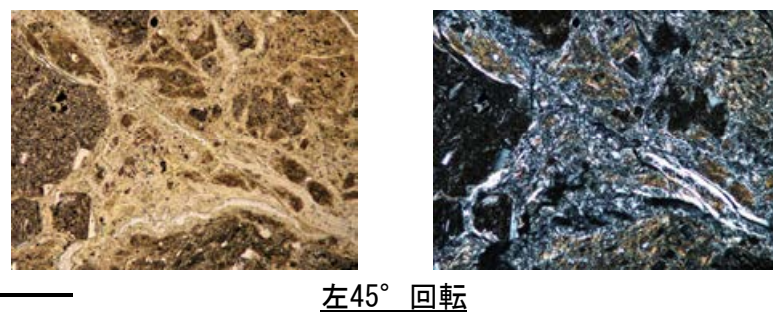
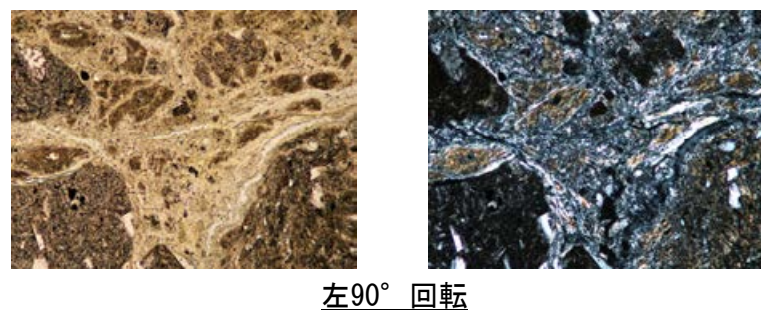
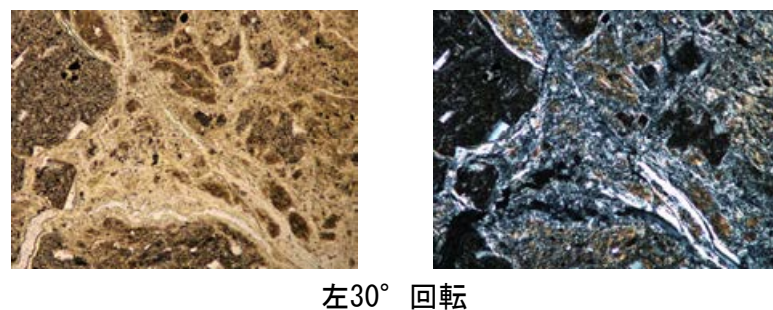
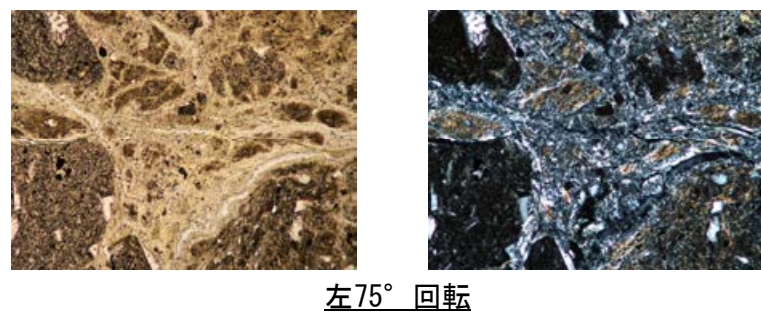
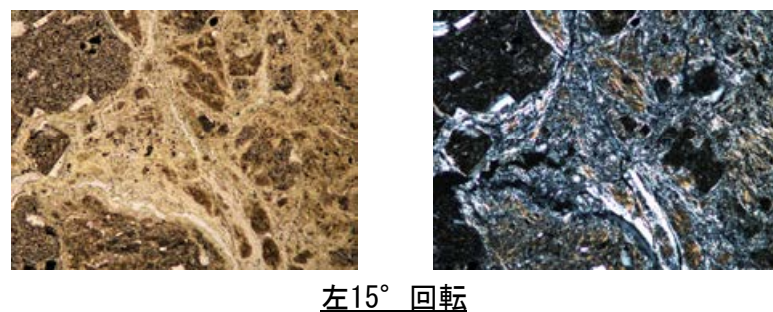
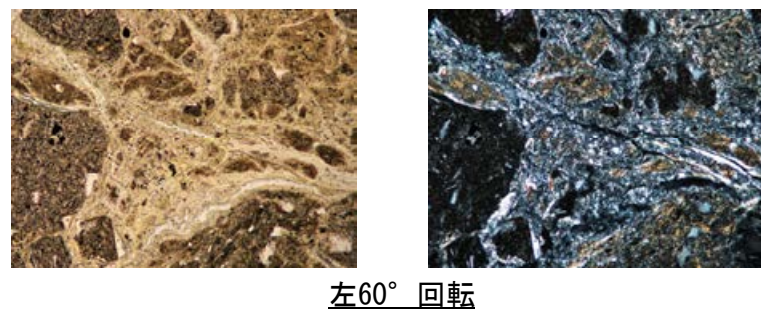
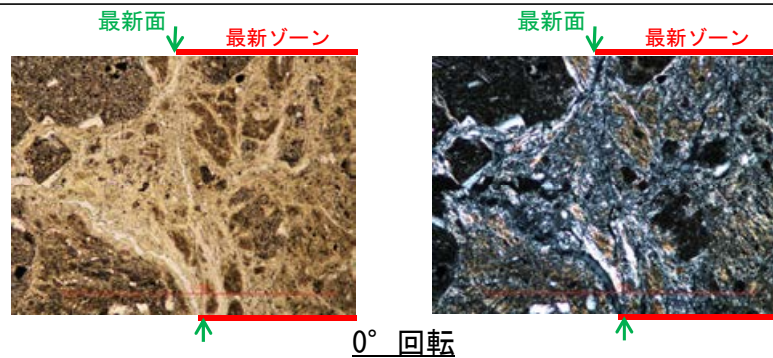
○薄片写真を15° 刻みでステージ回転させたものを以下に示す。



0.1mm

H-0.2-75孔 ステージ回転写真(観察用薄片②, 範囲A) -

○薄片写真を15° 刻みでステージ回転させたものを以下に示す。



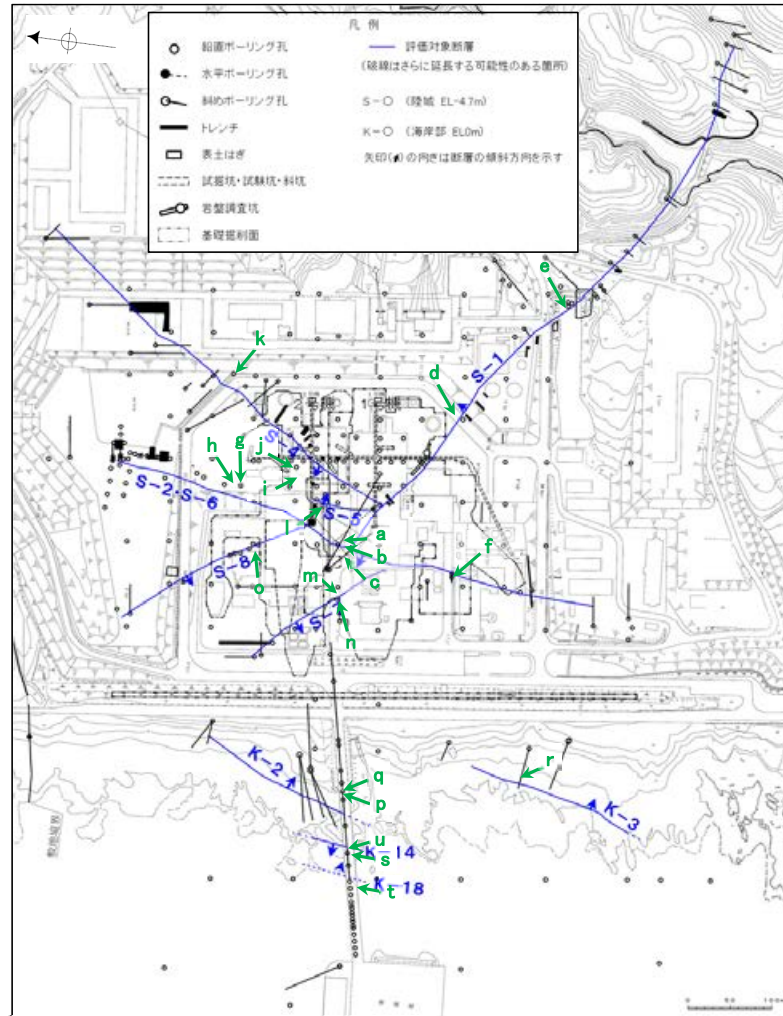
1mm

余白

補足資料5. 2-12

鉍物脈法に関する調査結果(鉍物組成, 運動方向等)

(1) X線回折分析結果



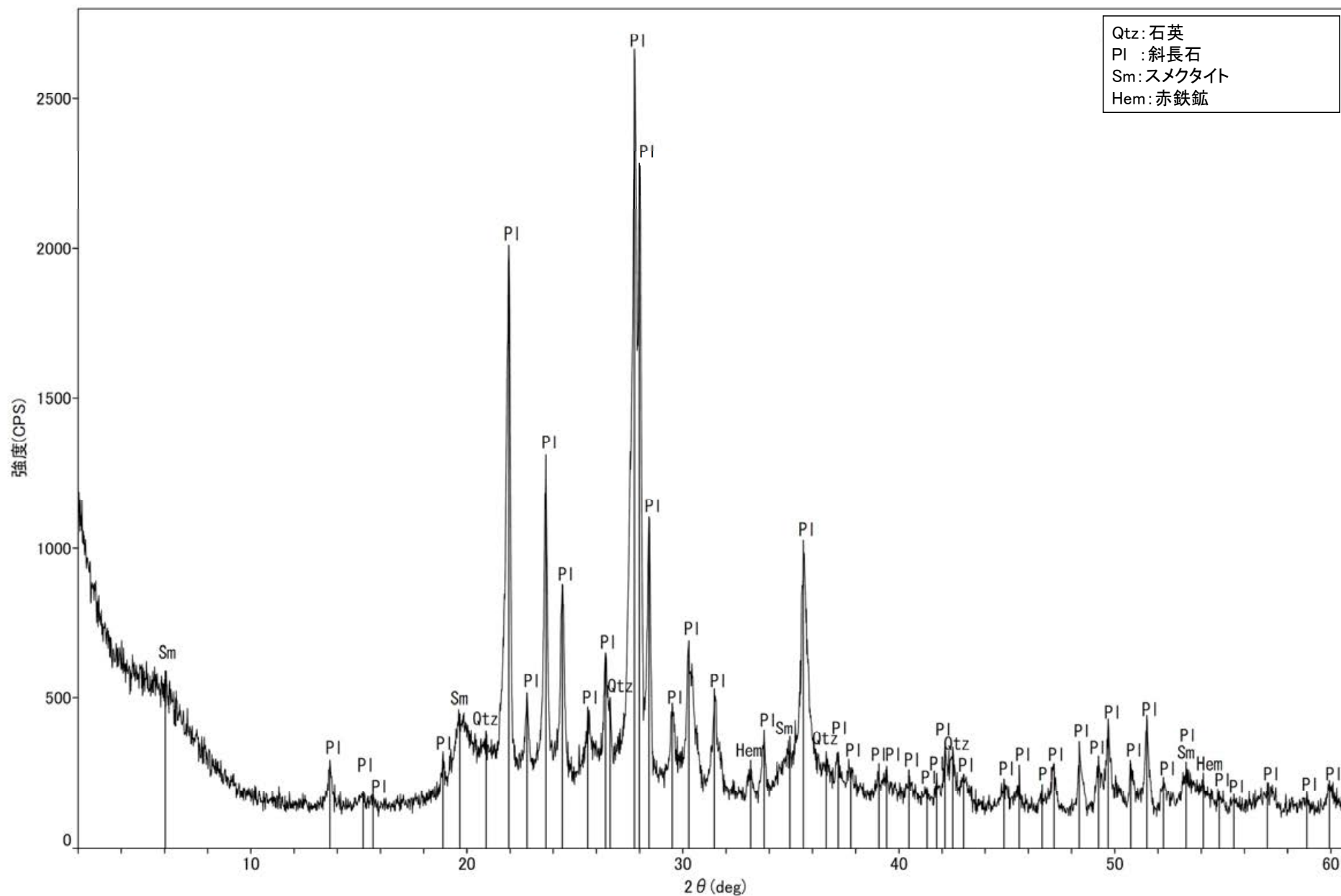
矢印(▲)の向きは断層の傾斜方向を示す

▲ 試料採取位置

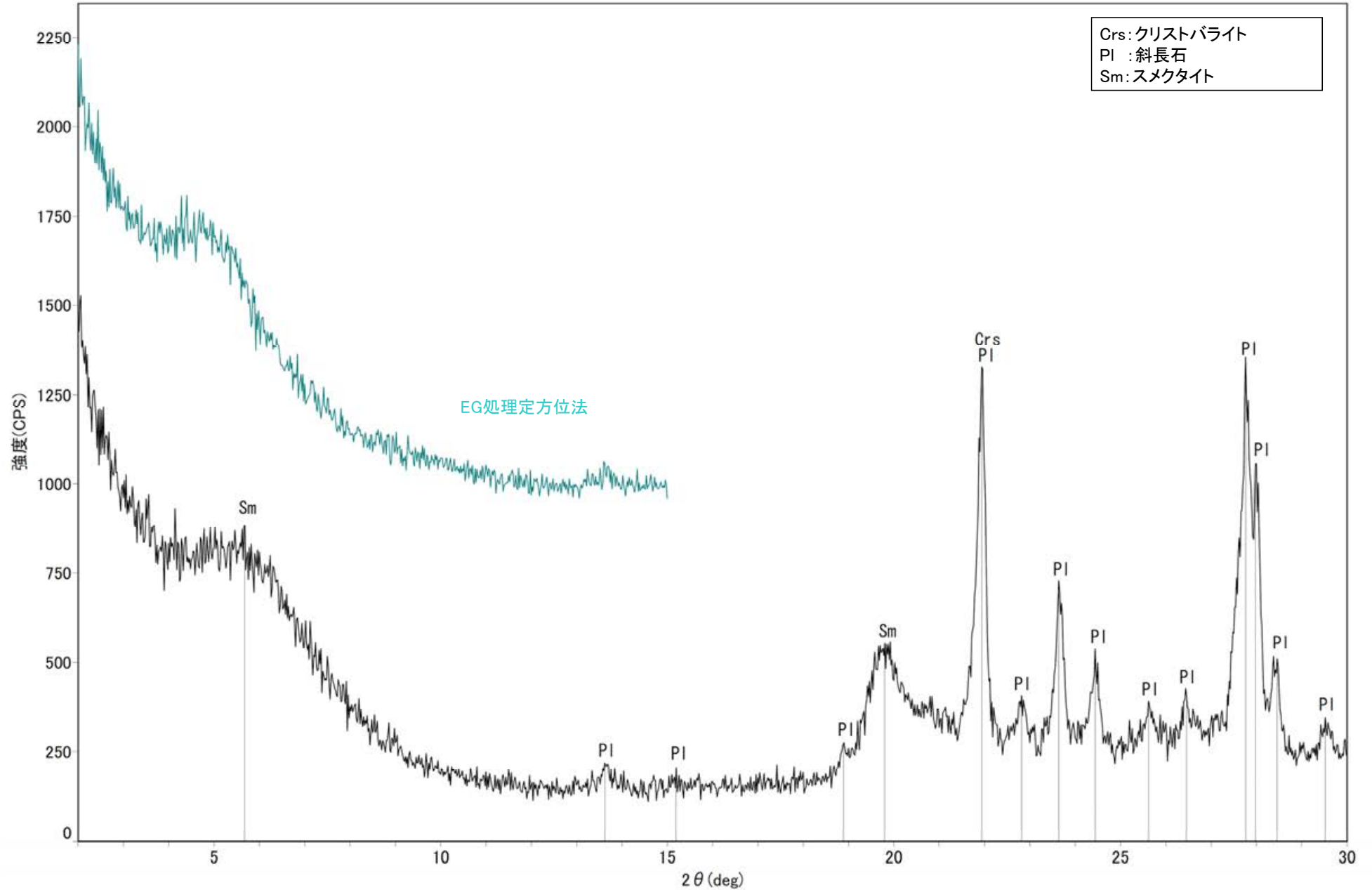
試料採取位置図

断層	試料採取位置		
	採取位置 (左位置図)	深度	標高
S-1	a H-6.5-2孔	70.70m	EL -49.50m
	b H-6.6-1孔	57.25m	EL -37.95m
	c H-6.7孔	35.10m	EL -19.01m
	d K-10.3SW孔	27.81m	EL -6.17m
	e M-12.5”孔	49.96m	EL -21.66m
S-2・S-6	f K-6.2-2孔	30.94m	EL -19.45m
	g F-8.5’孔	8.50m	EL 12.63m
	h E-8.5-2孔	8.55m	EL 12.66m
S-4	i E-8.50”孔	111.95m	EL -39.83m
	j E-8.60孔	104.68m	EL -35.91m
	k E-11.1SE-2孔	1.65m	EL 19.72m
S-5	l R-8.1-1-3孔	22.24m	EL -11.12m
S-7	m H-5.4-1E孔	24.16m	EL 4.80m
	n H-5.7’孔	14.35m	EL -3.26m
S-8	o F-6.75孔	26.85m	EL -15.76m
K-2	p H-1.1-87孔	84.30m	EL -77.40m
	q H-1.1孔	103.62m	EL -96.84m
K-3	r M-2.2孔	48.74m	EL -31.45m
K-14	s H- -0.3-80孔	31.65m	EL -27.48m
	t H’ - -1.3孔	125.58m	EL -121.91m
K-18	u H-0.2-75孔	116.75m	EL -108.04m

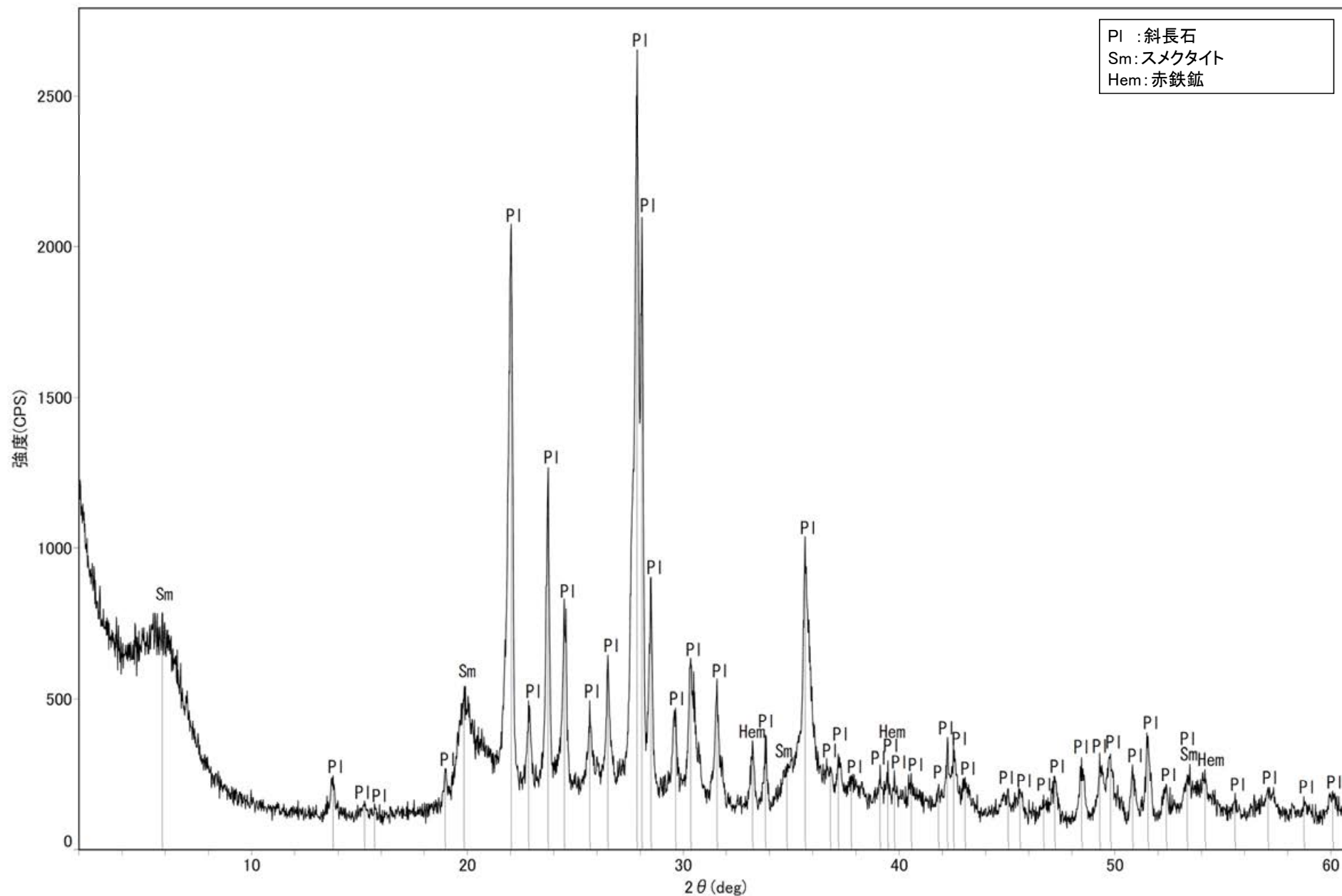
XRD分析 測定諸元
 装置: Rigaku RINT2500V
 Target: Cu(K α)
 Voltage: 40kV
 Detector: SC
 Divergence Slit: 0.5°
 Receiving Slit: 0.15mm
 Step size: 0.02°



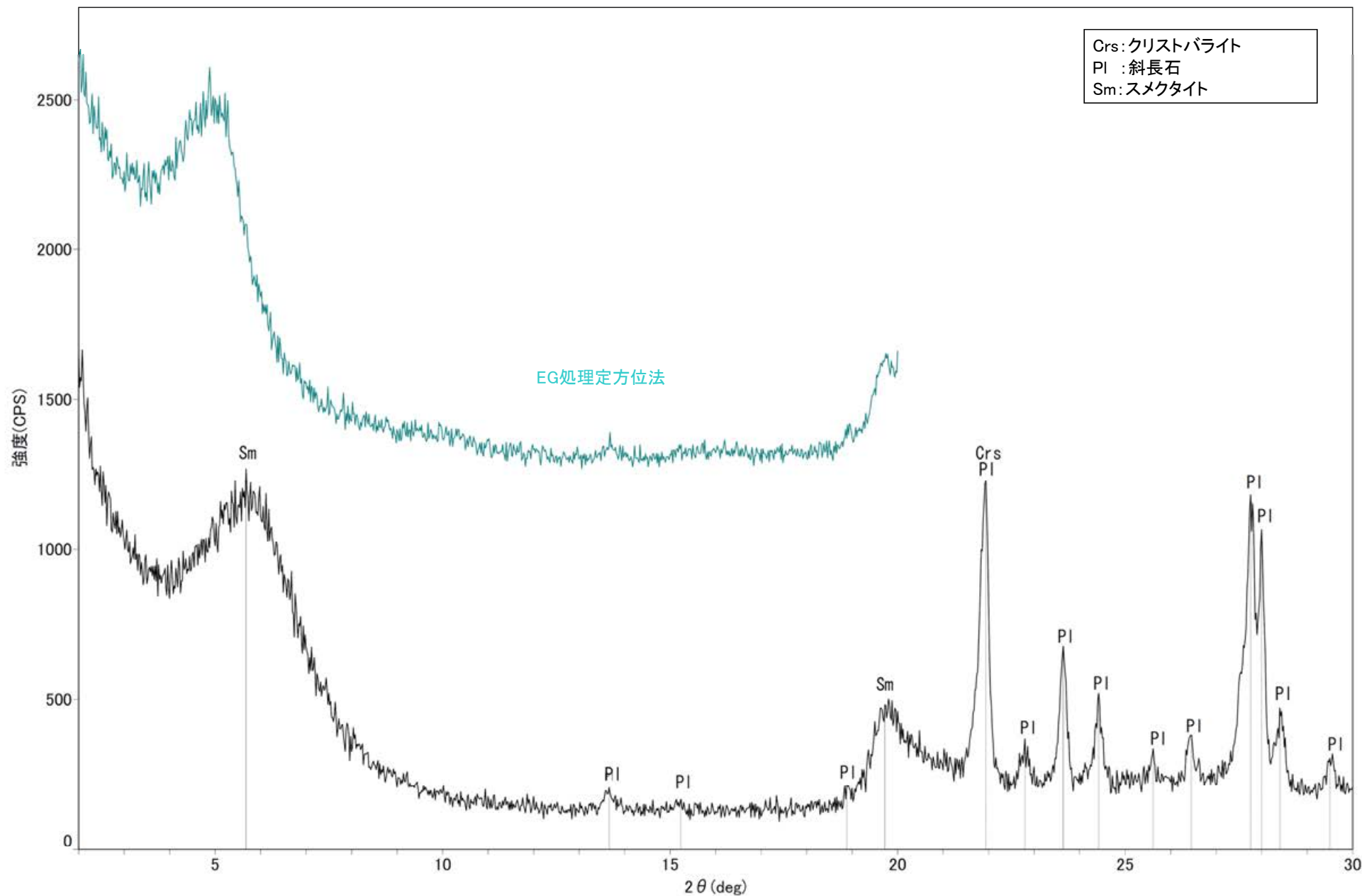
回折チャート



回折チャート
(EG処理も合わせて表示)

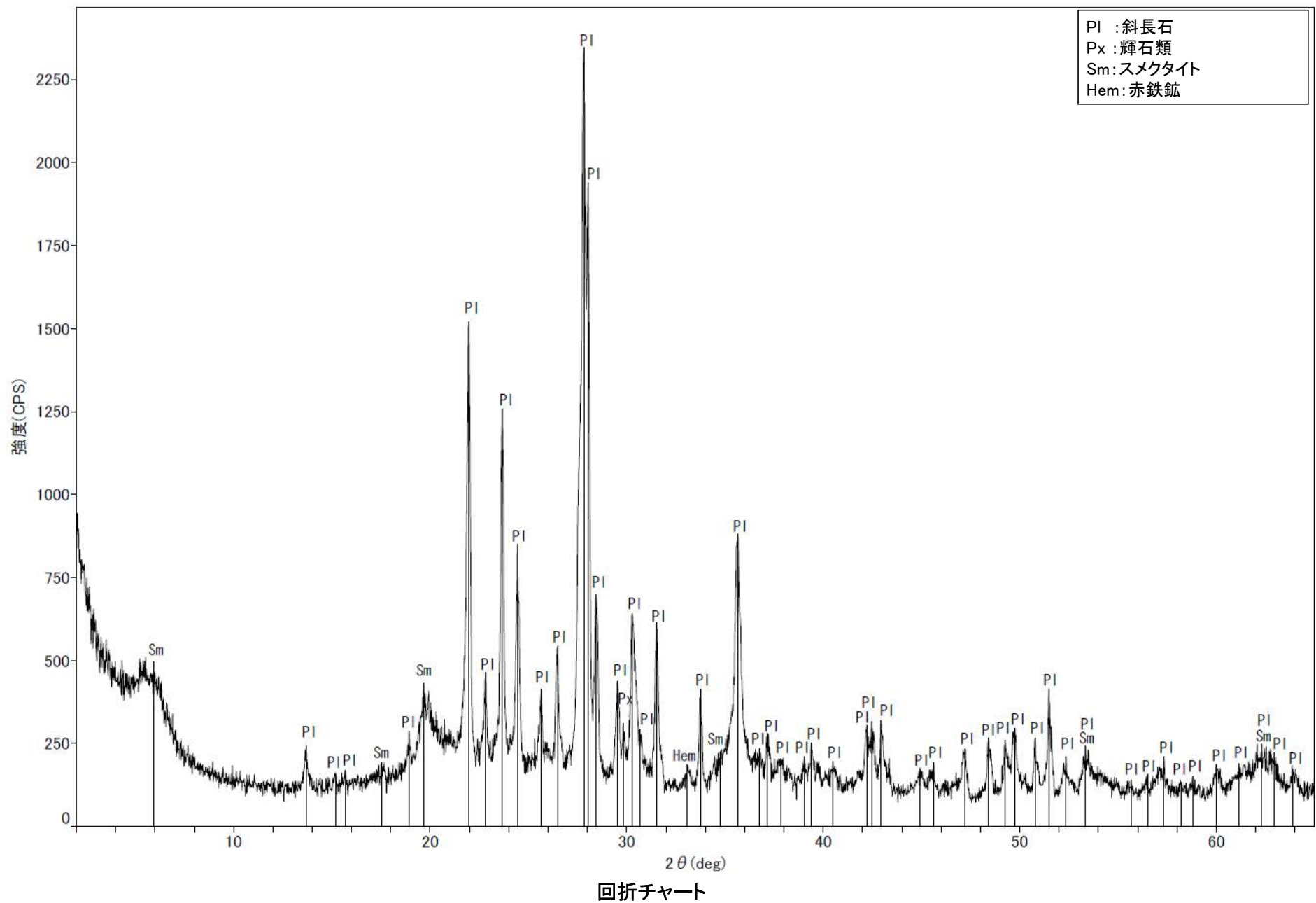


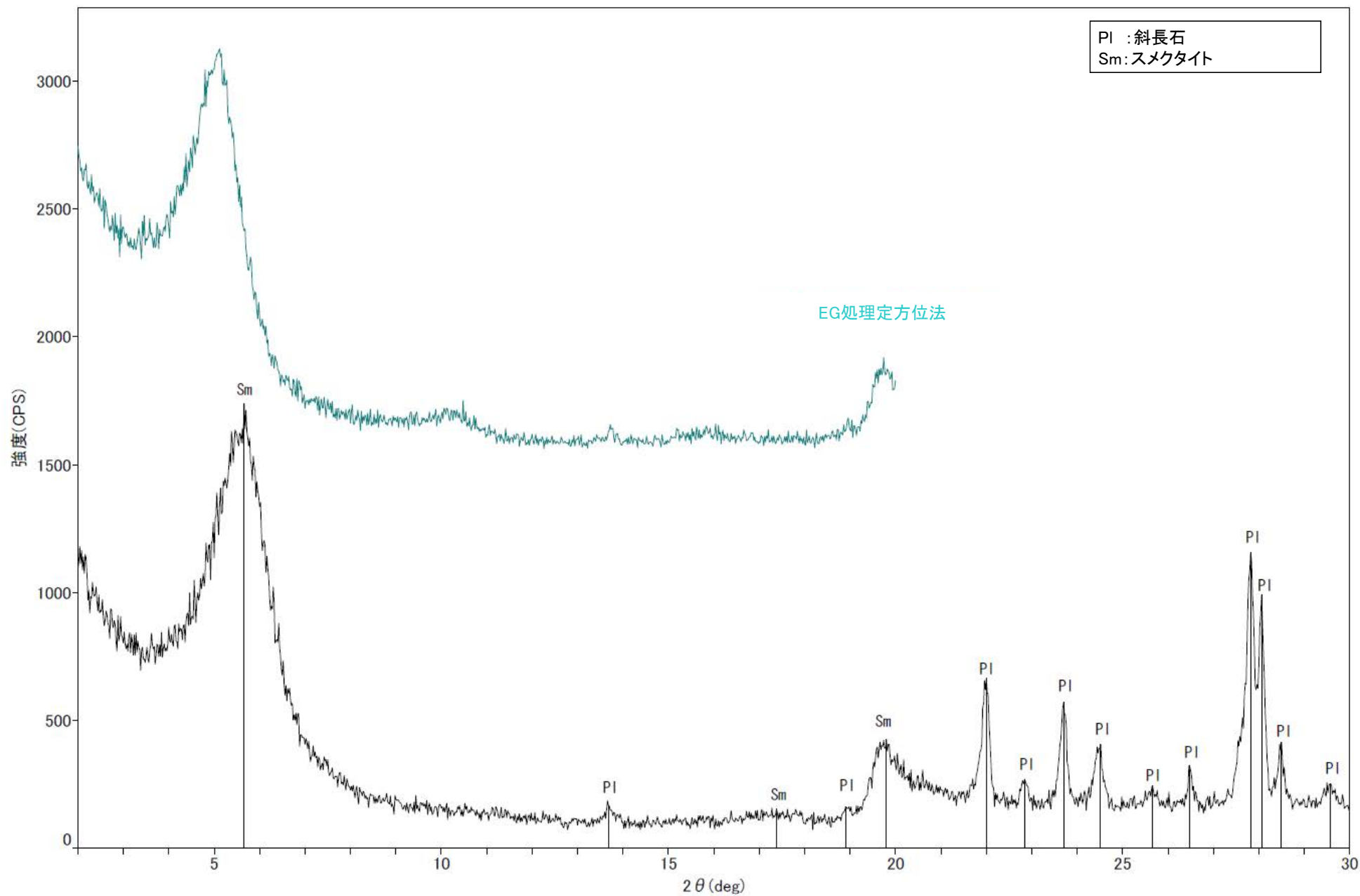
回折チャート



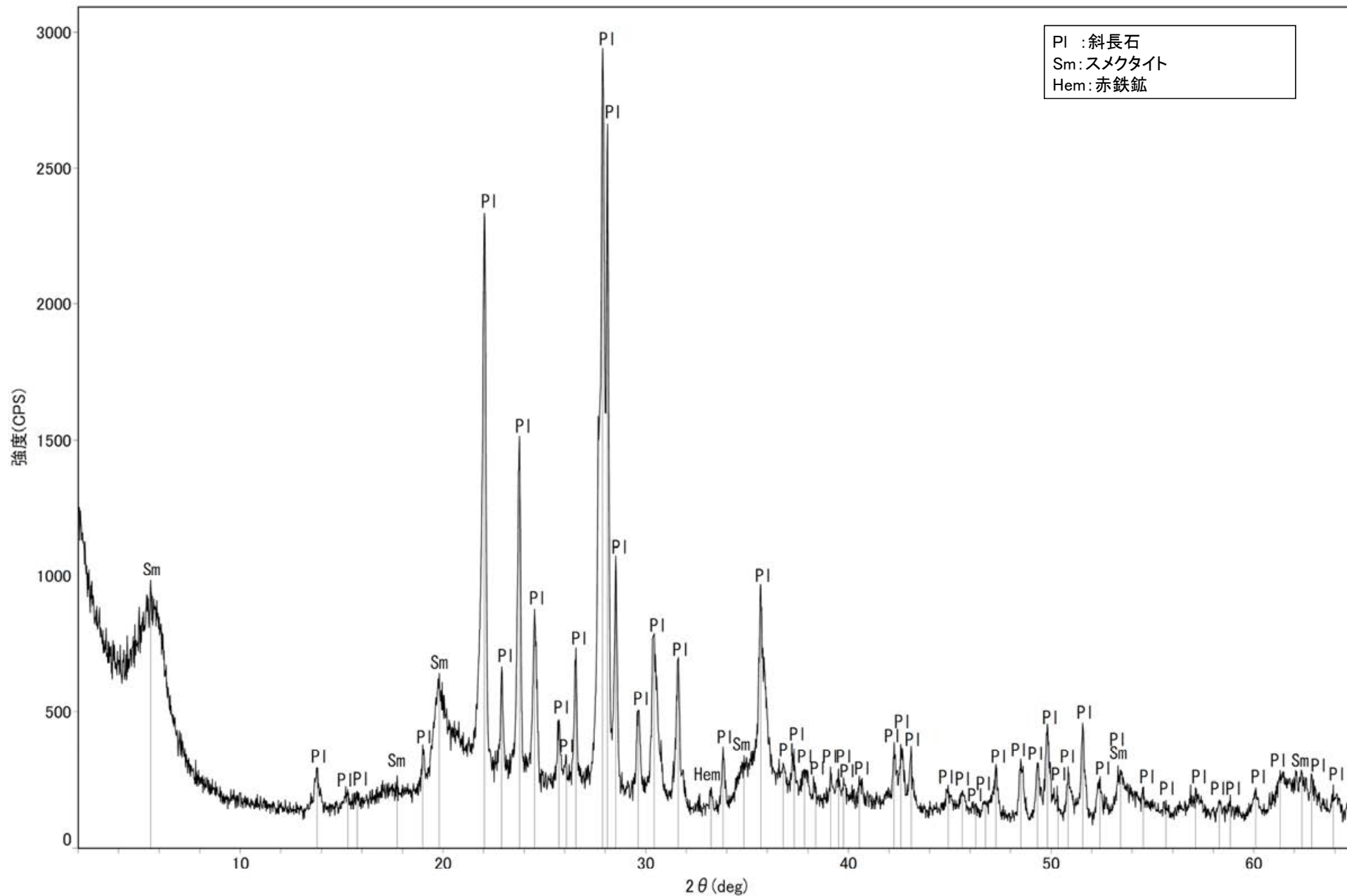
回折チャート
(EG処理も合わせて表示)

粘土状破碎部 S-1 H-6.7孔 -X線回折チャート 不定方位-

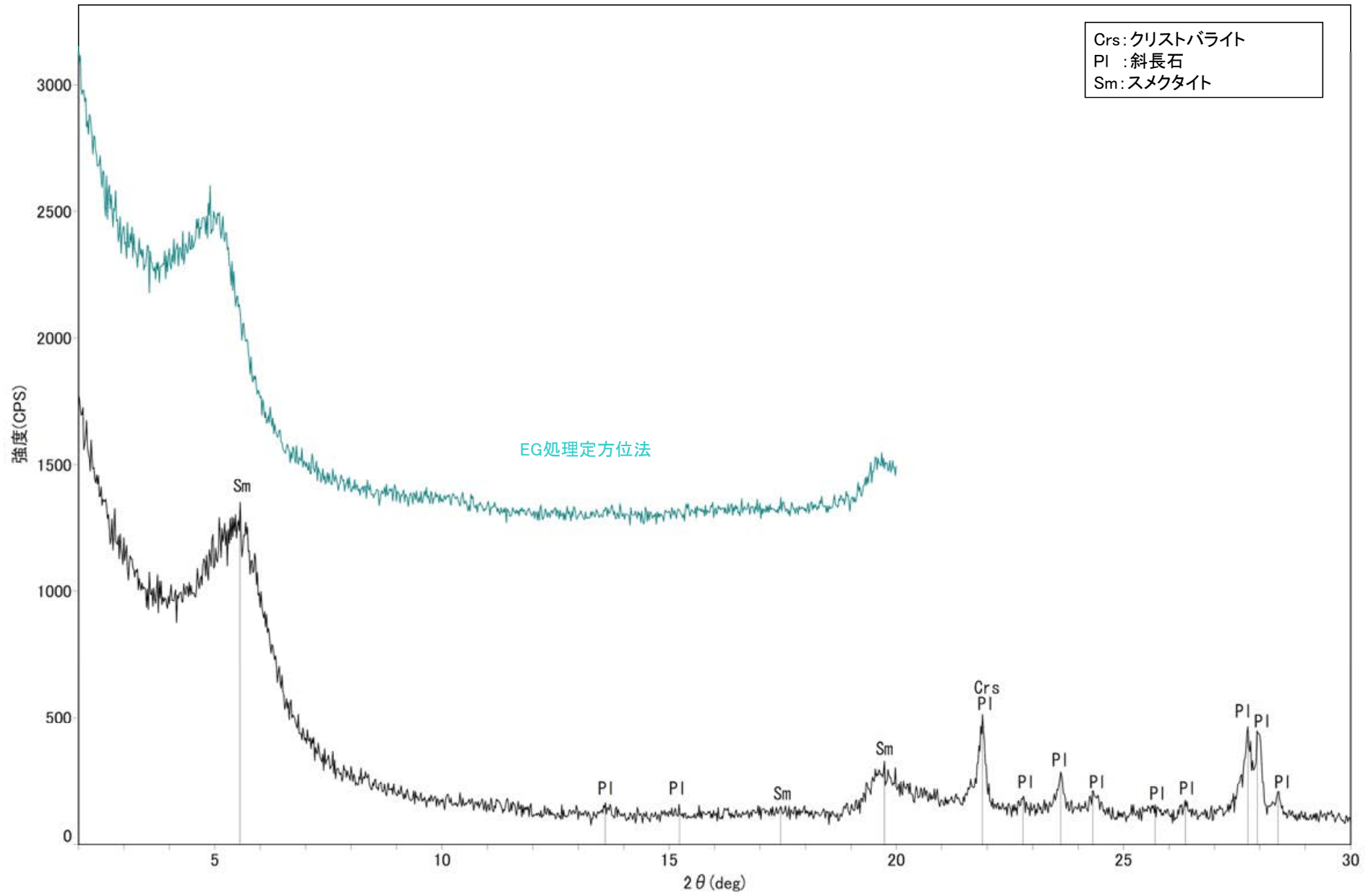




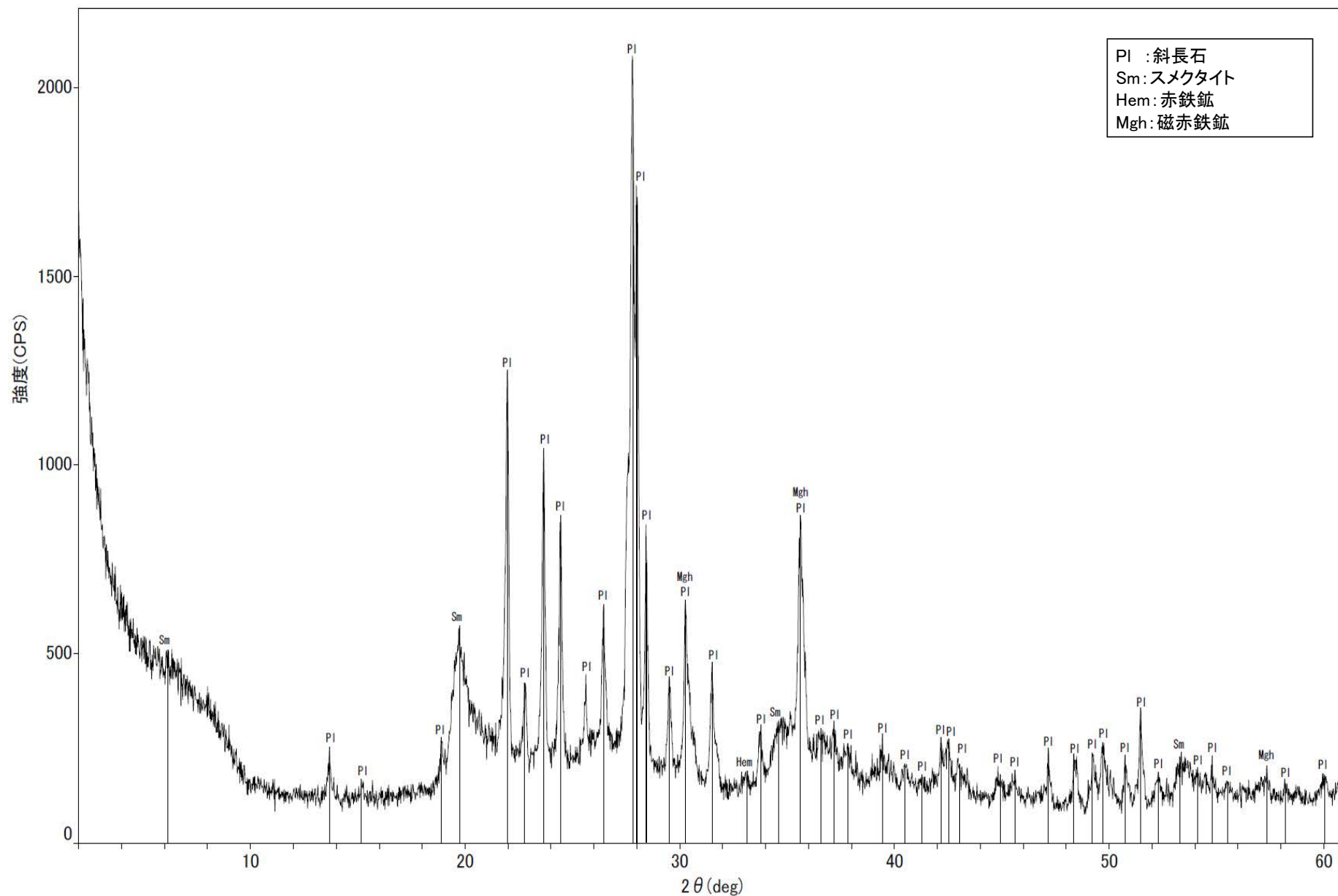
回折チャート
(EG処理も合わせて表示)



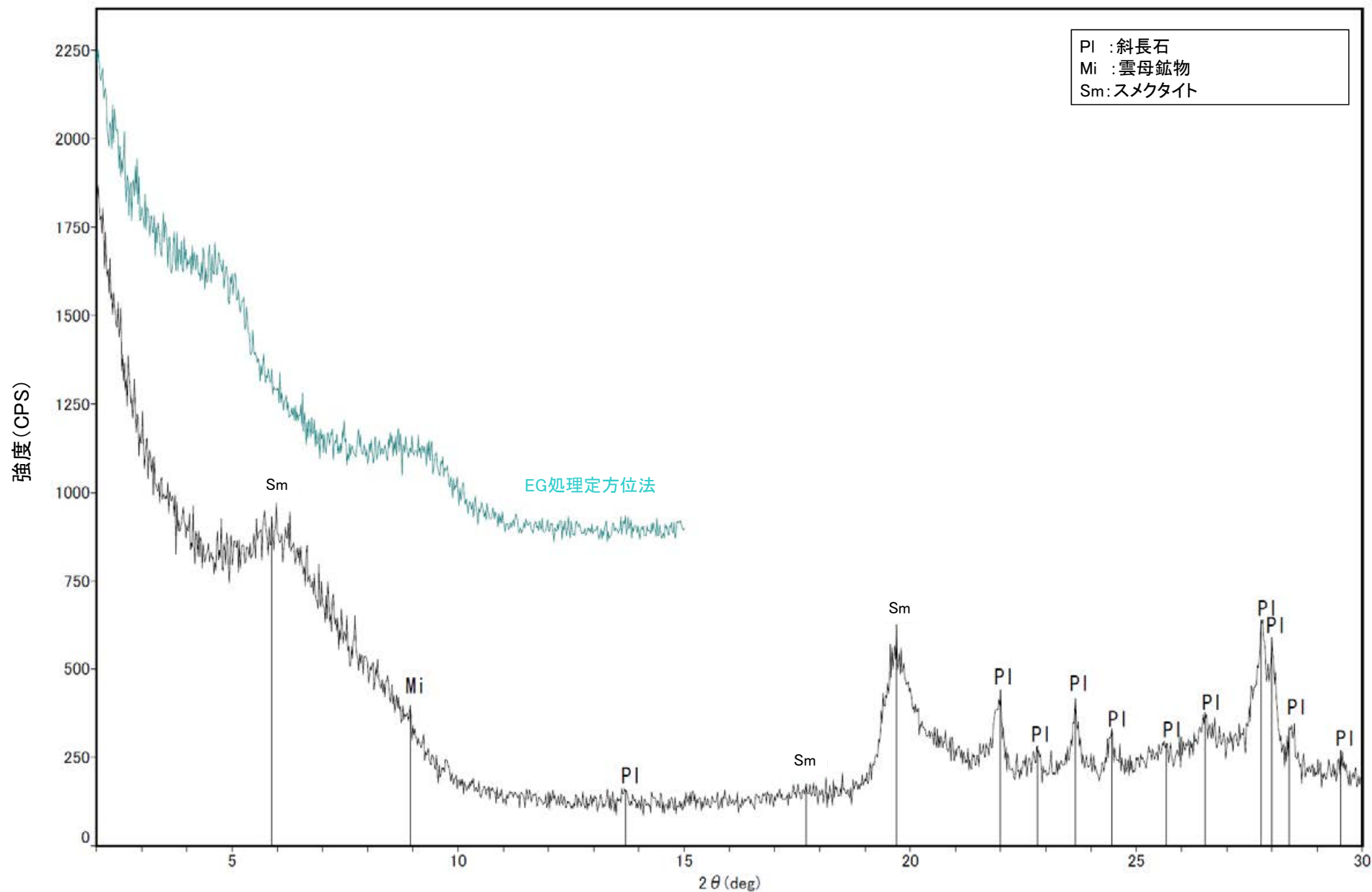
回折チャート



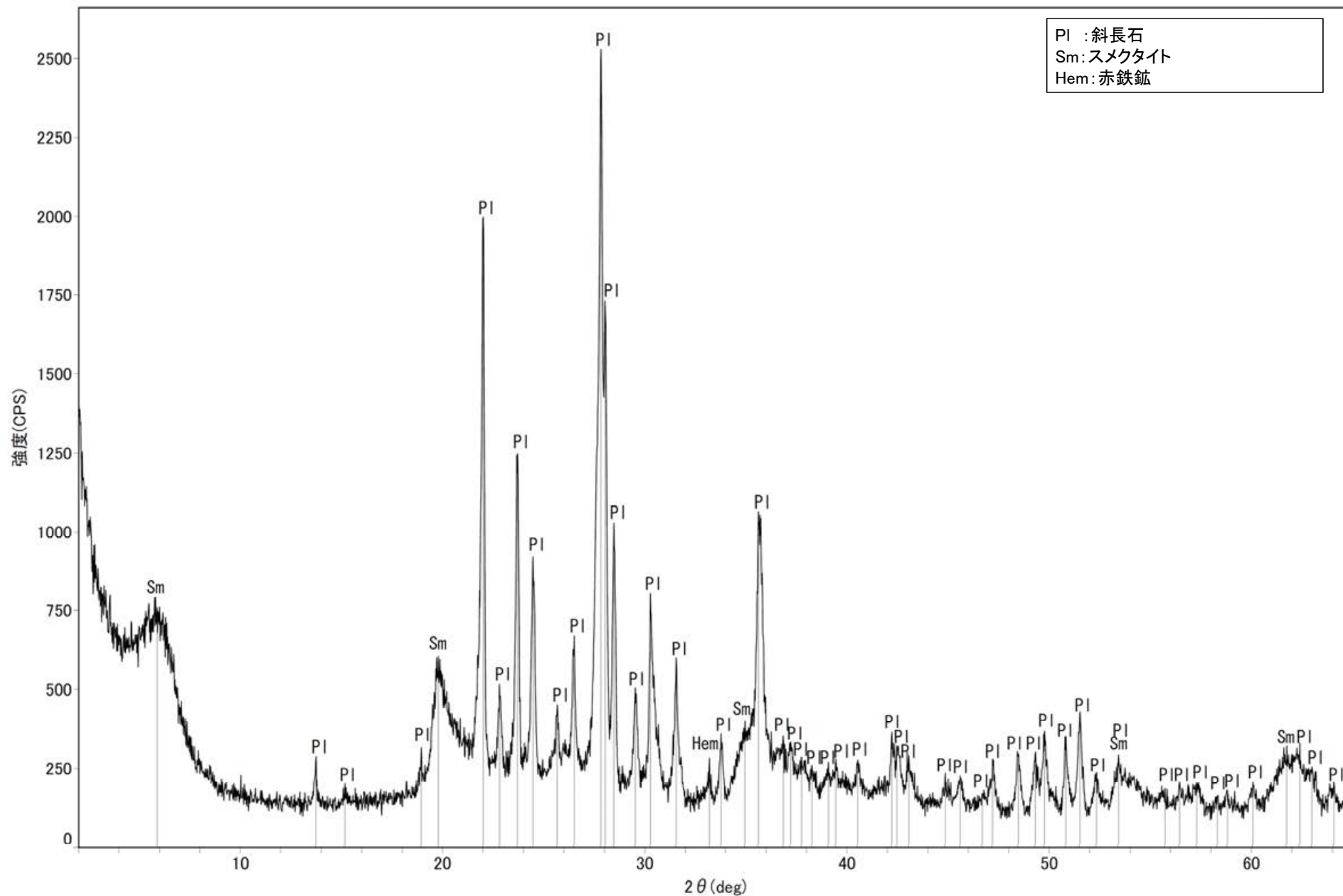
回折チャート
(EG処理も合わせて表示)



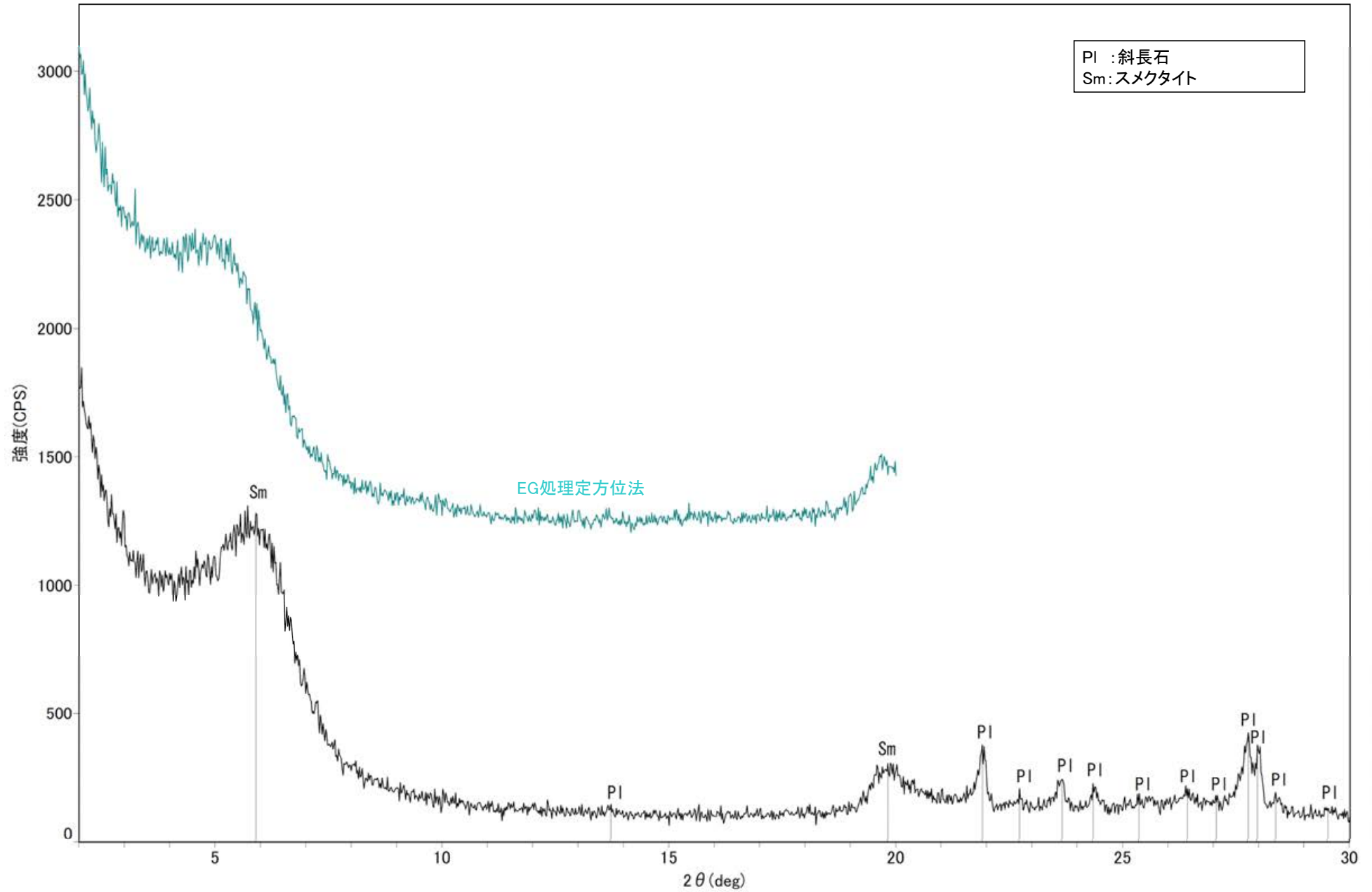
回折チャート



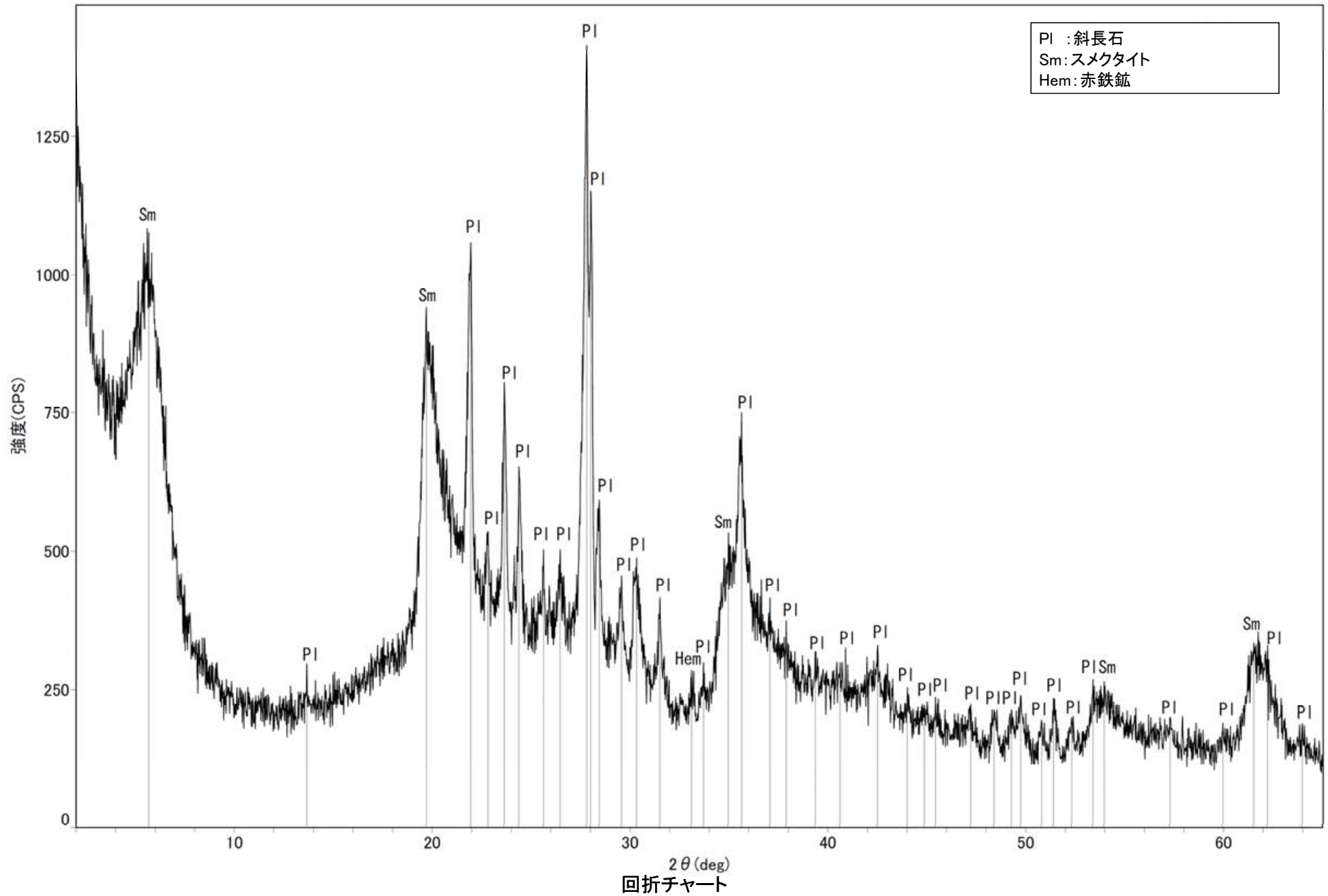
回折チャート
(EG処理も合わせて表示)

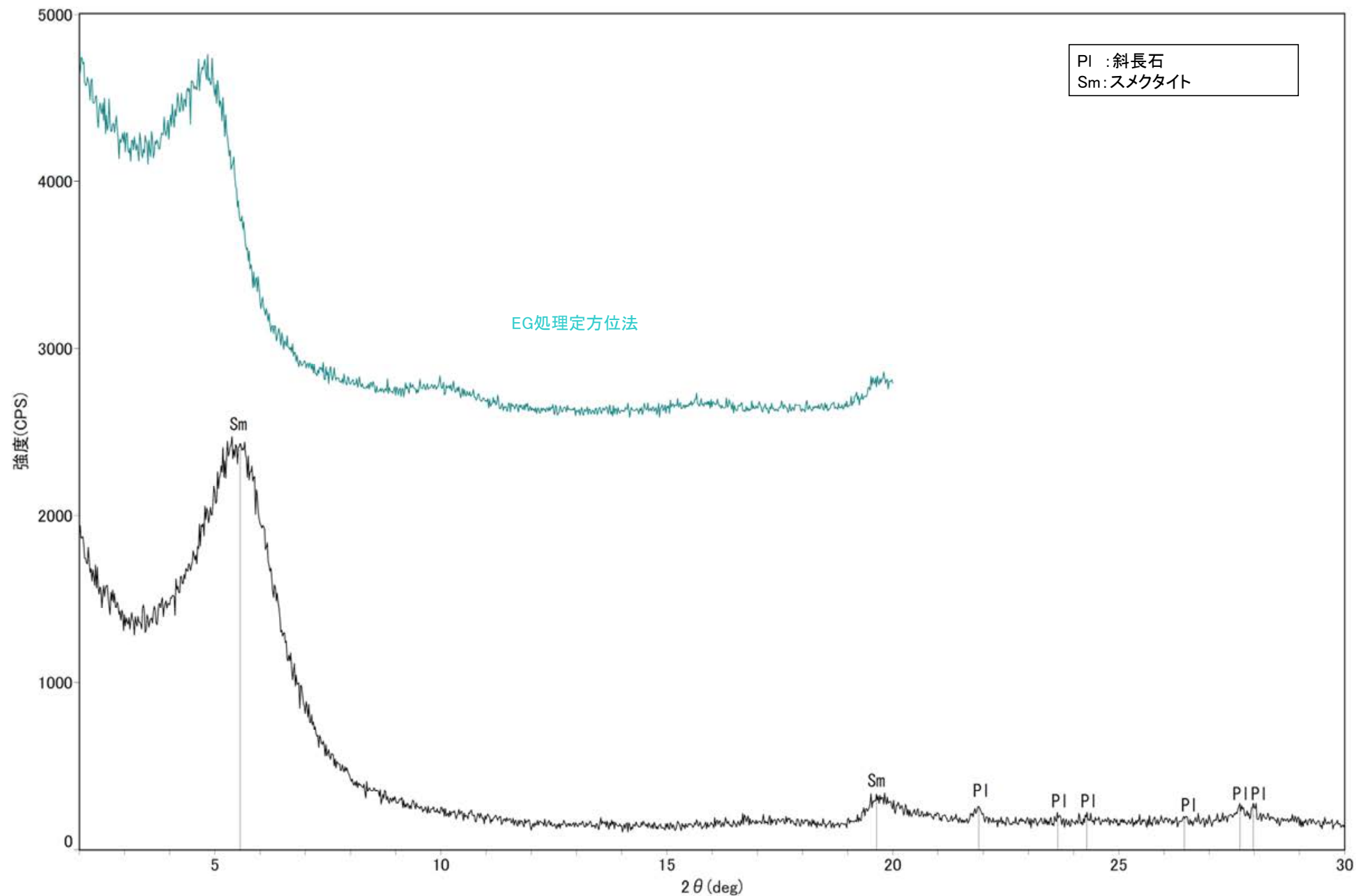


回折チャート

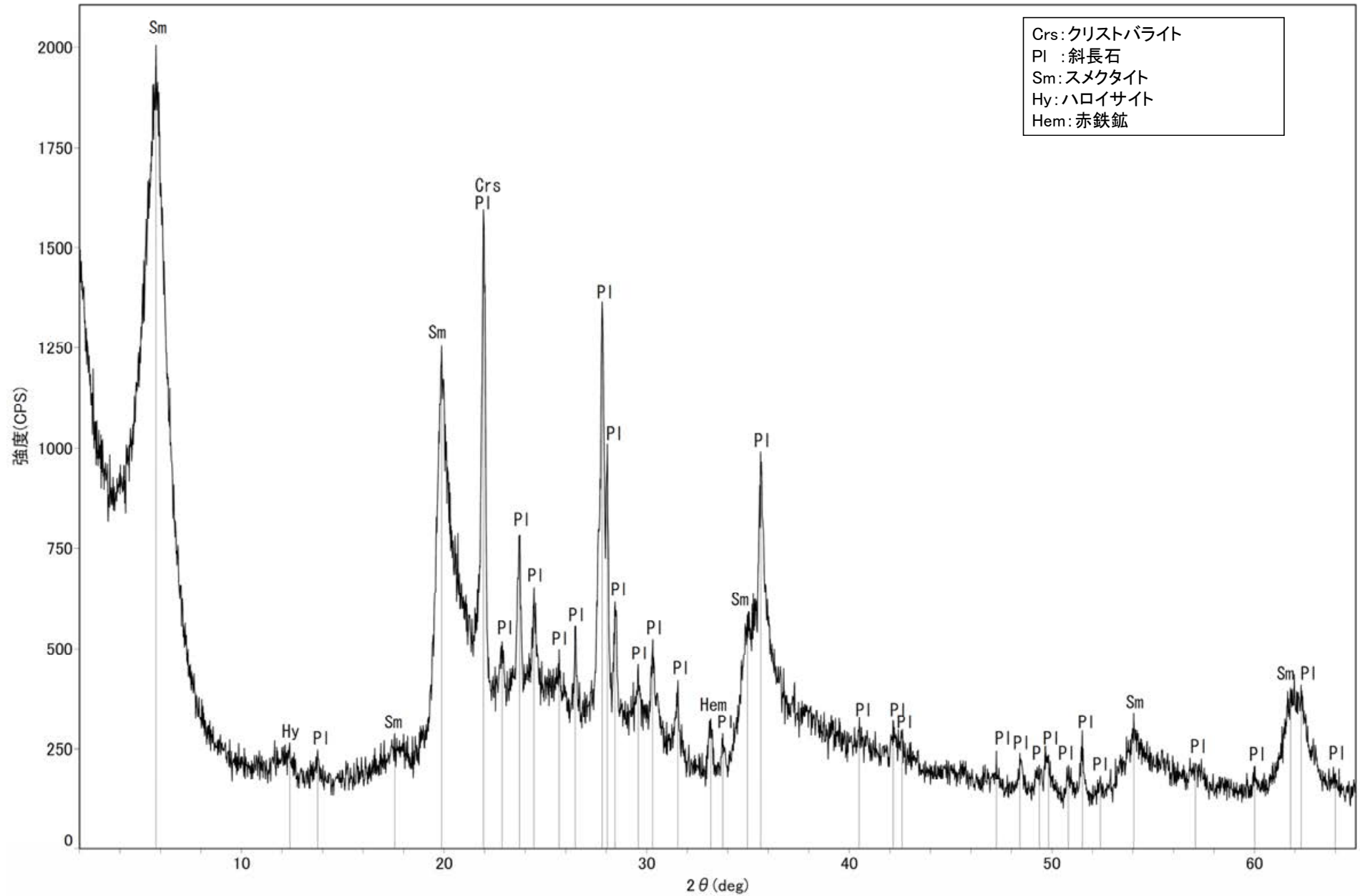


回折チャート
(EG処理も合わせて表示)

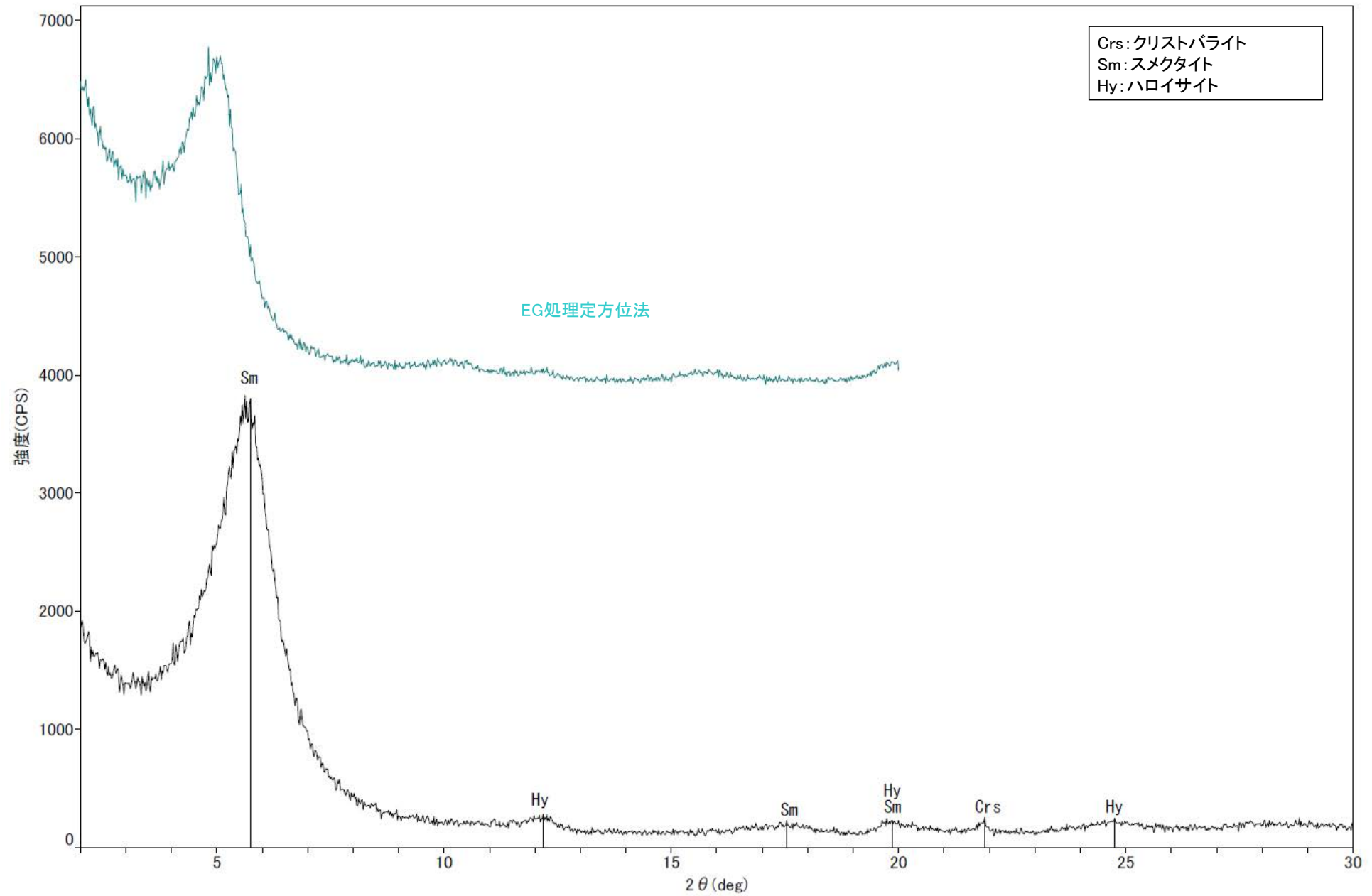




回折チャート
(EG処理も合わせて表示)

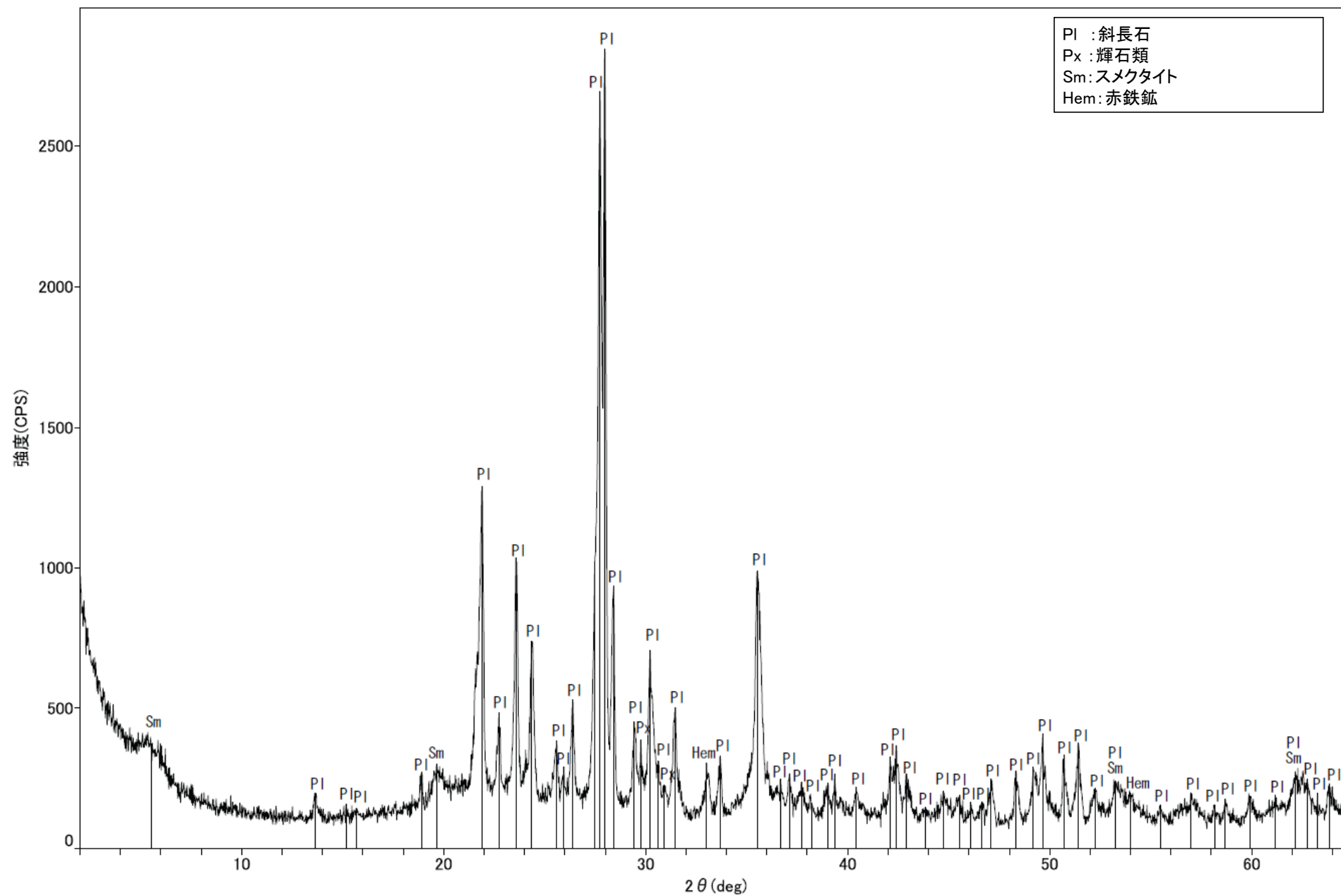


回折チャート



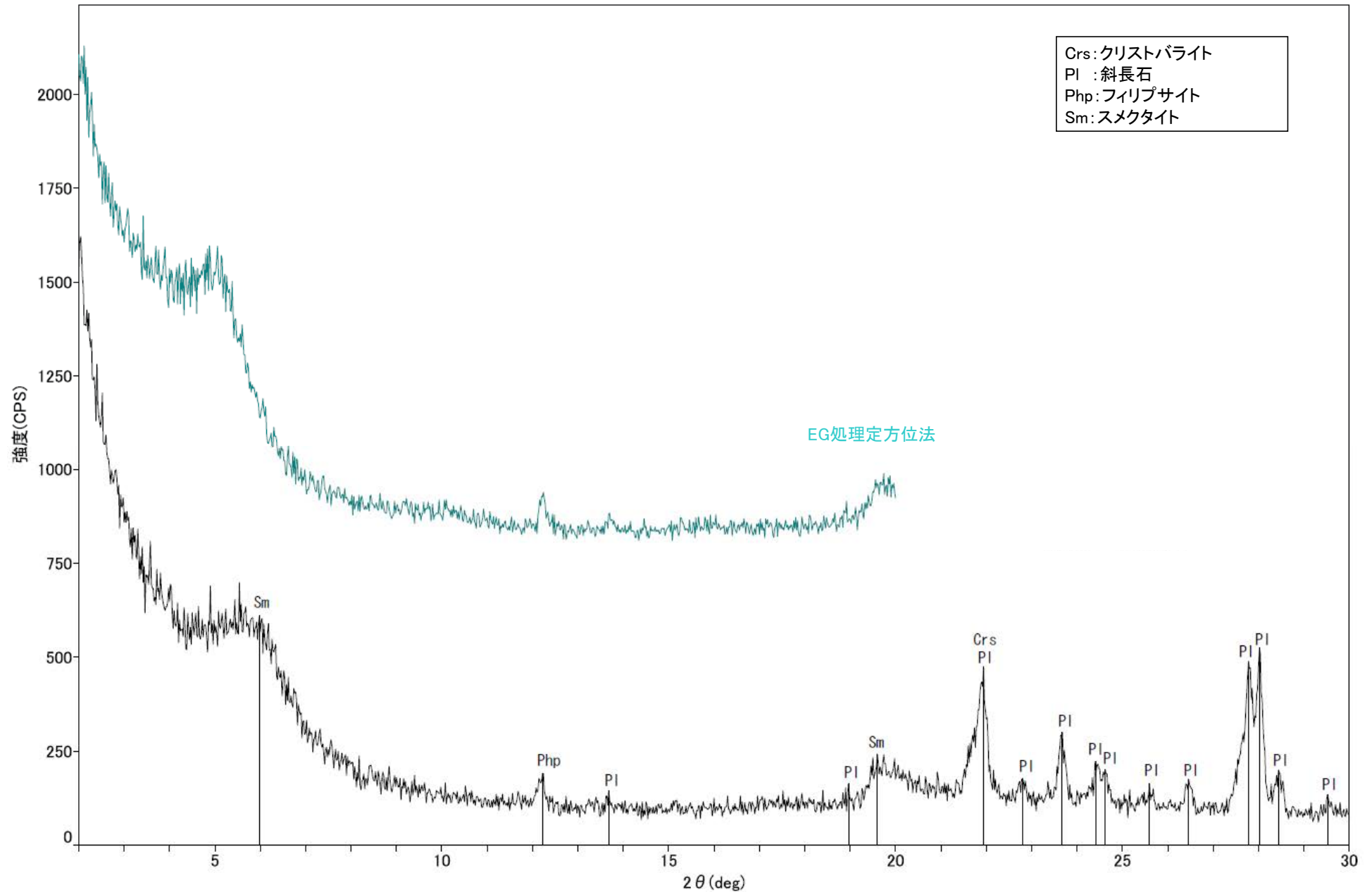
回折チャート
(EG処理も合わせて表示)

粘土状破砕部 S-4 E-8.50”孔 -X線回折チャート 不定方位-

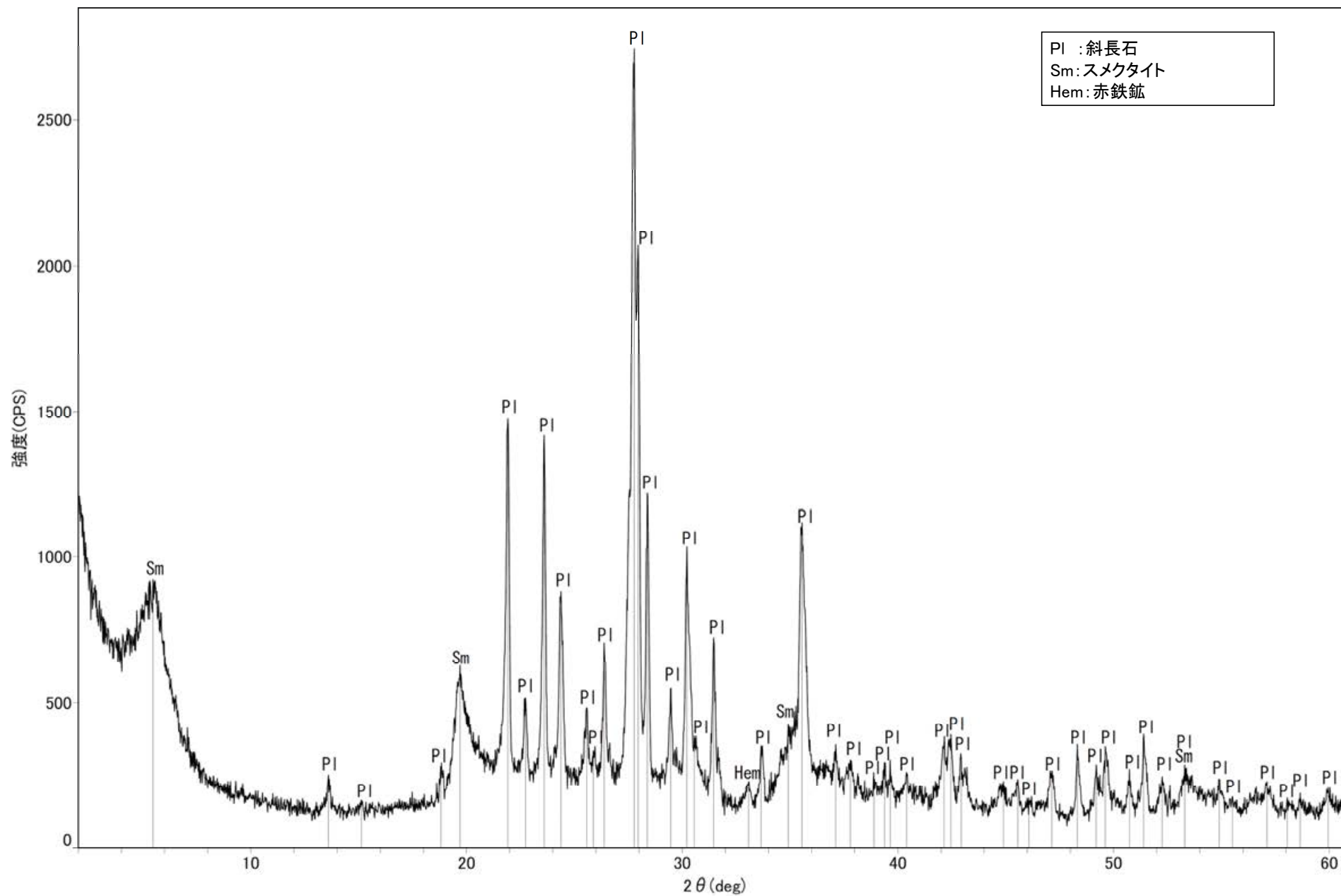


回折チャート

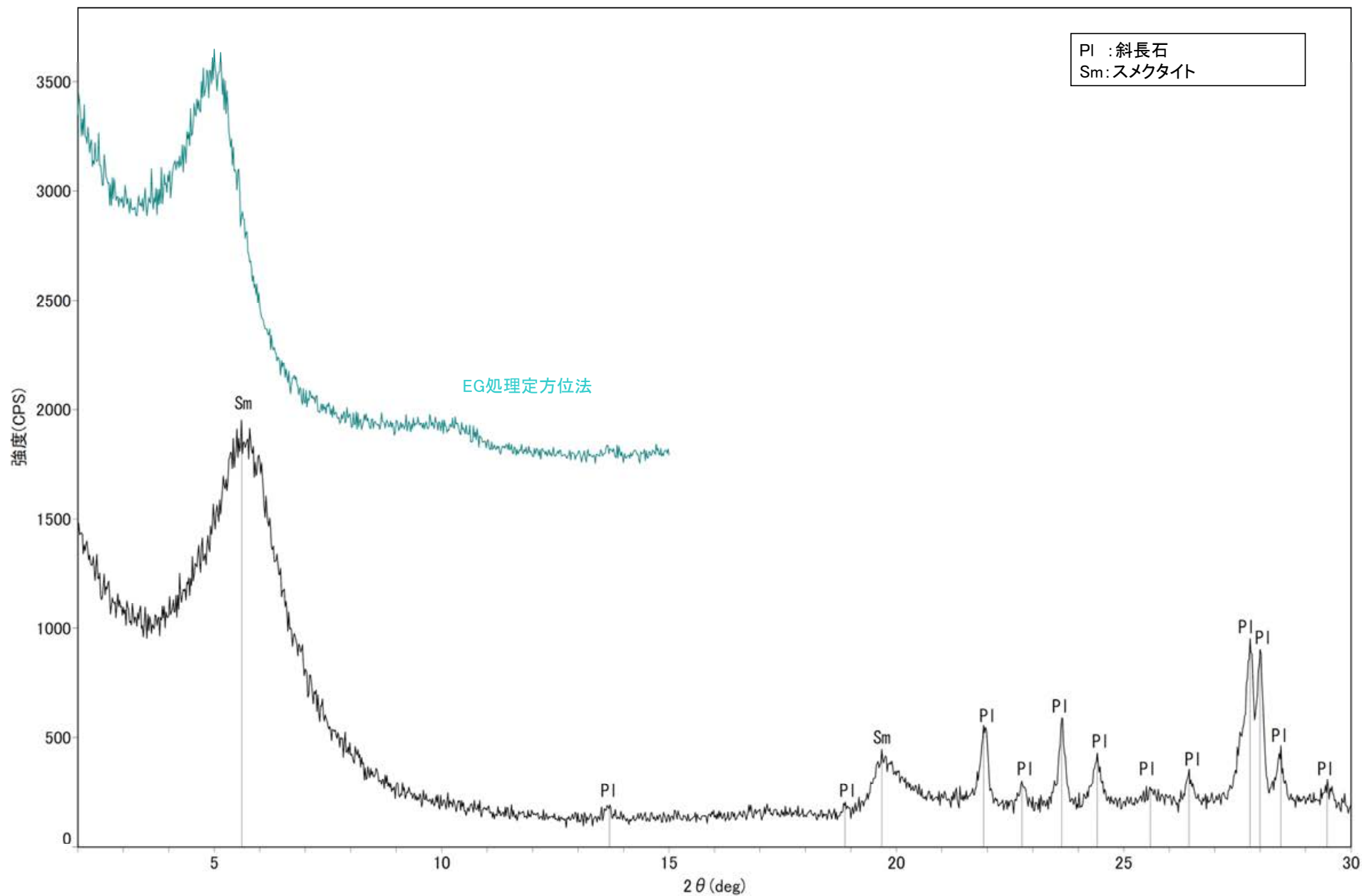
粘土状破砕部 S-4 E-8.50”孔 — X線回折チャート 定方位 EG処理 —



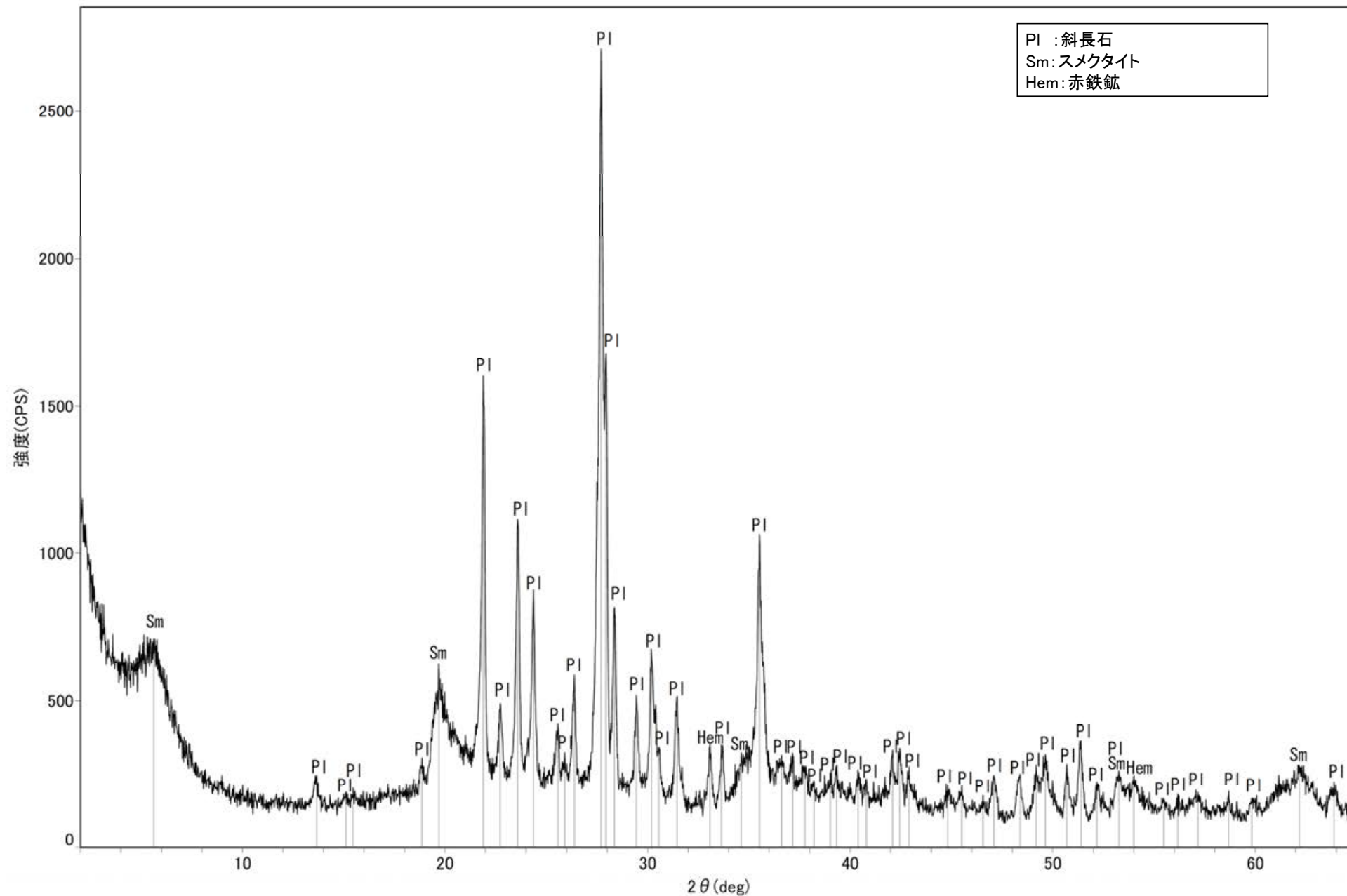
回折チャート
(EG処理も合わせて表示)



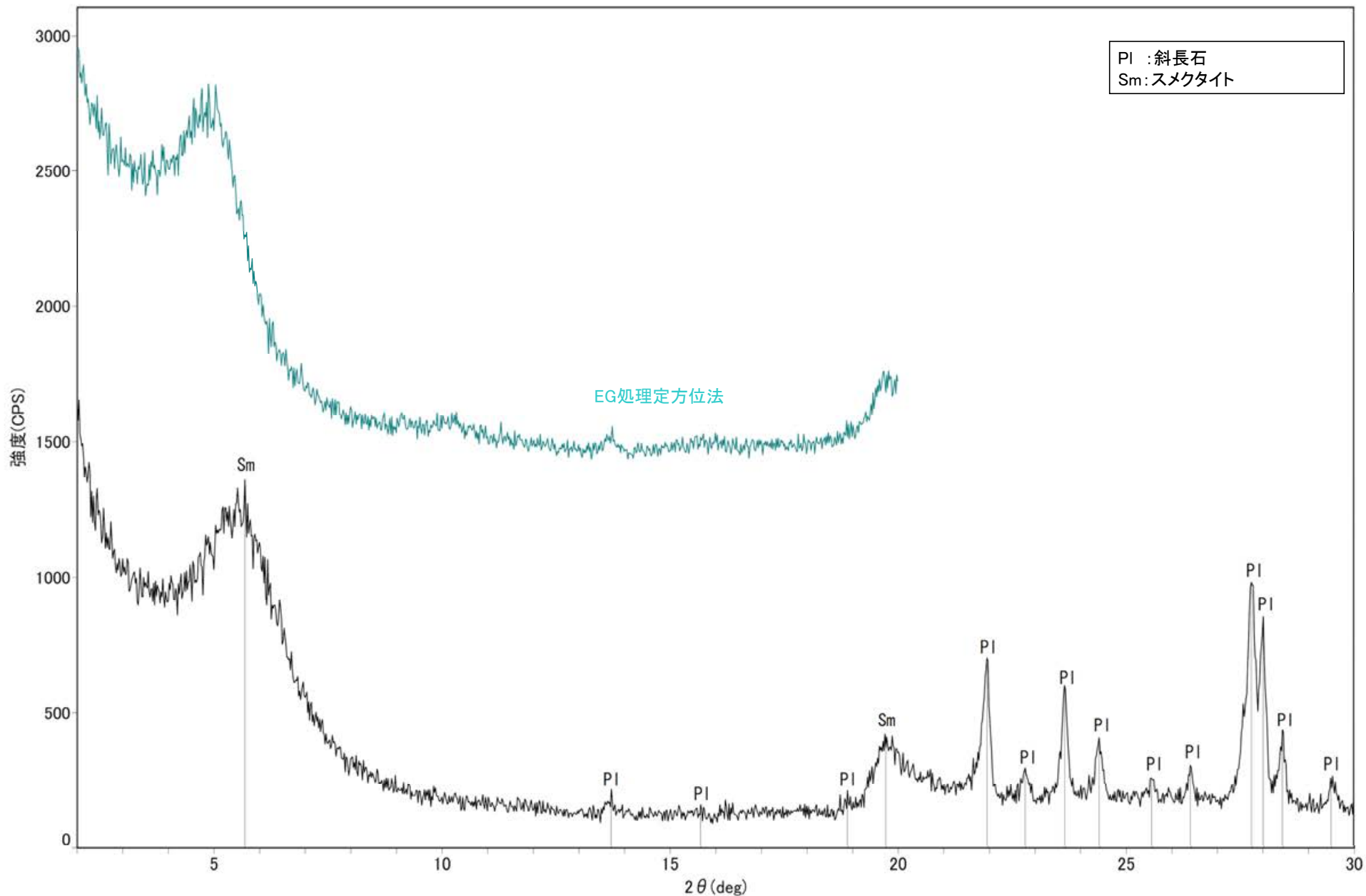
回折チャート



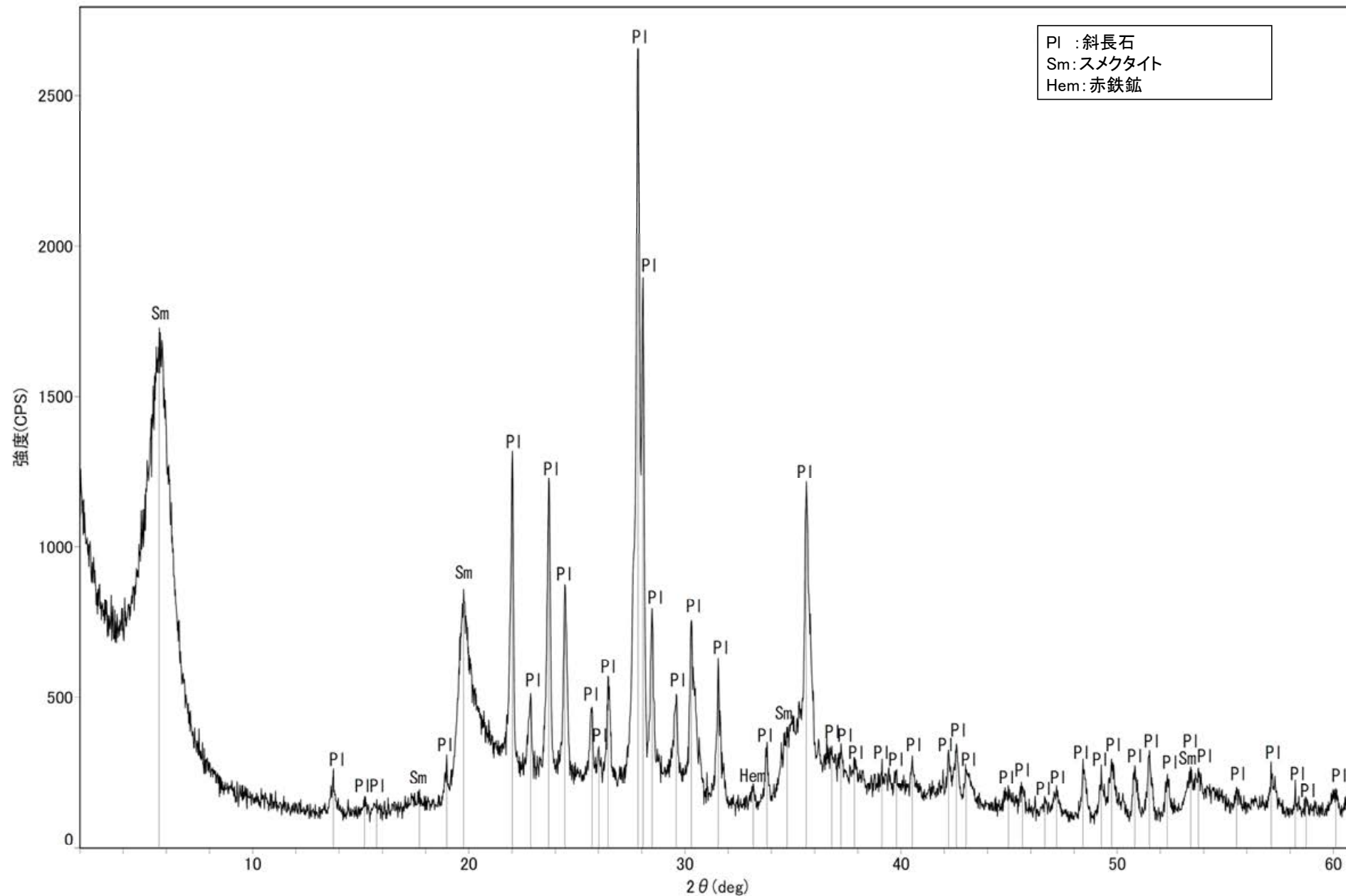
回折チャート
(EG処理も合わせて表示)



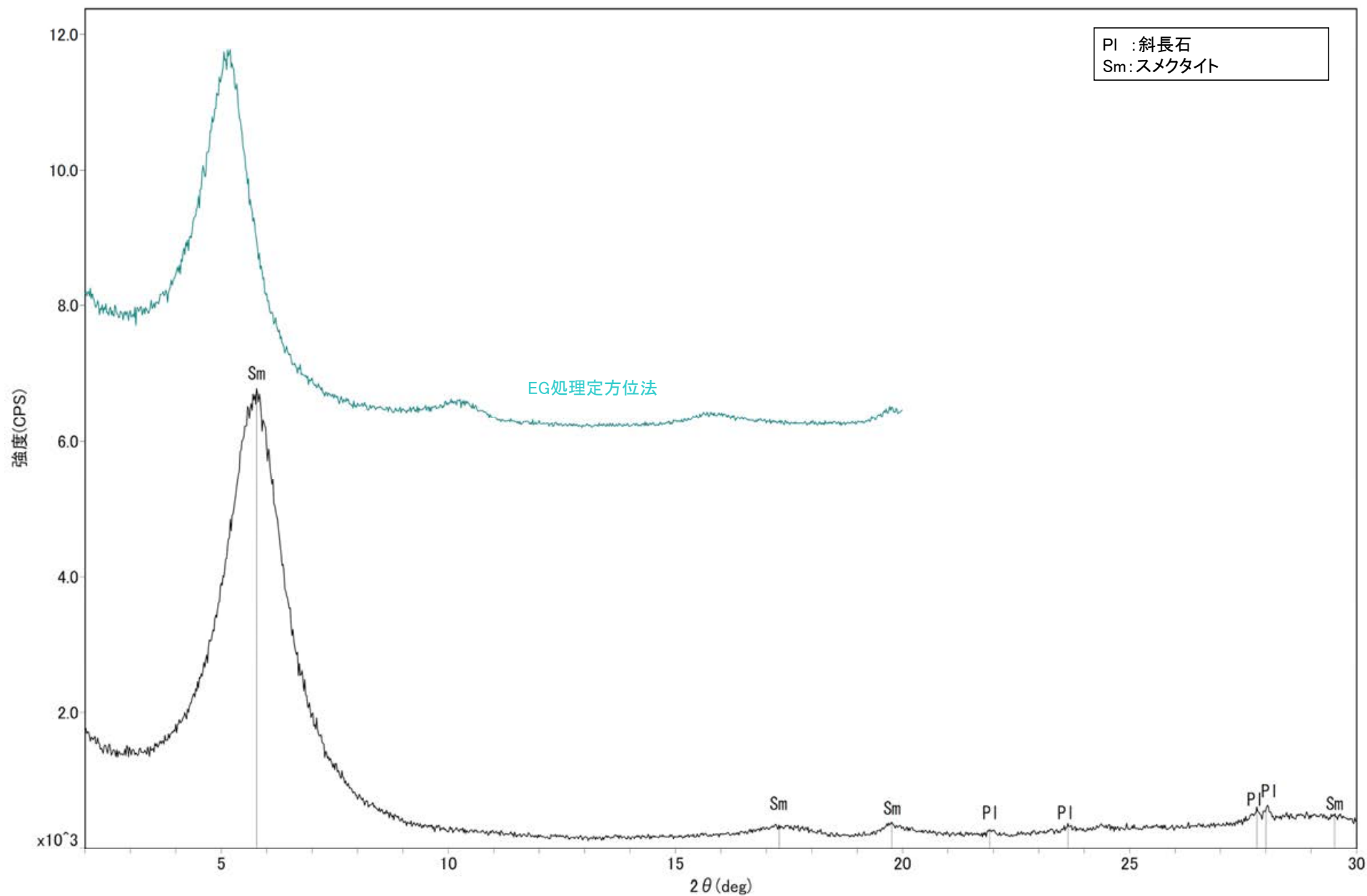
回折チャート



回折チャート
(EG処理も合わせて表示)

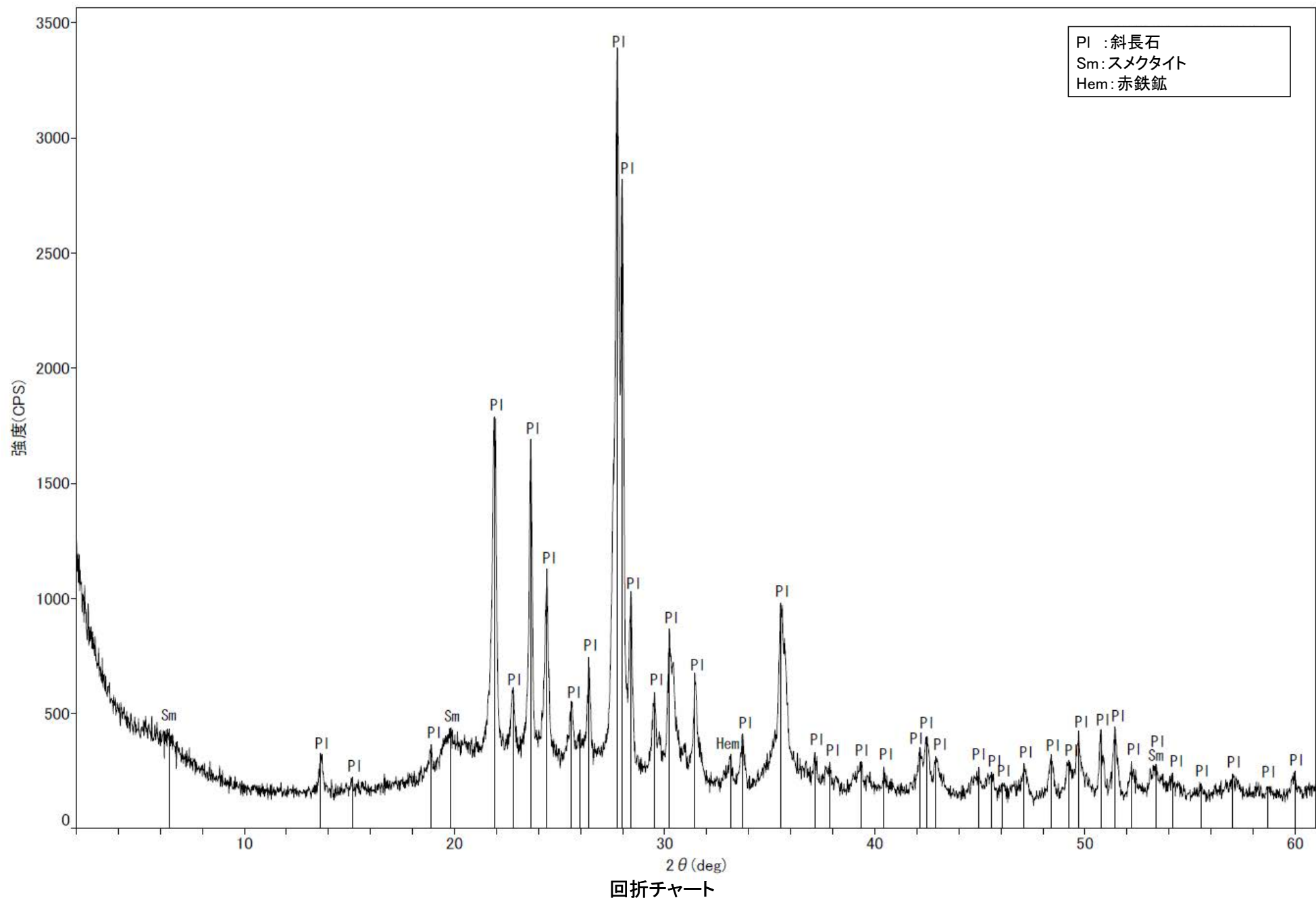


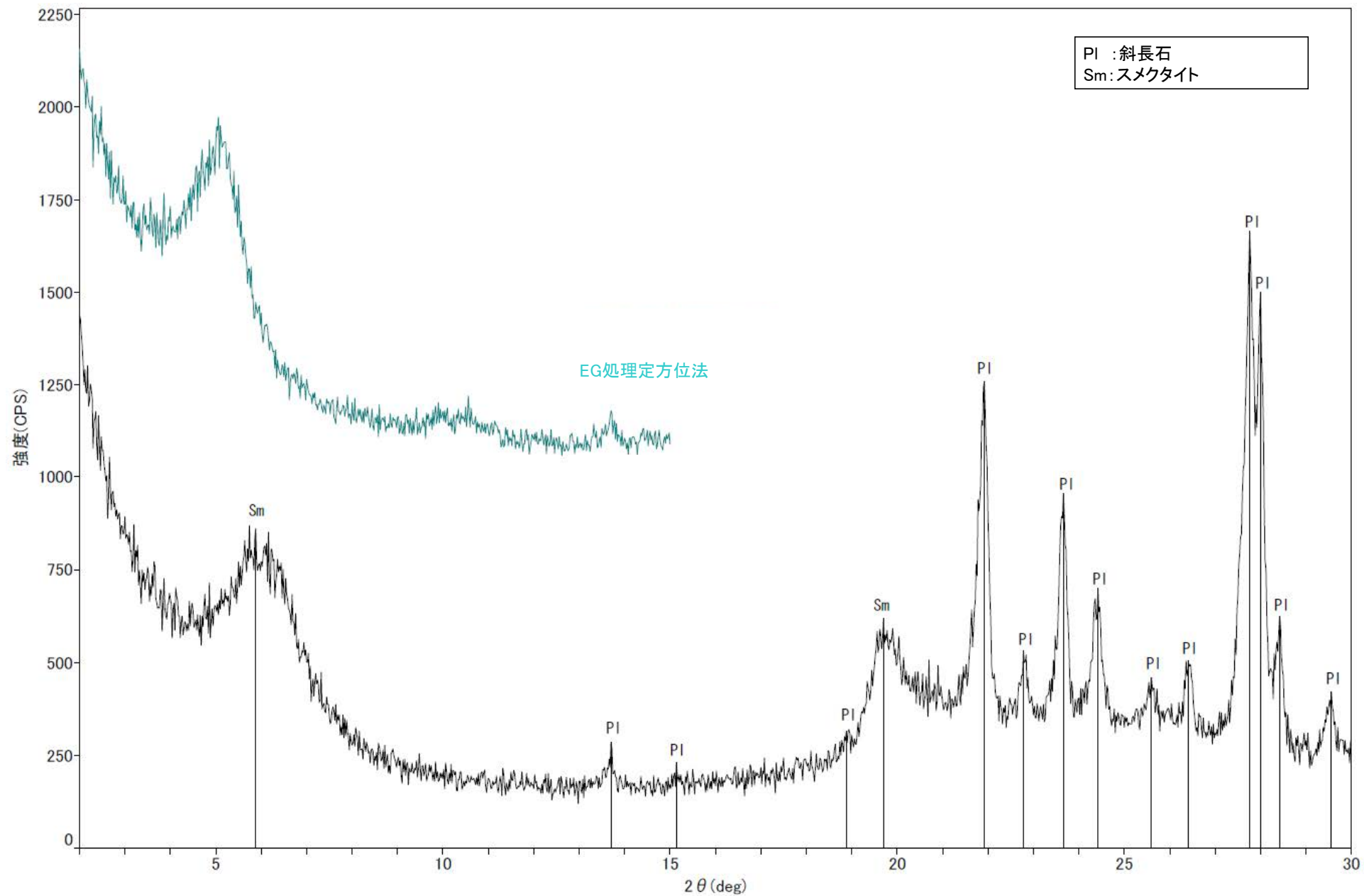
回折チャート



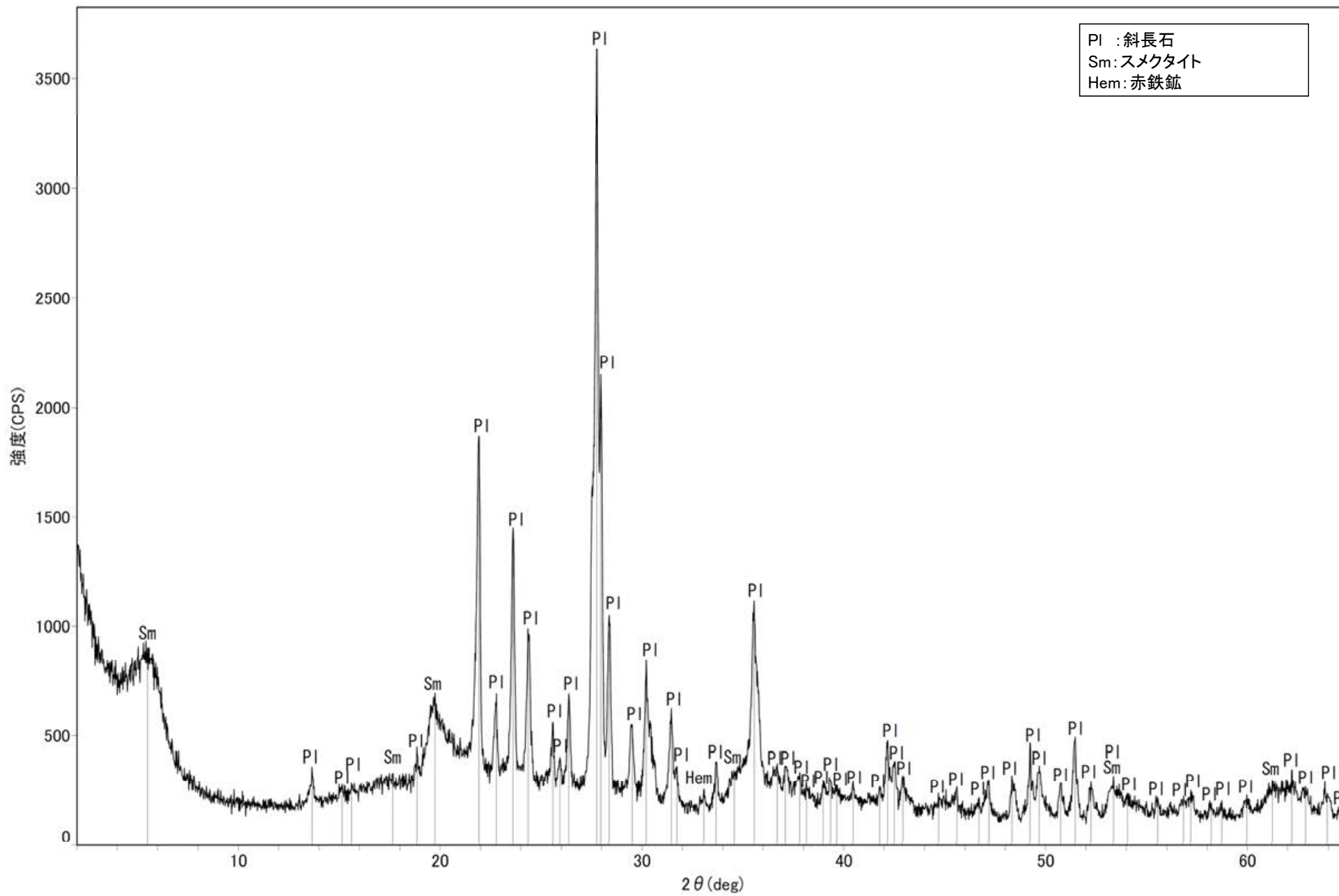
回折チャート
(EG処理も合わせて表示)

粘土状破碎部 S-7 H-5.4-1E孔 -X線回折チャート 不定方位-

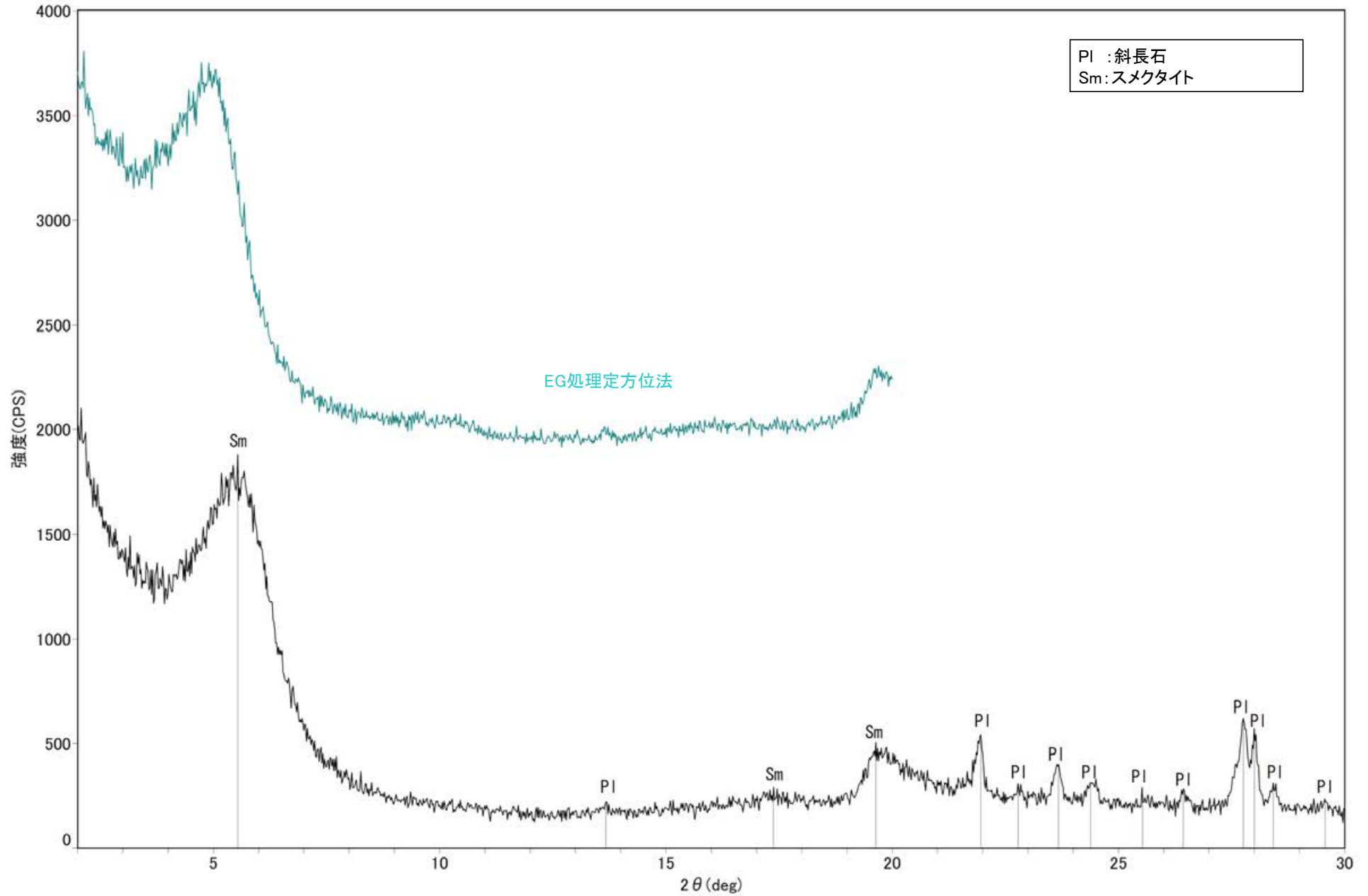




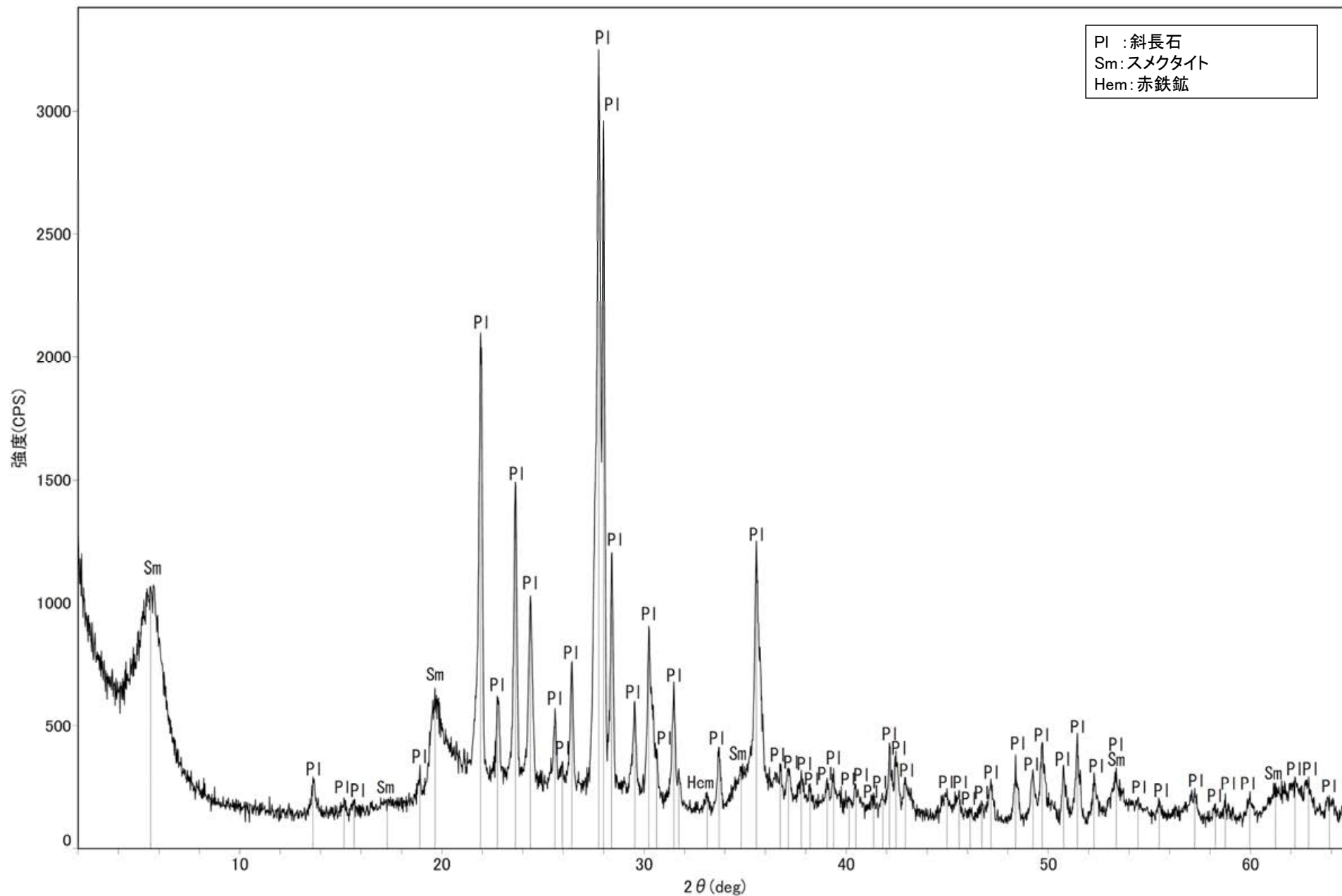
回折チャート
(EG処理も合わせて表示)



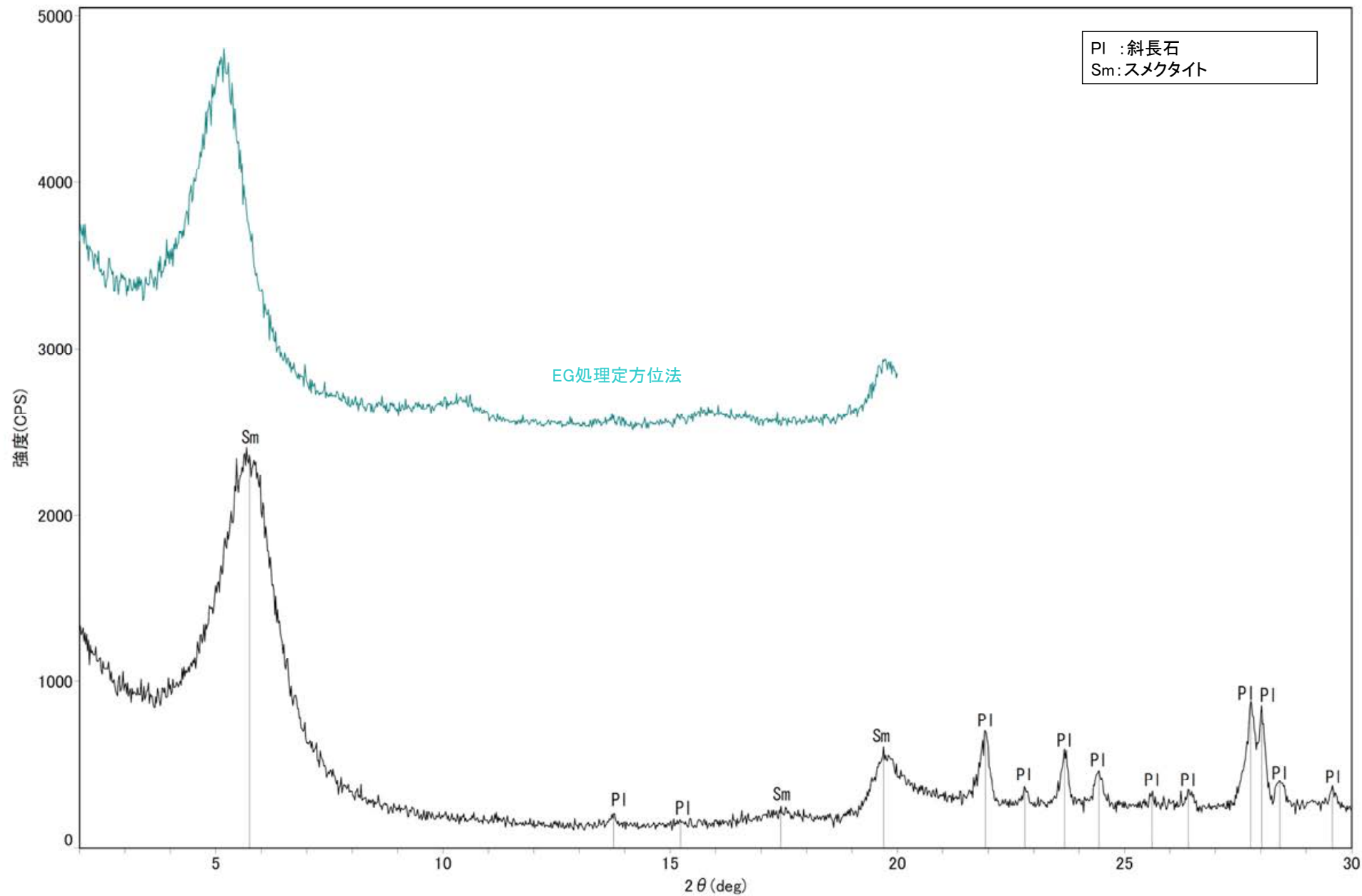
回折チャート



回折チャート
(EG処理も合わせて表示)

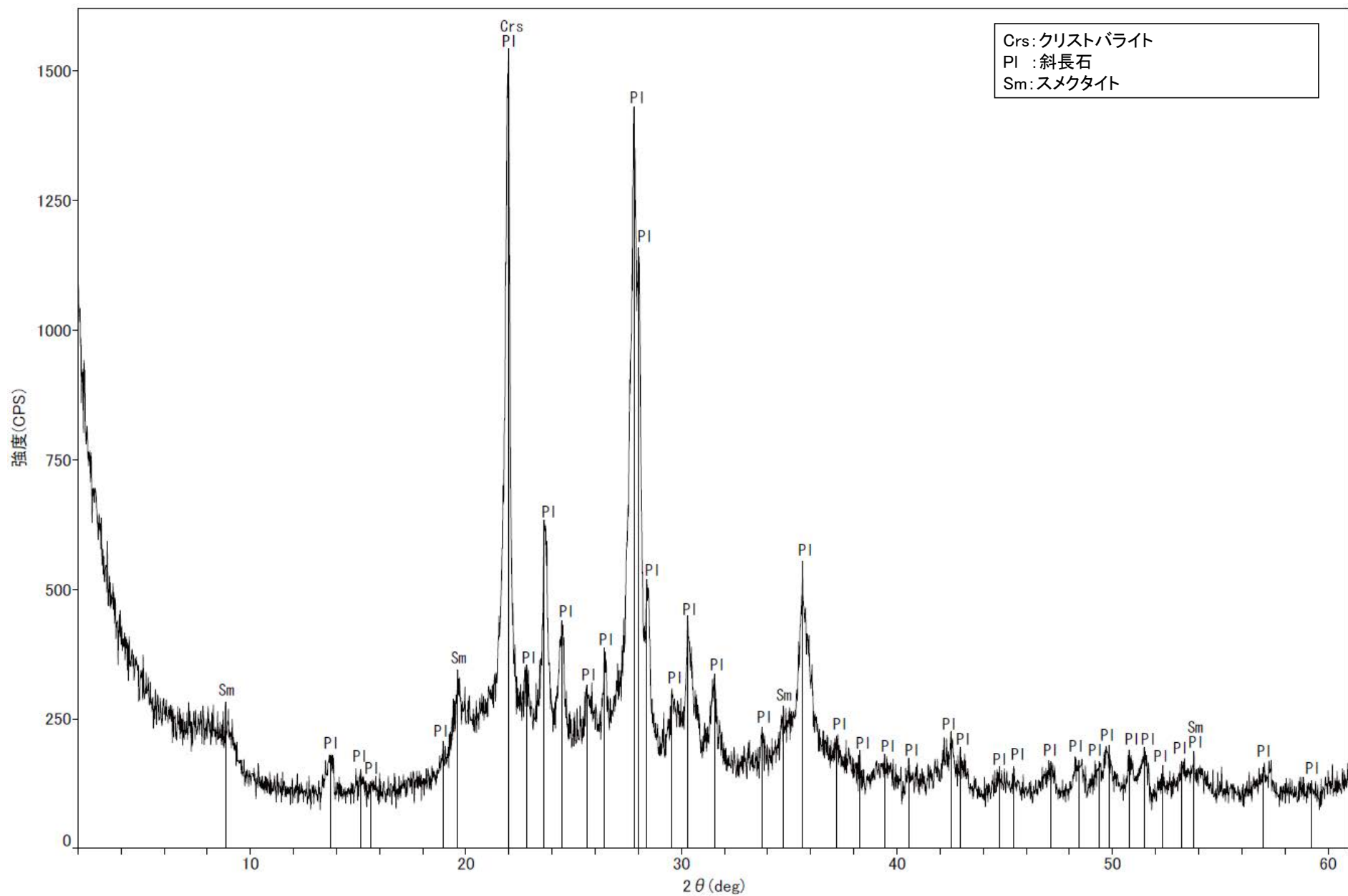


回折チャート

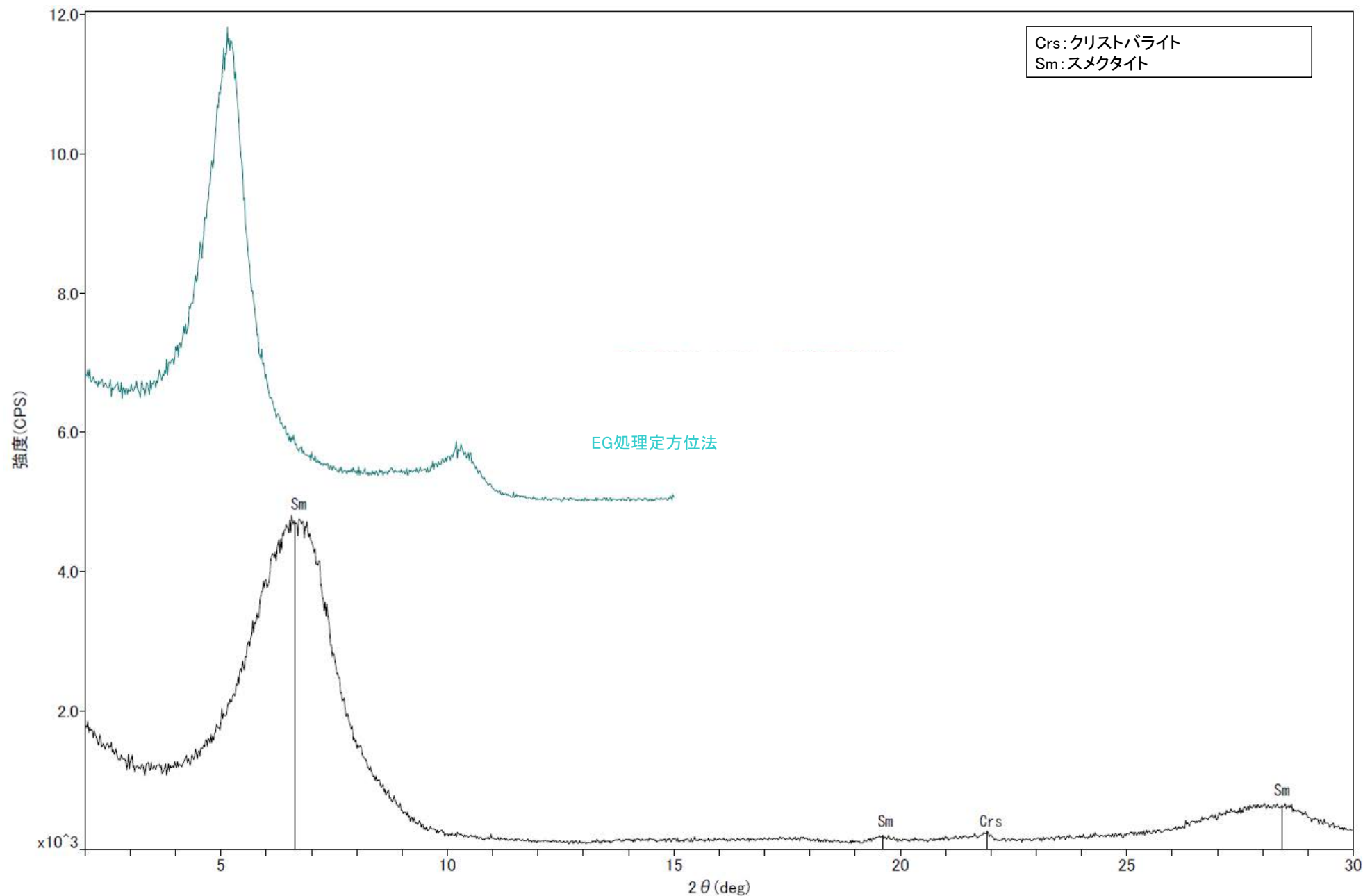


回折チャート
(EG処理も合わせて表示)

粘土状破碎部 K-2 H-1.1-87孔 -X線回折チャート 不定方位-

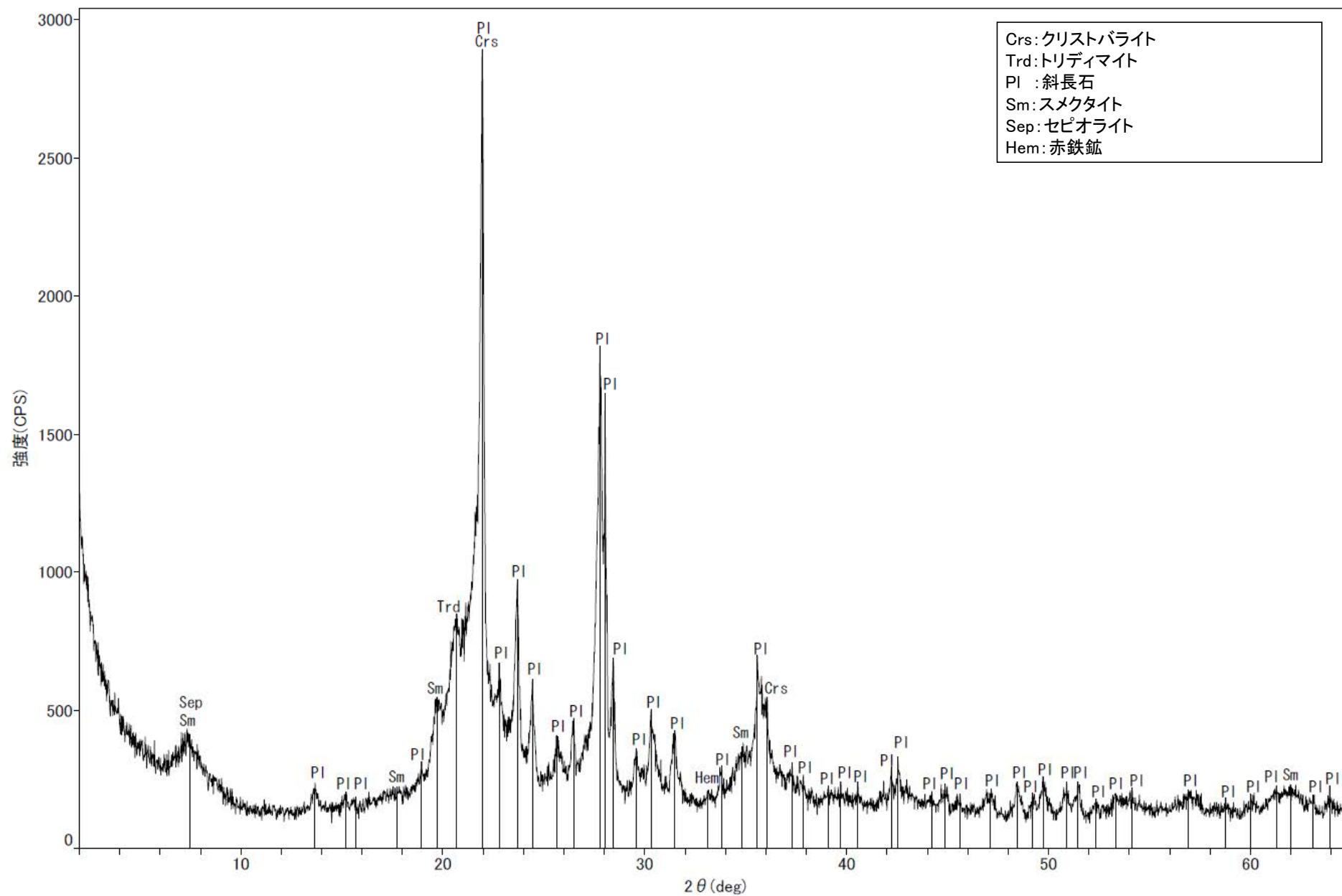


回折チャート

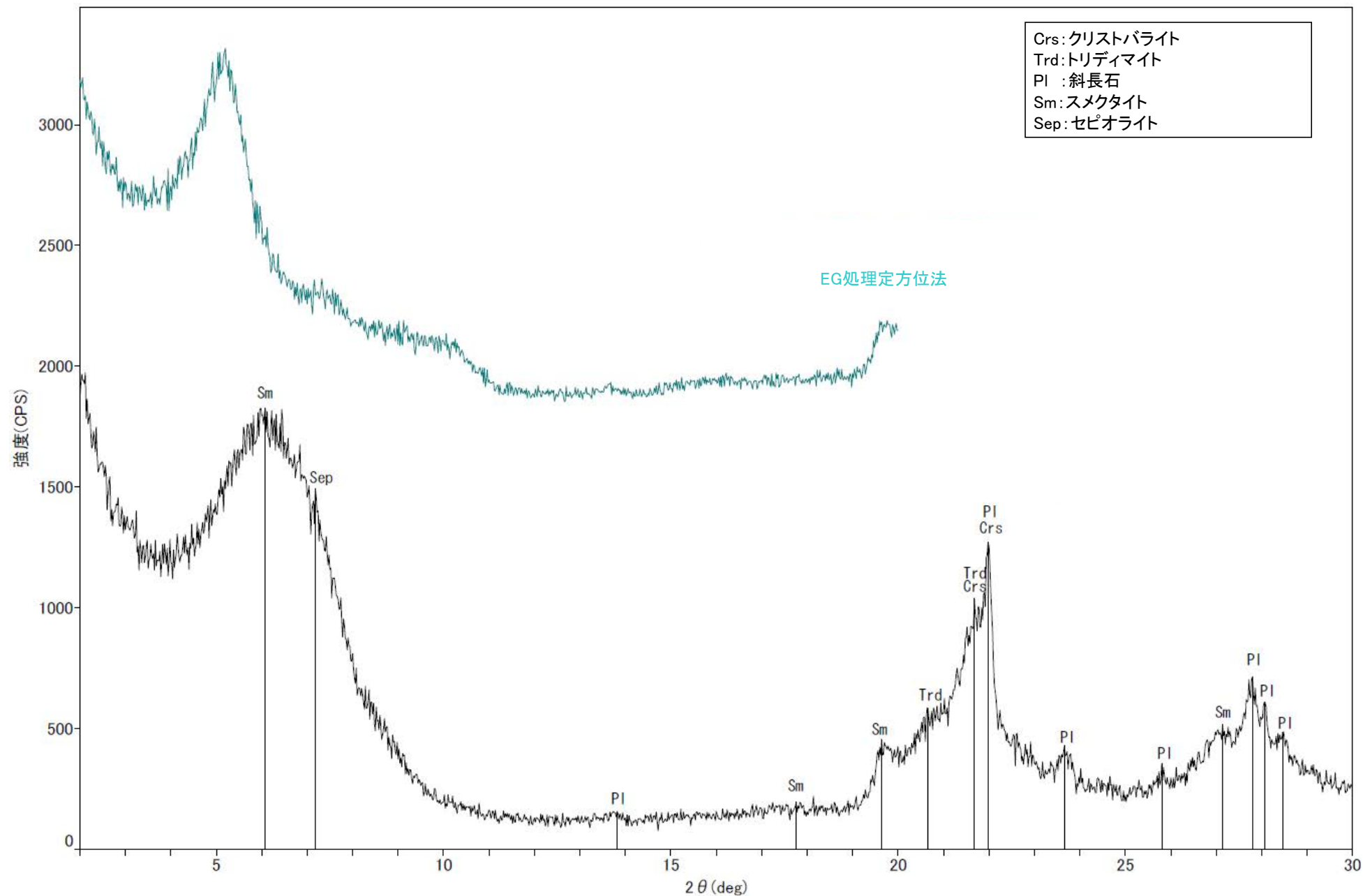


回折チャート
(EG処理も合わせて表示)

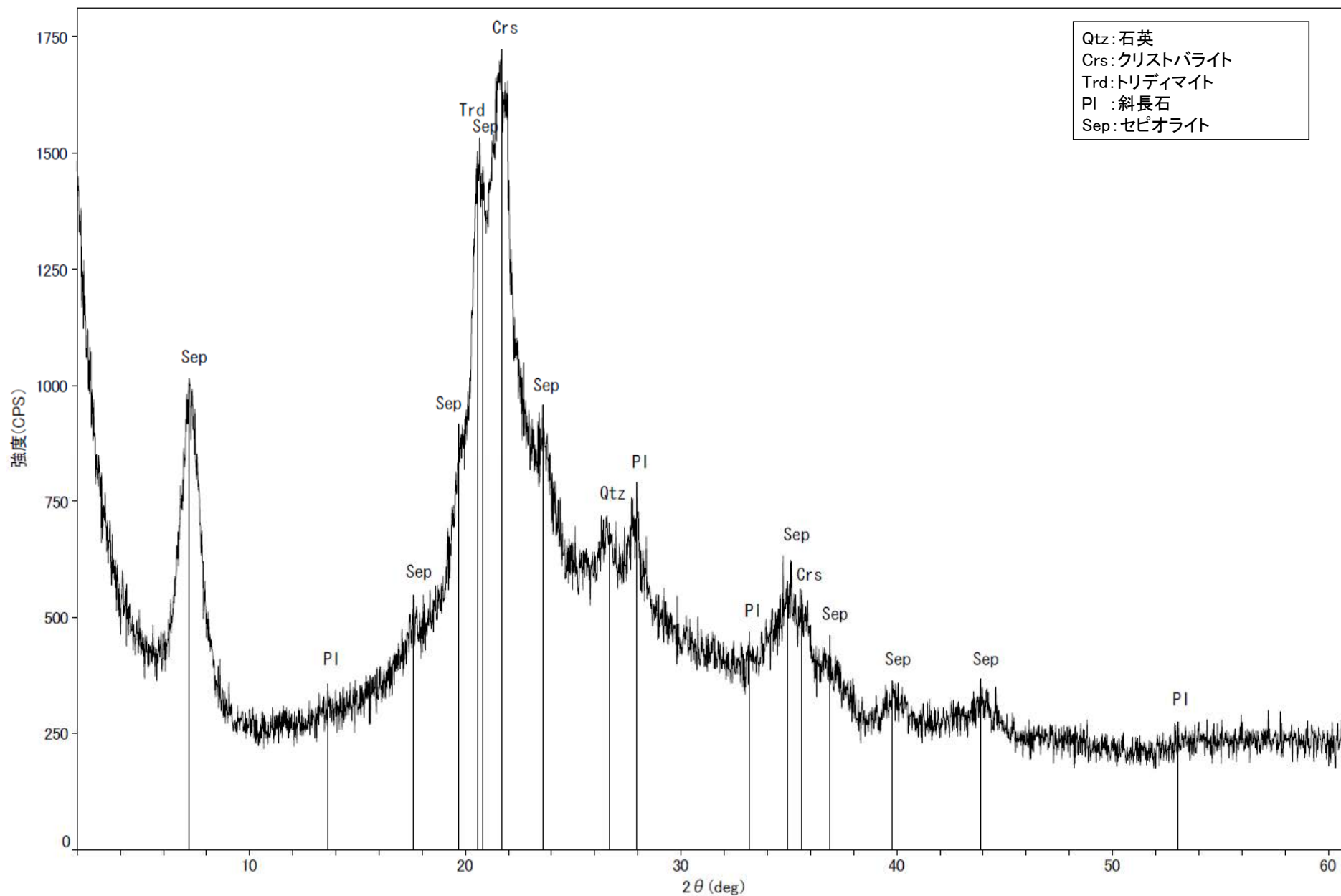
粘土状破碎部 K-2 H-1.1孔 -X線回折チャート 不定方位-



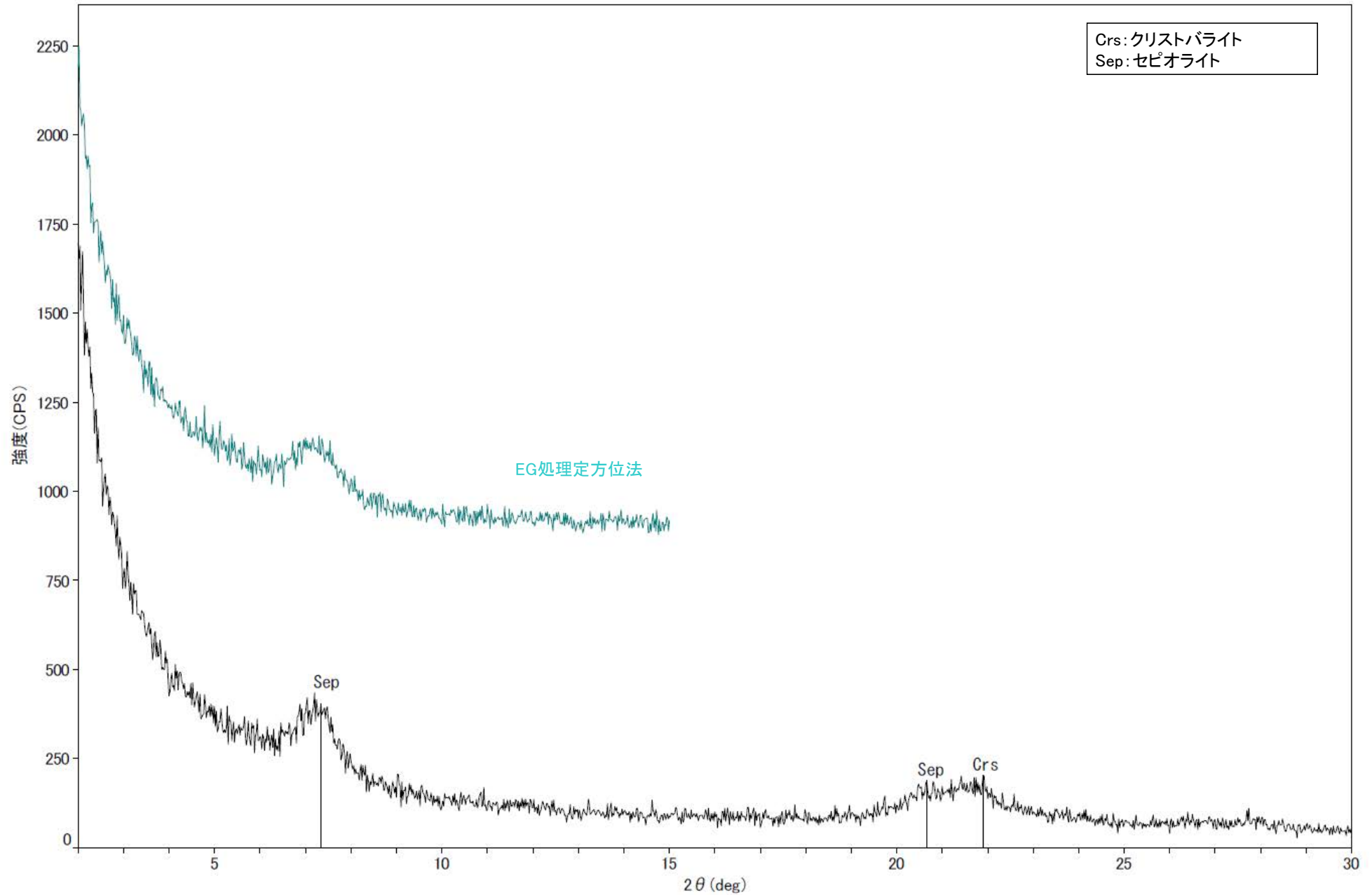
回折チャート



回折チャート
(EG処理も合わせて表示)

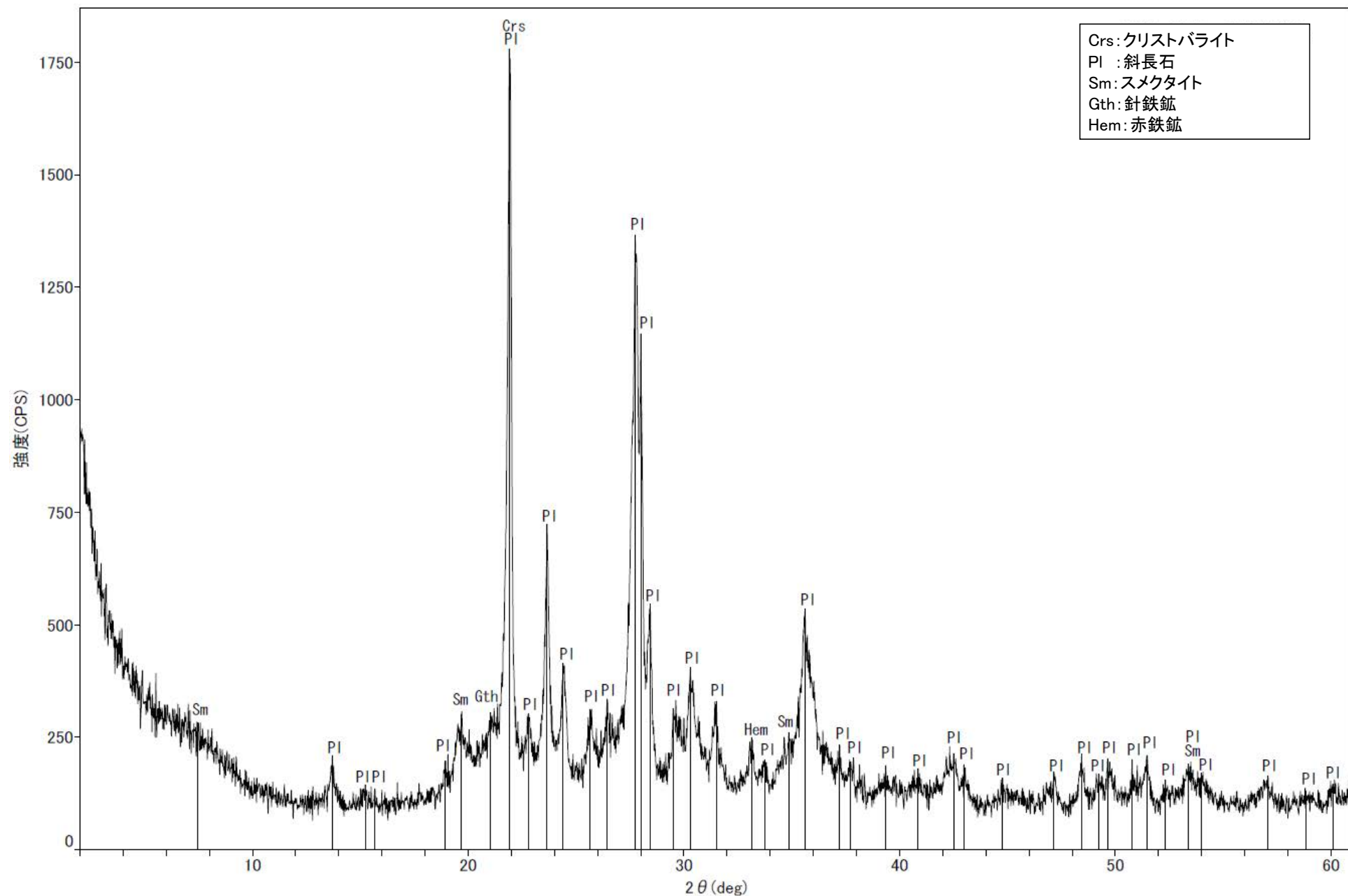


回折チャート

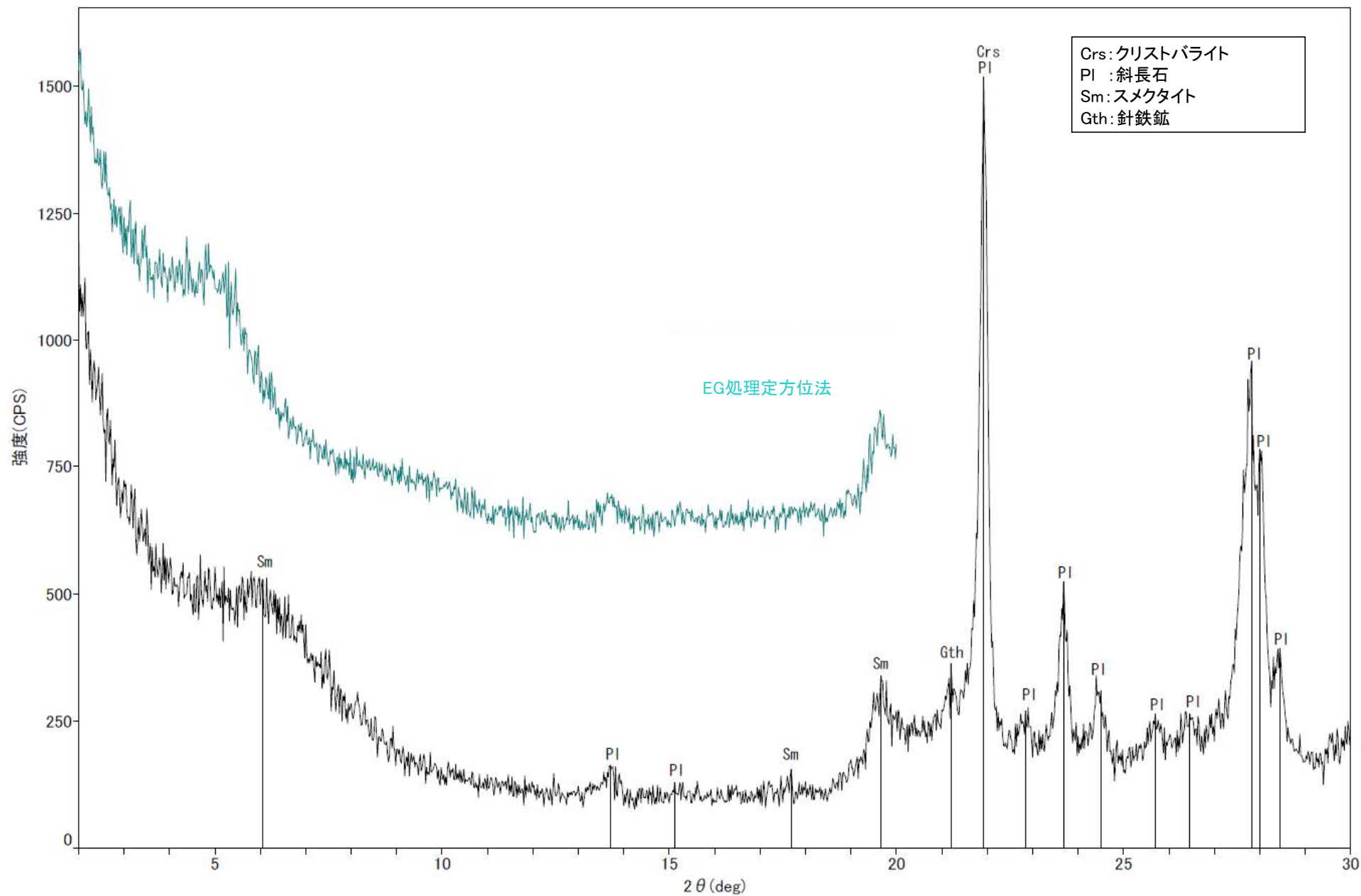


回折チャート
(EG処理も合わせて表示)

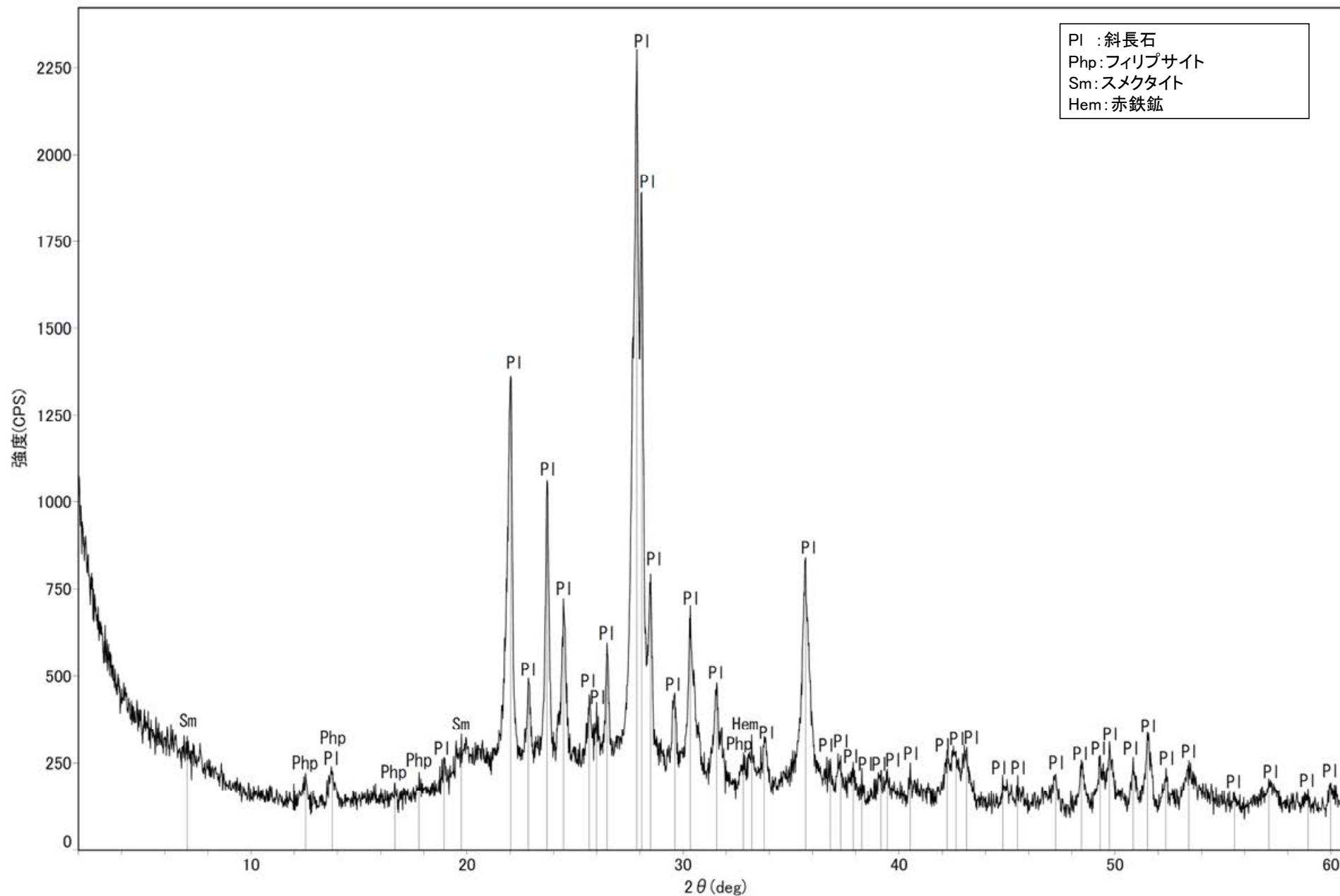
固結した破碎部 K-3 M-2.2孔 -X線回折チャート 不定方位-



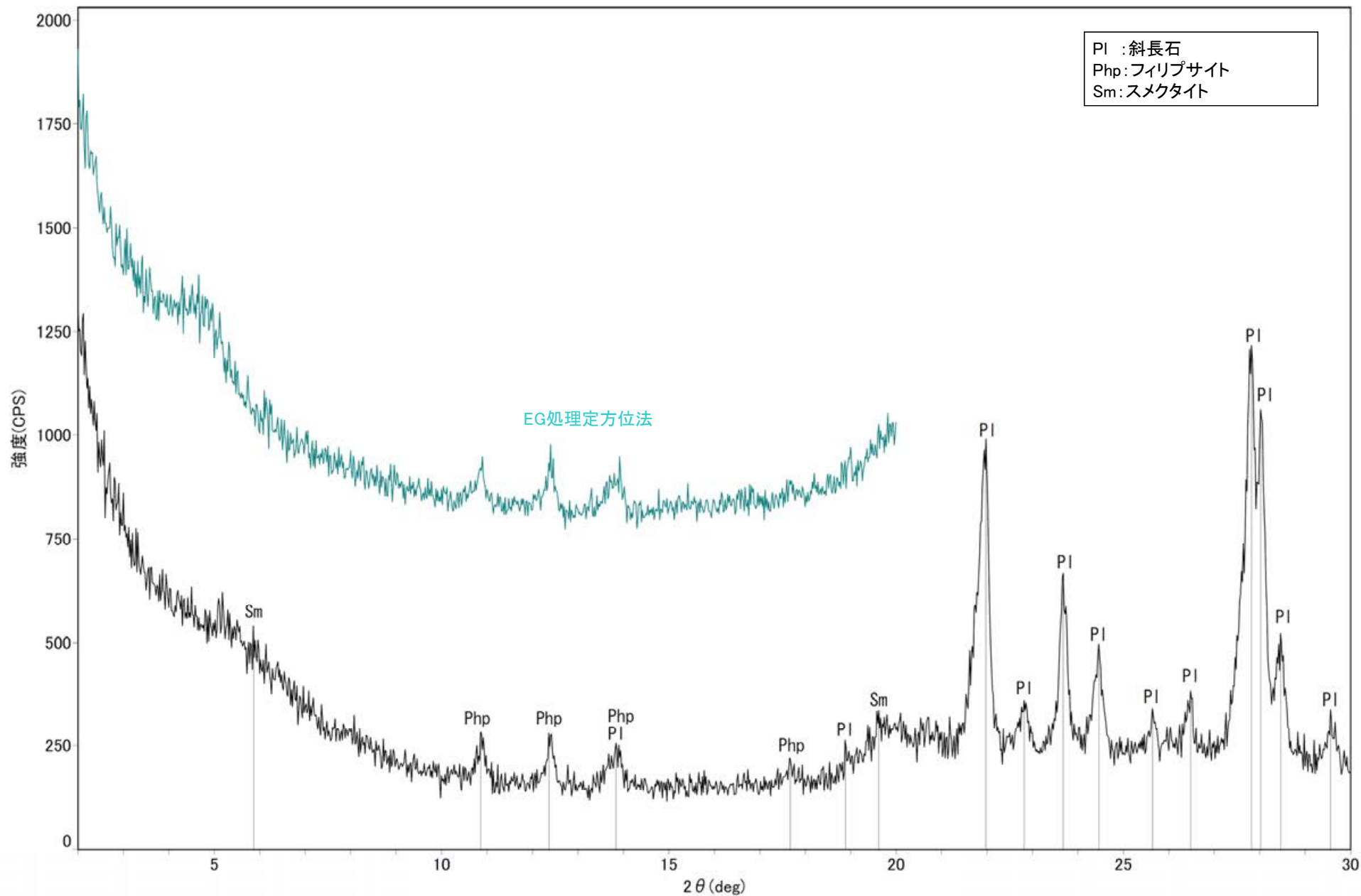
固結した破砕部 K-3 M-2.2孔 -X線回折チャート 定方位 EG処理-



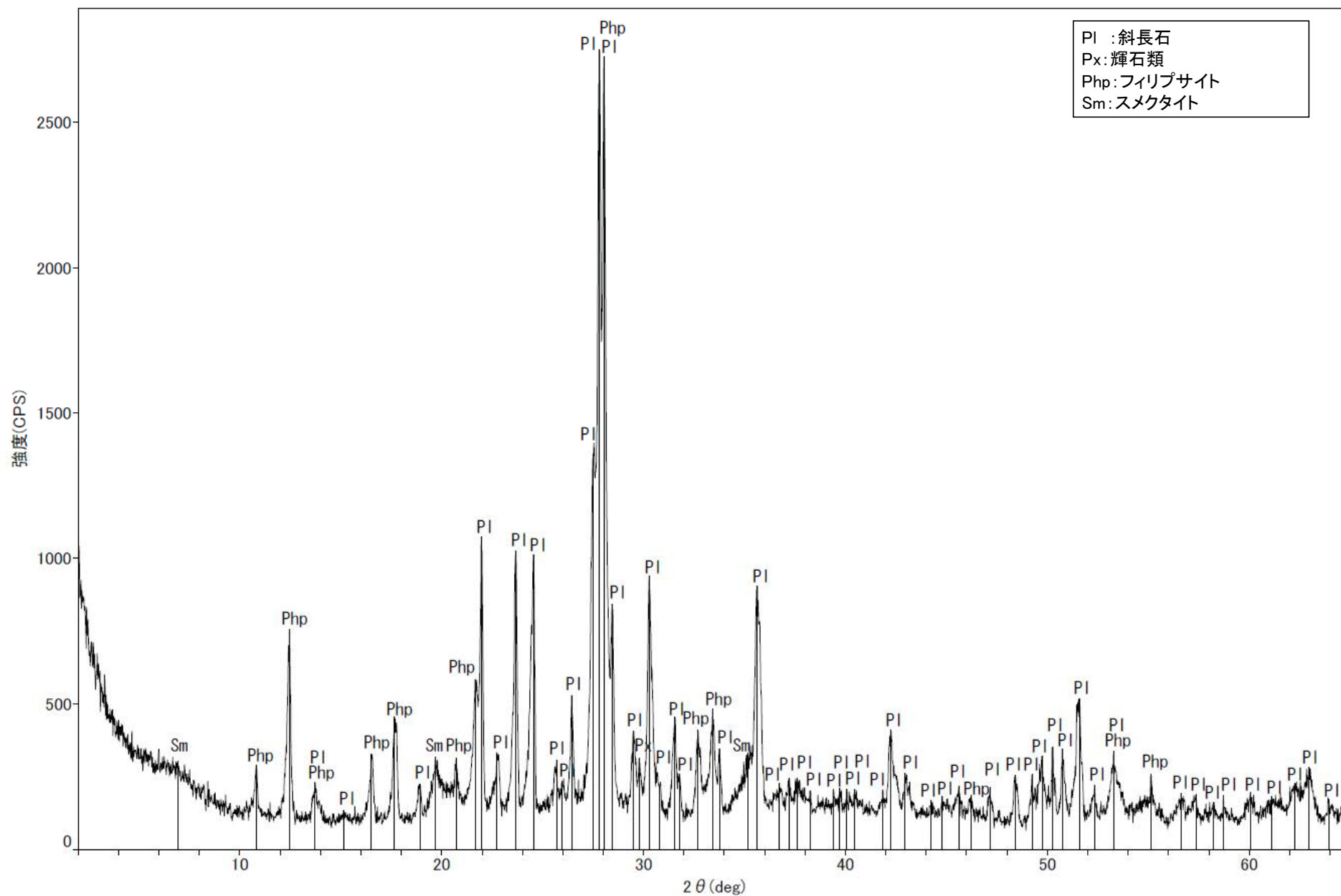
回折チャート
(EG処理も合わせて表示)



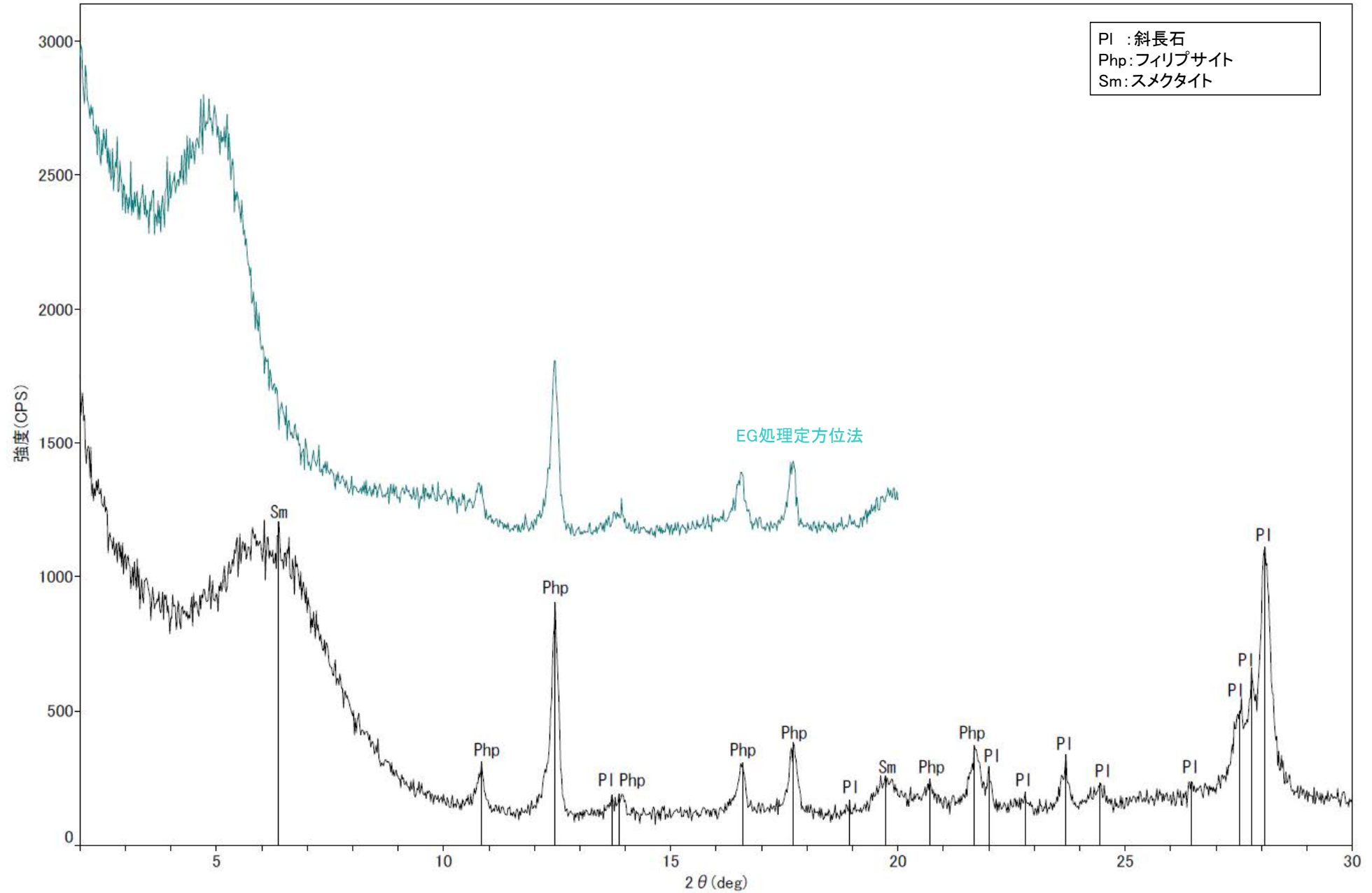
回折チャート



回折チャート
(EG処理も合わせて表示)

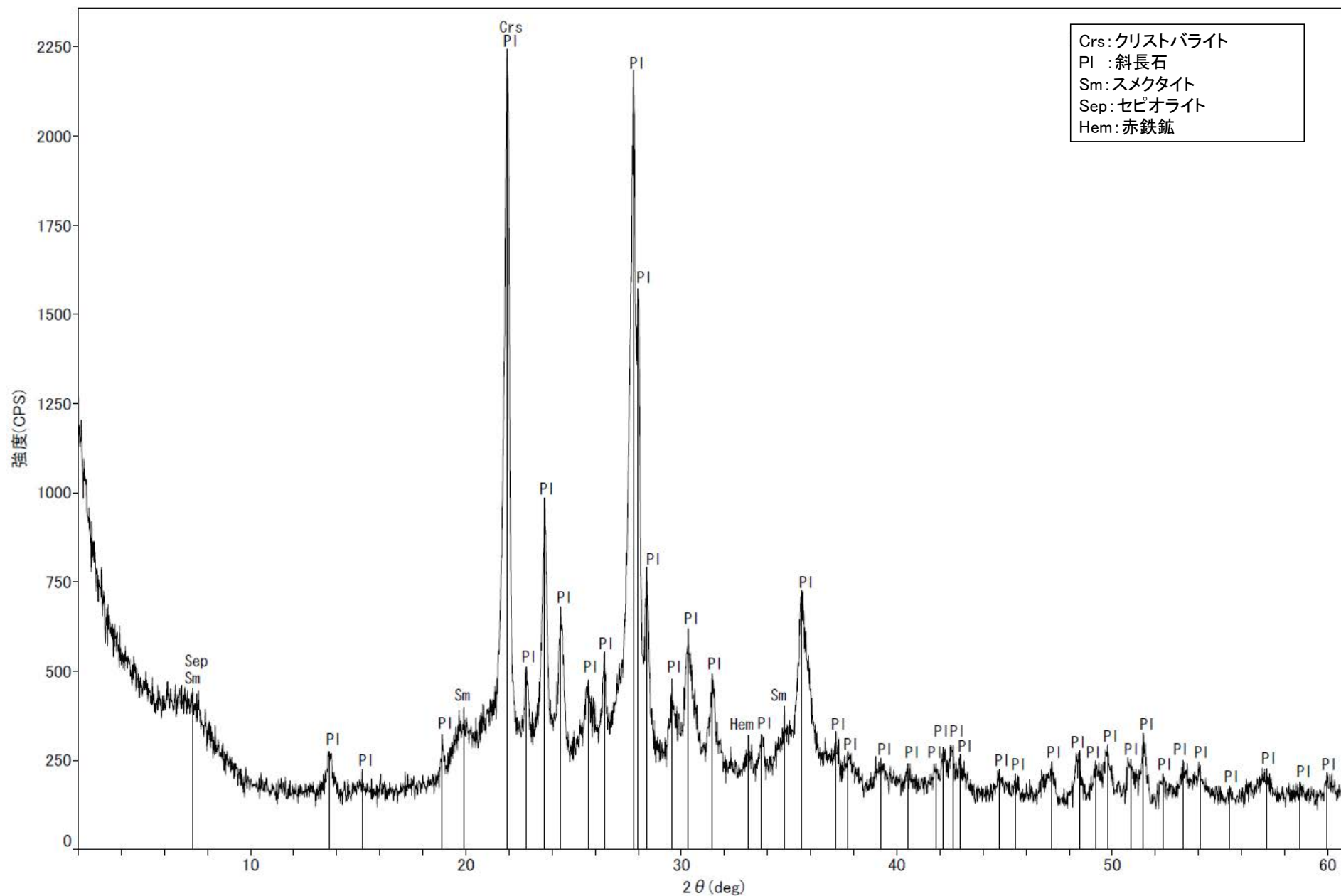


回折チャート

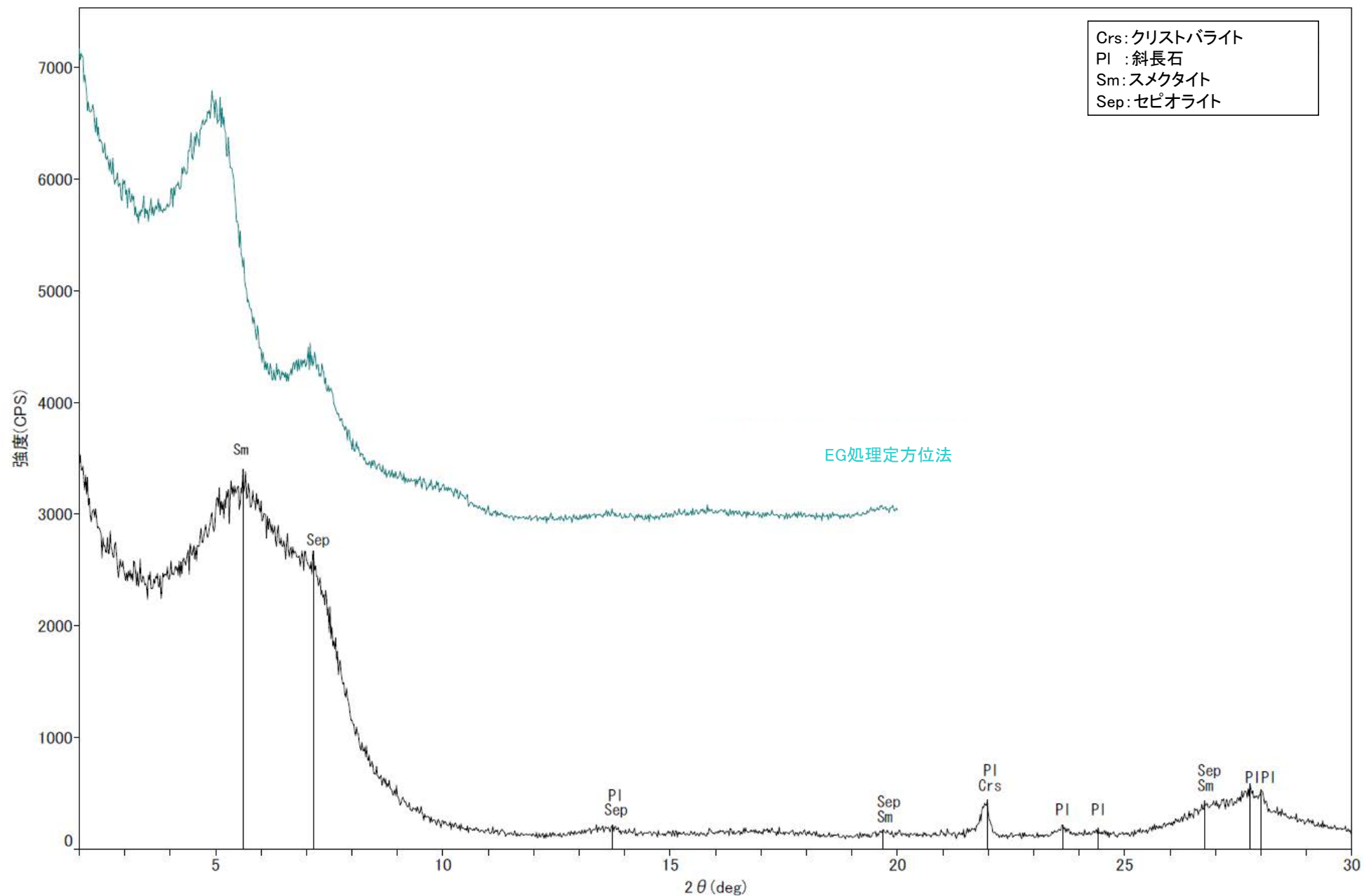


回折チャート
(EG処理も合わせて表示)

粘土状破碎部 K-18 H-0.2-75孔 -X線回折チャート 不定方位-



回折チャート



回折チャート
(EG処理も合わせて表示)

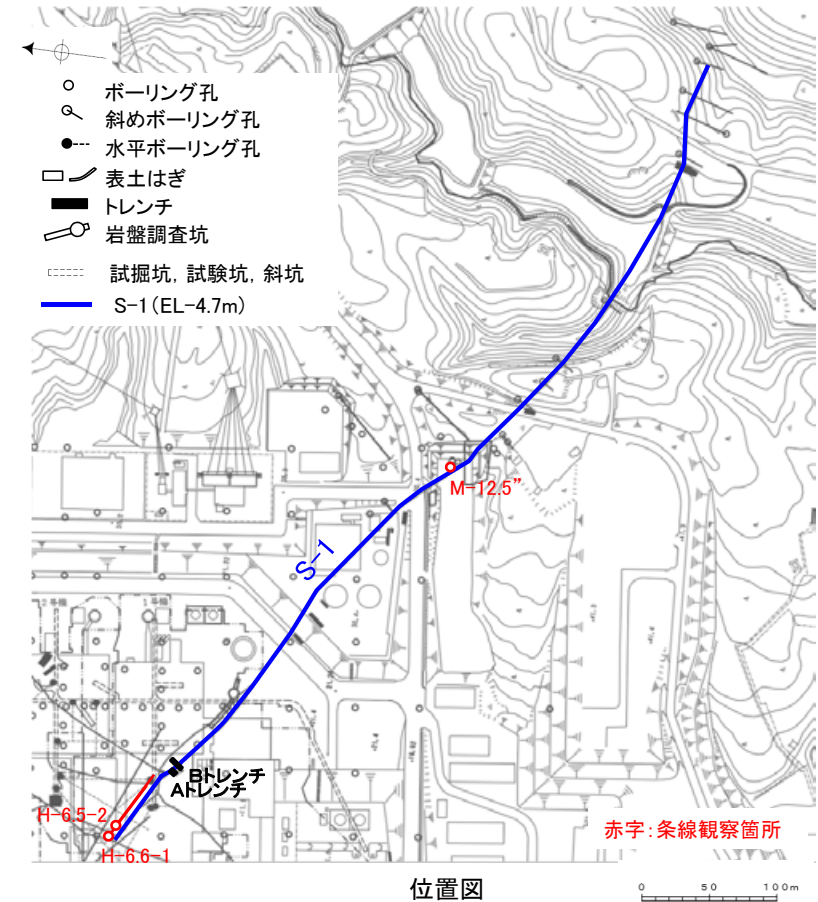
(2) 条線觀察結果

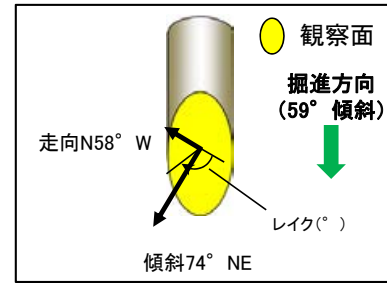
(2)-1 S-1の条線観察結果

S-1の条線観察結果

試料名		走向／傾斜 (走向は真北)	条線の レイク※1	変位センス (条線観察)
ボーリングH-6.5-2孔 [深度70.70m]	上盤側	N58° W/74° NE	66° R	(不明)
ボーリングH-6.6-1孔 [深度57.20m]	下盤側	N66° W/80° NE	71° R	(不明)
ボーリングM-12.5”孔 [深度50.00m]	上盤側	N51° W/79° NE	65° R	(不明)

※1 上盤側で確認したレイクは下盤側に換算して示す。

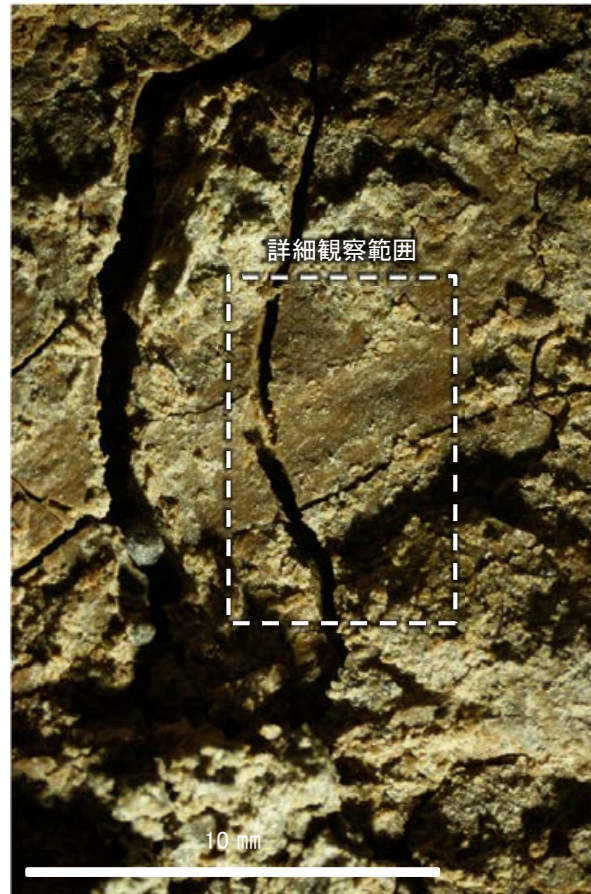




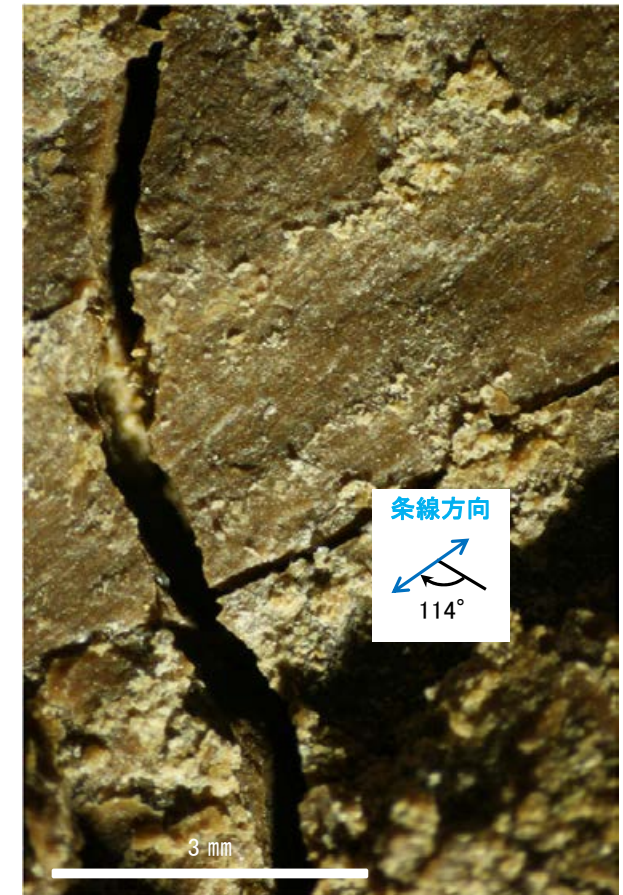
概念図
※走向は真北で示す。



観察面写真

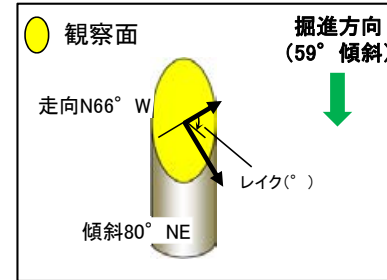


観察面拡大写真



詳細観察写真

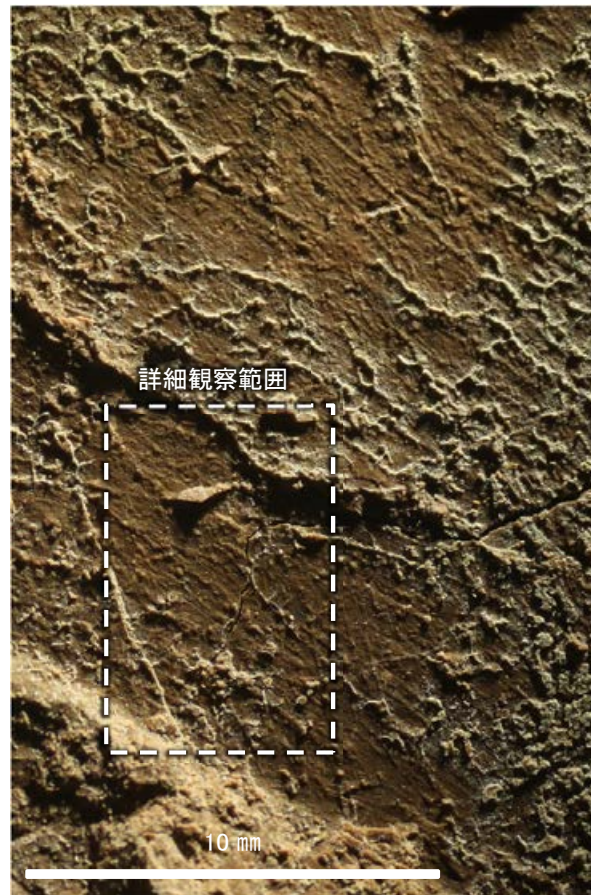
・条線のレイクは66° R(下盤側換算), 変位センスは不明



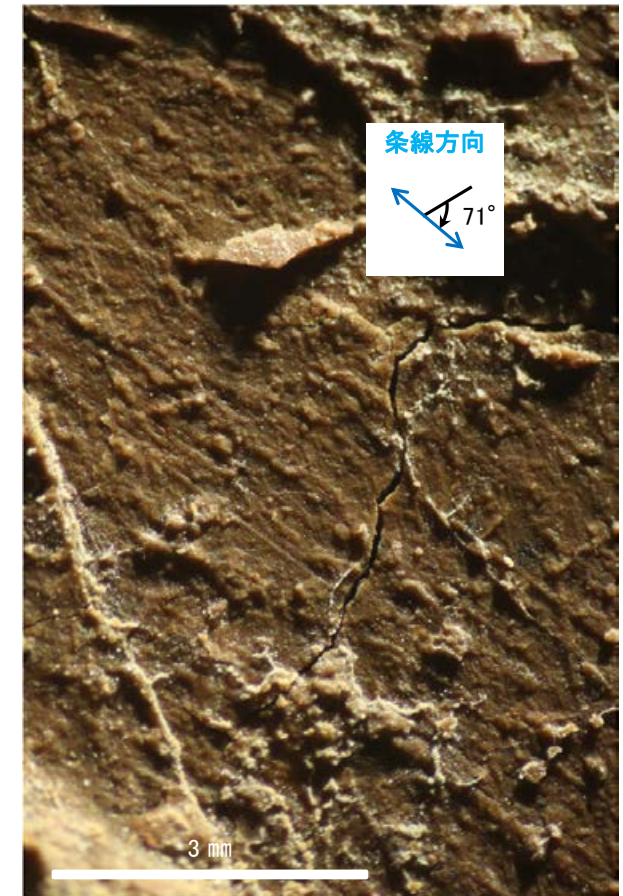
概念図
※走向は真北で示す。



観察面写真

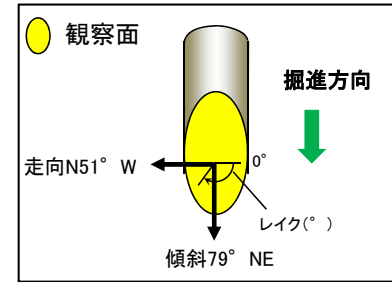


観察面拡大写真



詳細観察写真

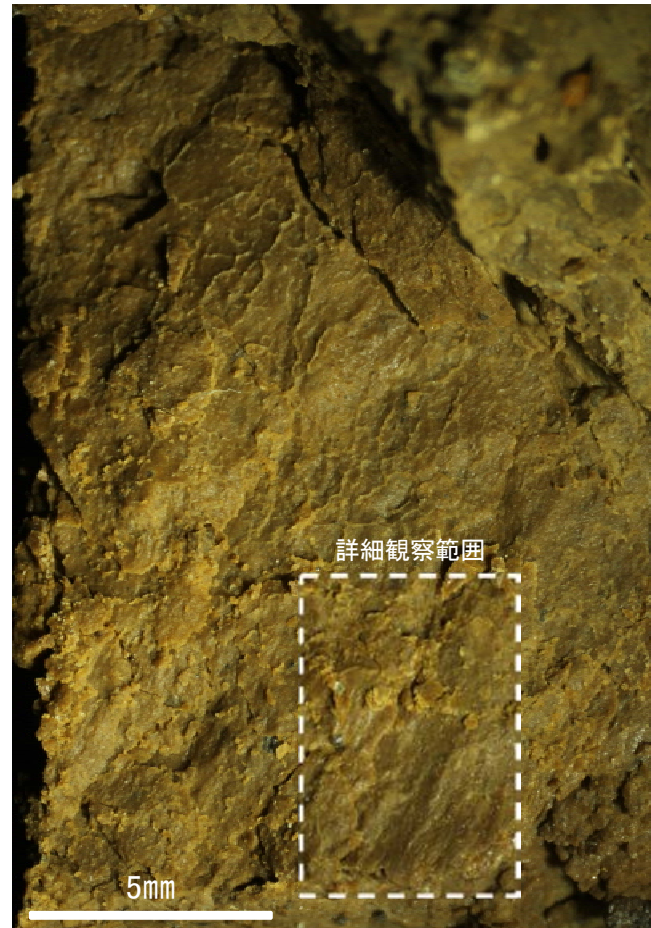
・条線のレイクは71° R, 変位センスは不明



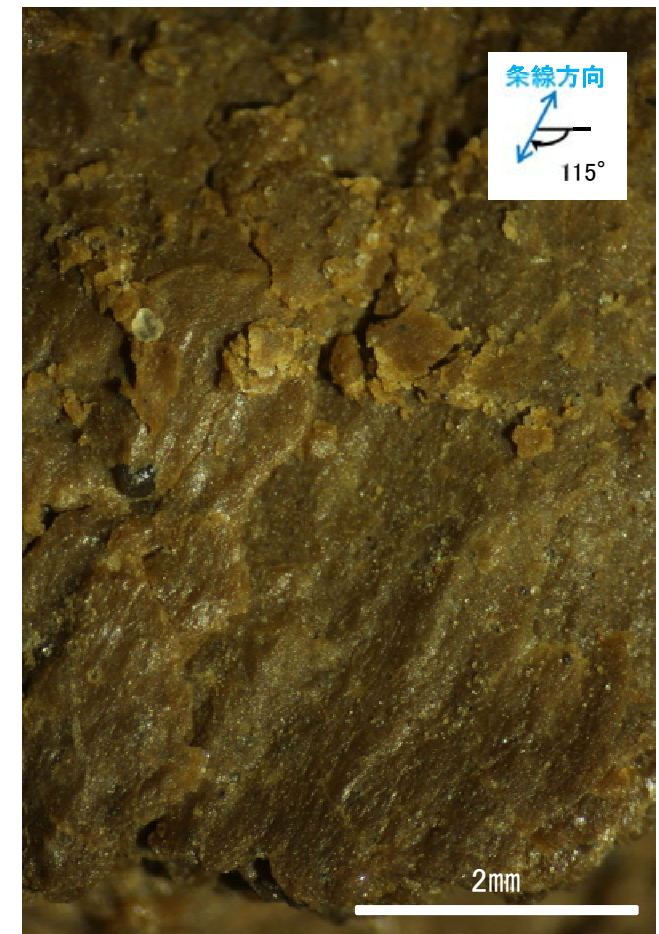
概念図
※走向は真北で示す。



観察面写真



観察面拡大写真



詳細観察写真

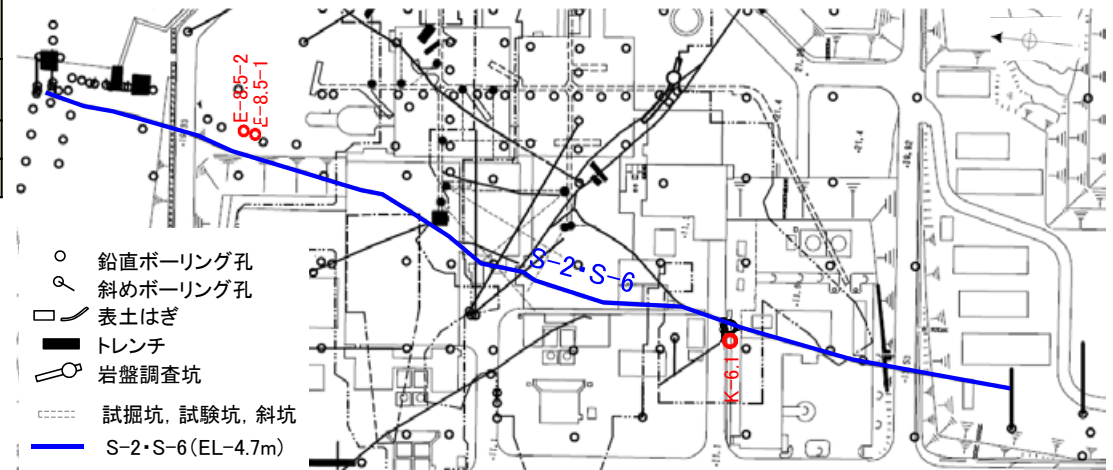
・条線のレイクは65° R(下盤側換算), 変位センスは不明

(2)-2 S-2・S-6の条線観察結果

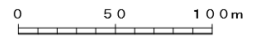
S-2・S-6の条線観察結果

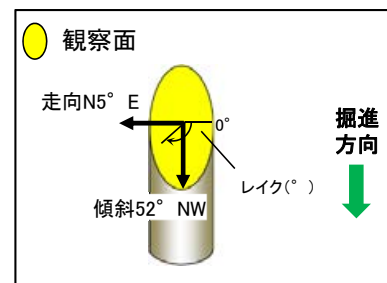
試料名		走向/傾斜 (走向は真北)	条線の レイク ^{※1}	変位センス
ボーリングK-6.1孔 [深度31.50m]	下盤側	N5° E/52° NW	100° R	(不明)
ボーリングE-8.5-1孔 [深度8.33m]	下盤側	N5° E/51° NW	140° R	左横ずれ逆断層
ボーリングE-8.5-2孔 [深度8.55m]	上盤側	N8° E/51° NW	105° R	(不明)
			160° R	(不明)

※1 上盤側で確認したレイクは下盤側に換算して示す。

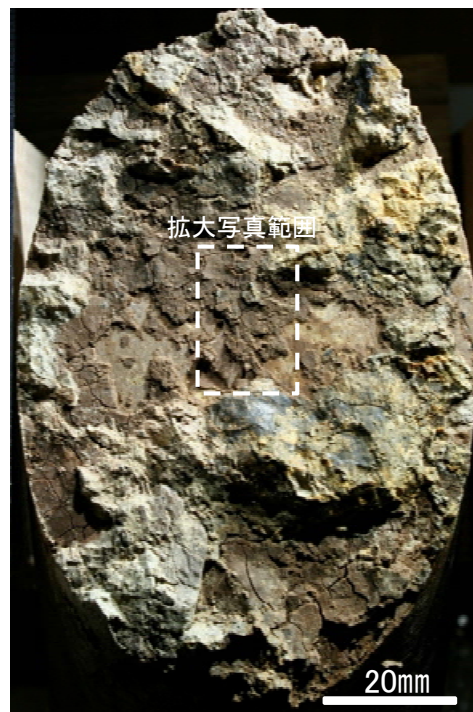


位置図

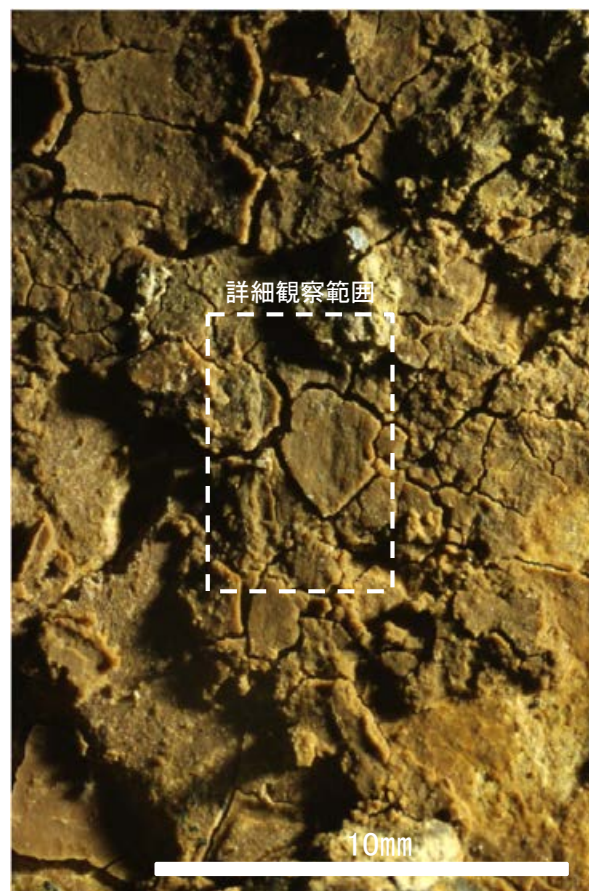




概念図
※走向は真北で示す。



観察面写真

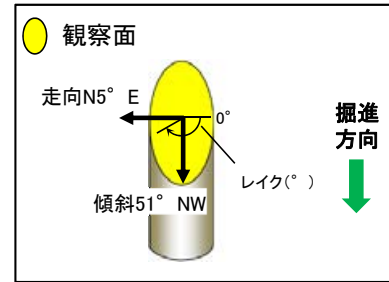


観察面拡大写真



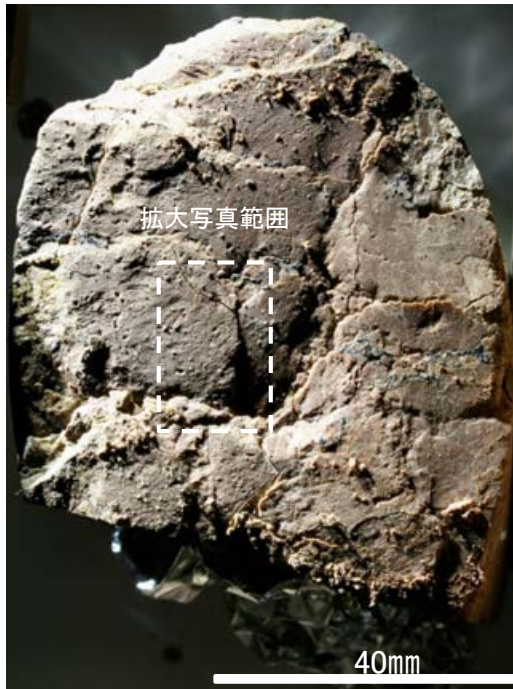
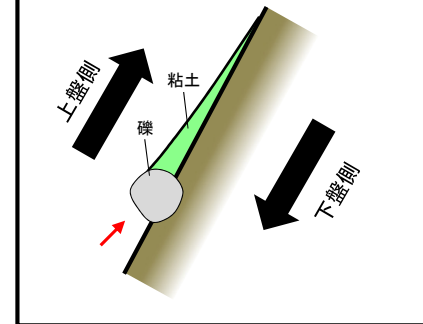
詳細観察写真

・条線のレイクは100° R, 変位センスは不明

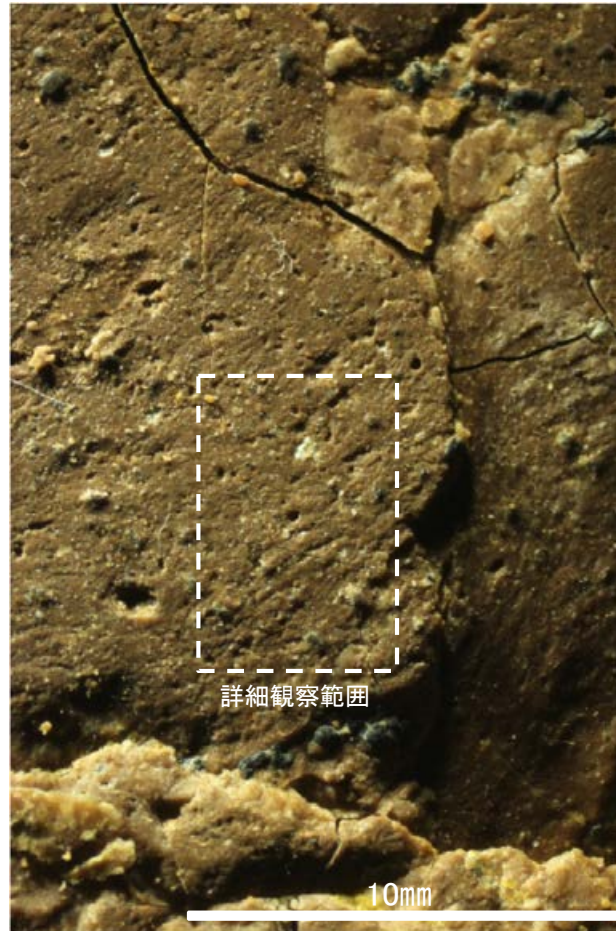


概念図
※走向は真北で示す。

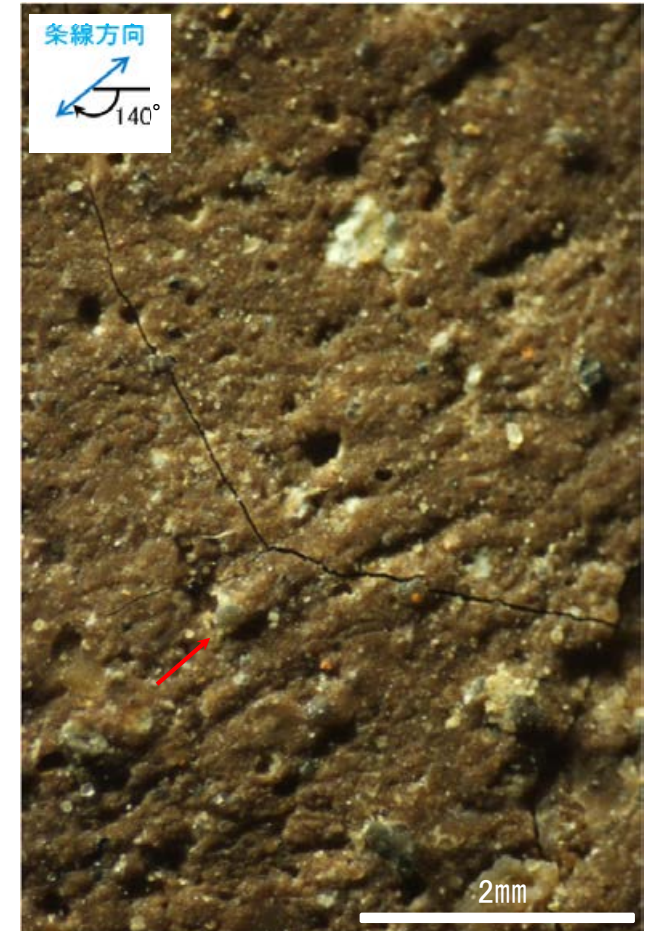
条線方向及び礫周りの粘土の非対称構造から、逆断層センスを示す。



観察面写真

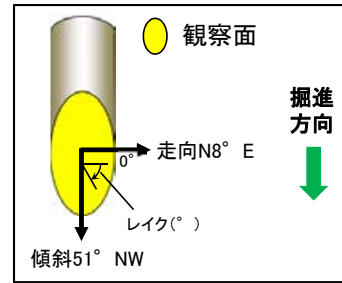


観察面拡大写真



詳細観察写真

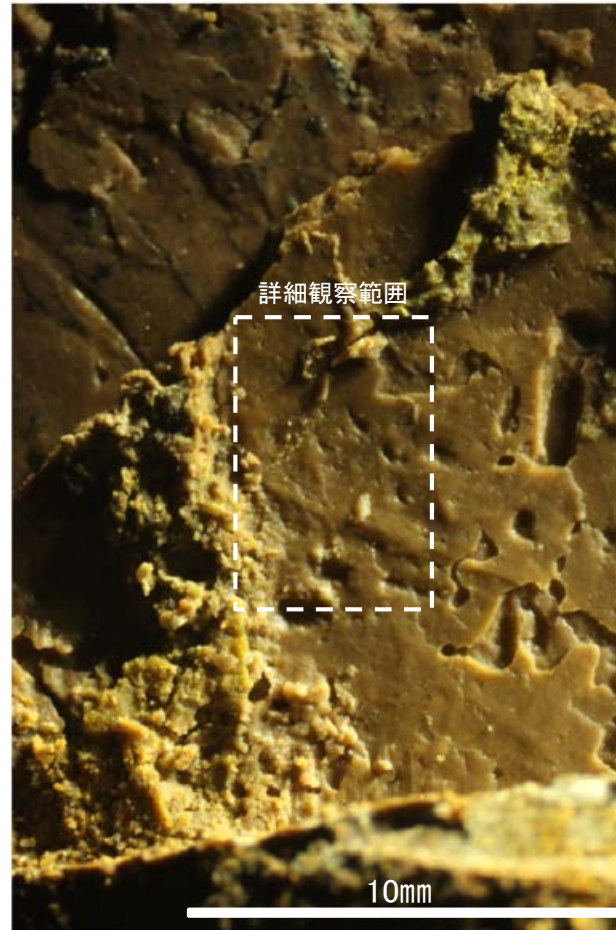
・条線のレイクは140° R, 変位センスは左横ずれ逆断層センス



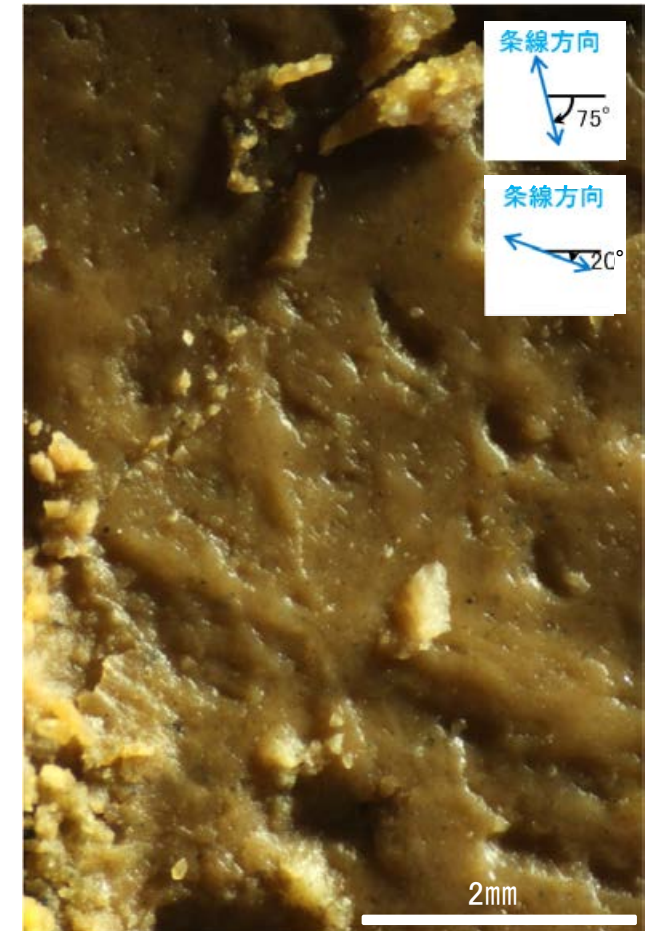
概念図
※走向は真北で示す。



観察面写真



観察面拡大写真



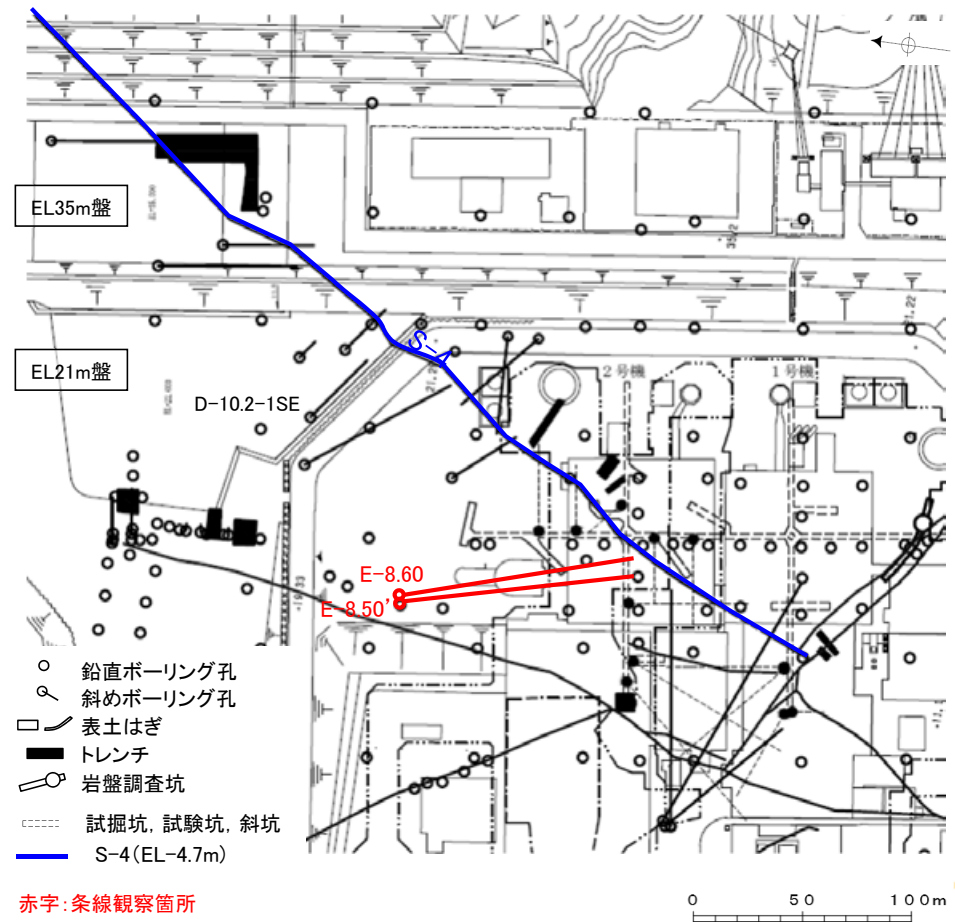
詳細観察写真

・条線のレイクは105° R(下盤側換算), 160° R(下盤側換算), それぞれ変位センスは不明

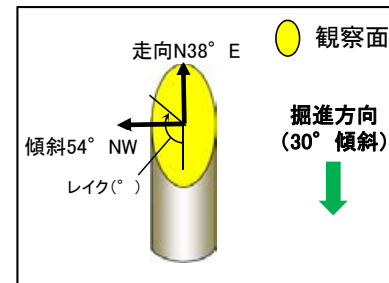
(2)-3 S-4の条線観察結果

S-4の条線観察結果

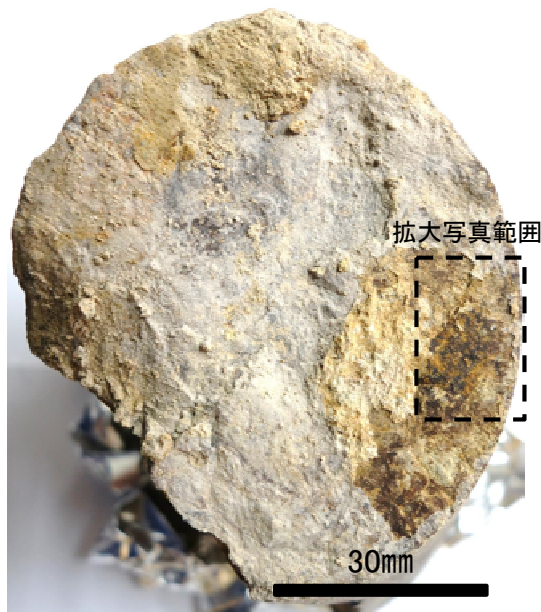
試料名		走向/傾斜 (走向は真北)	条線のレイク	変位センス
ボーリングE-8.50' 孔 [深度113.10m]	下盤側	N38° E/54° NW	131° R	(不明)
ボーリングE-8.60孔 [深度104.68m]	下盤側	N40° E/58° NW	126° R	左横ずれ逆断層



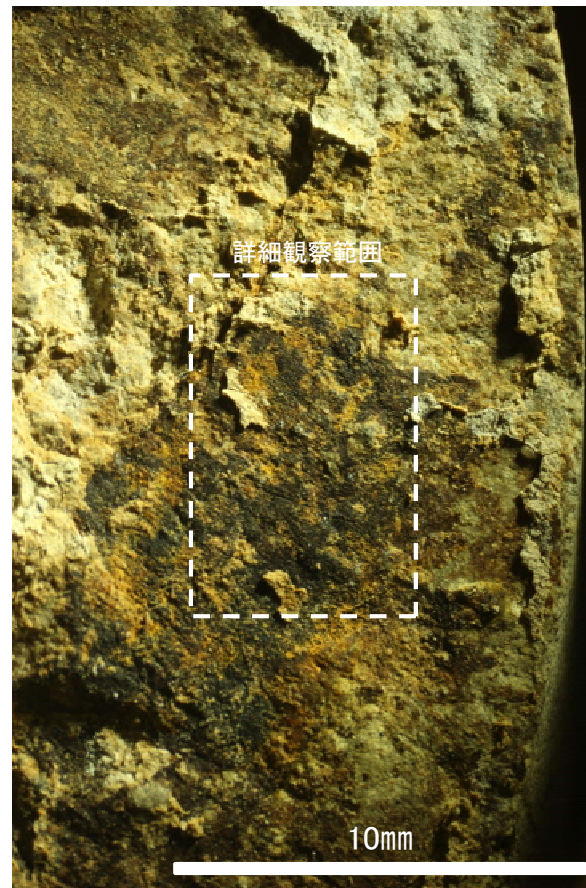
位置図



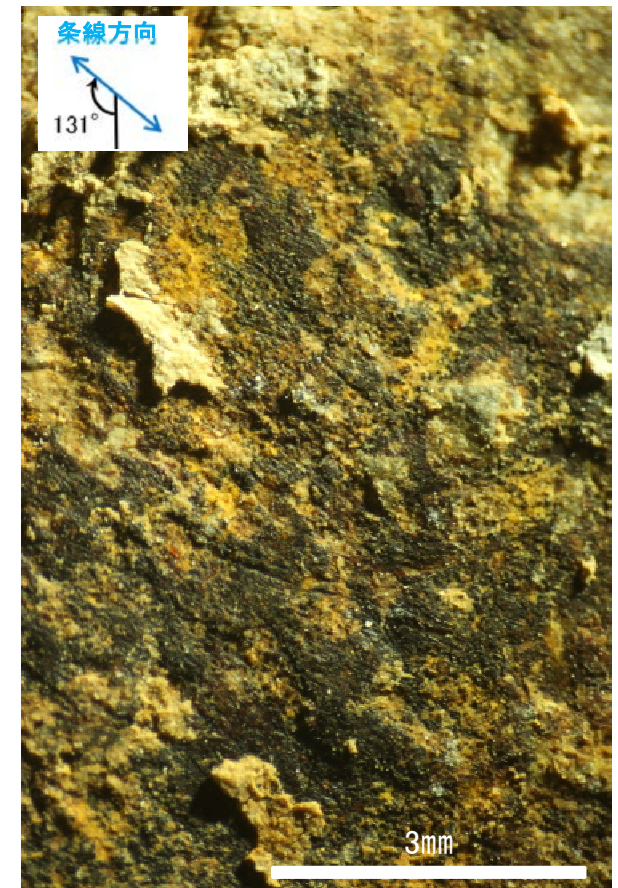
概念図
※走向は真北で示す。



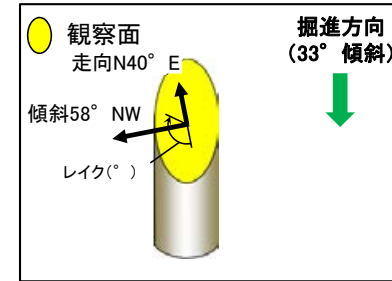
観察面写真



観察面拡大写真

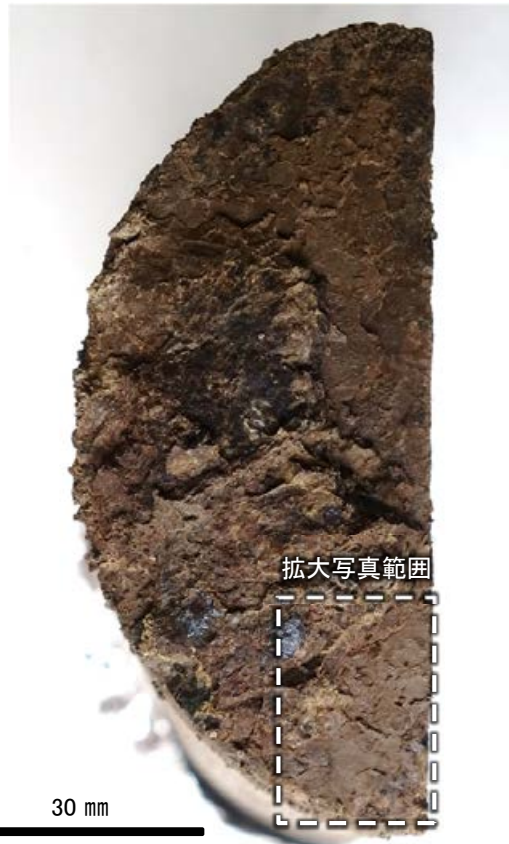
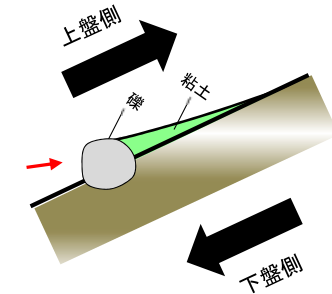


詳細観察写真



概念図
※走向は真北で示す。

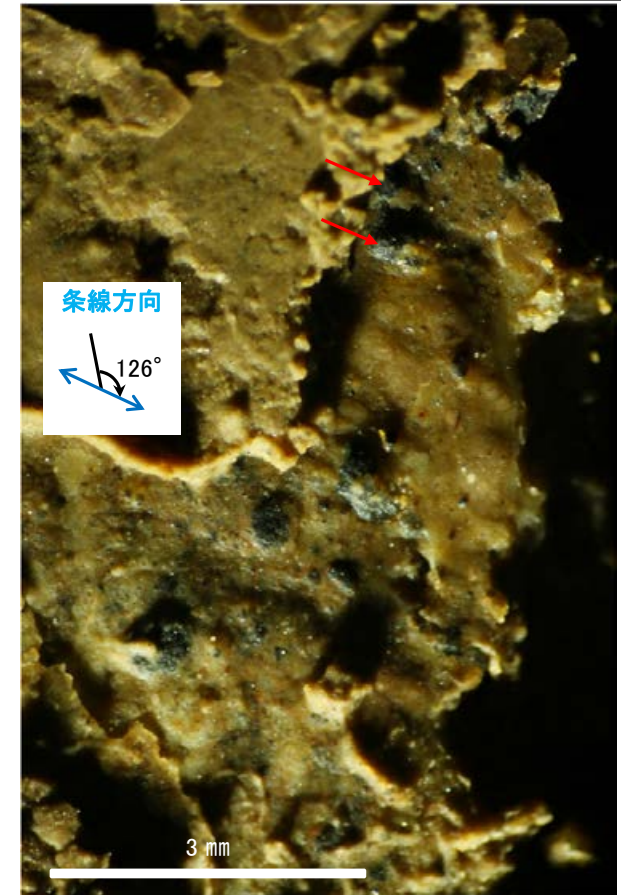
条線方向及び礫周りの粘土の非対称構造から、逆断層センスを示す。



観察面写真



観察面拡大写真



詳細観察写真

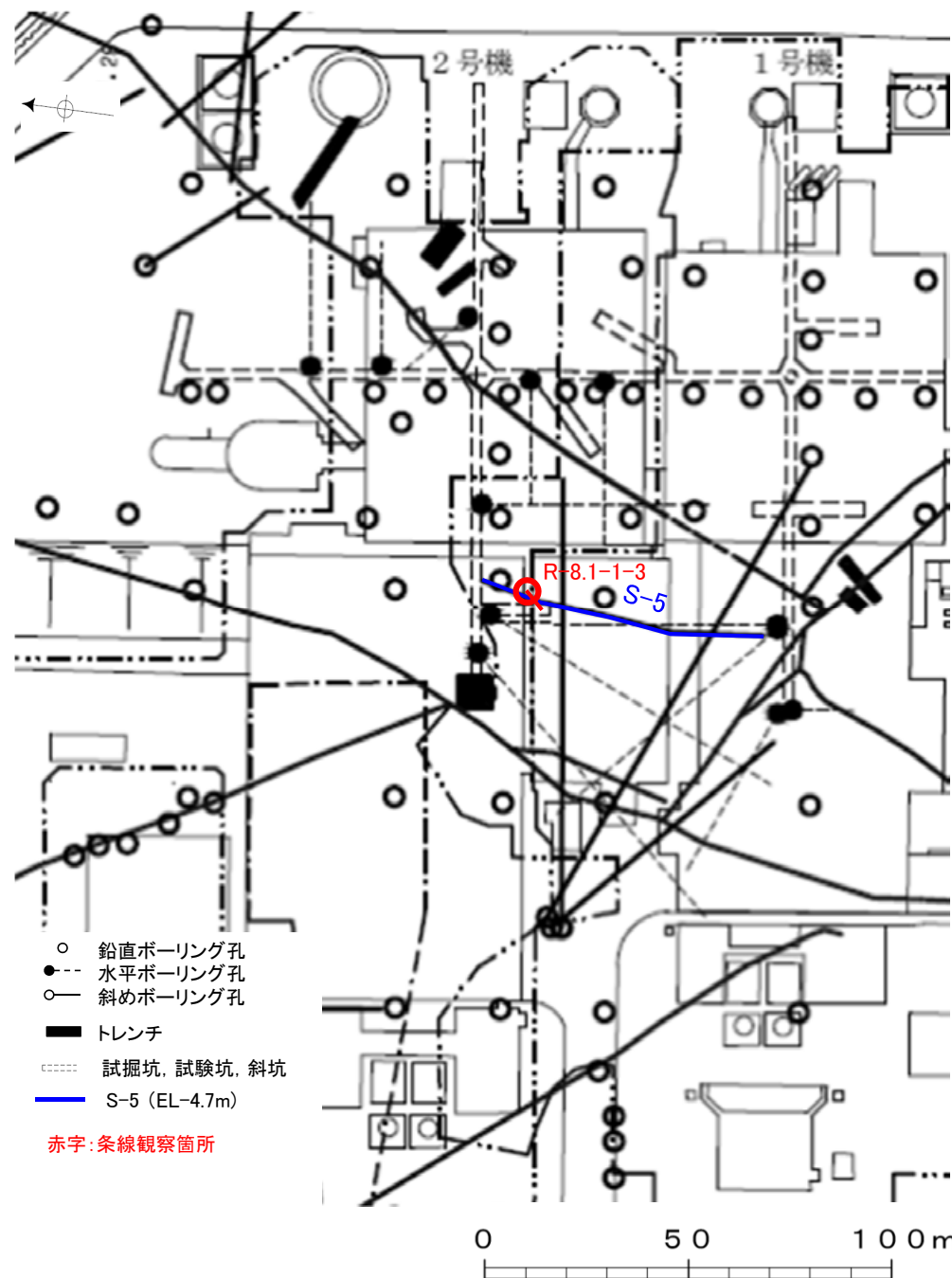
・条線のレイクは 126° R, 変位センスは左横ずれ逆断層

(2)-4 S-5の条線観察結果

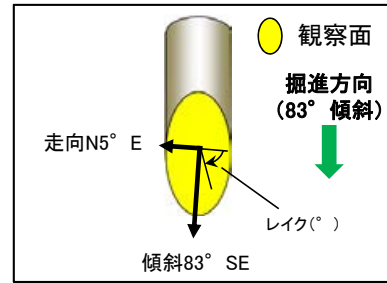
S-5の条線観察結果

試料名		走向/傾斜 (走向は真北)	条線のレイク※1	変位センス
ボーリングR-8.1-1-3孔 [深度22.30m]	上盤側	N5° E/83° SE	109° R	(不明)
			149° R	(不明)

※1 上盤側で確認したレイクは下盤側に換算して示す。



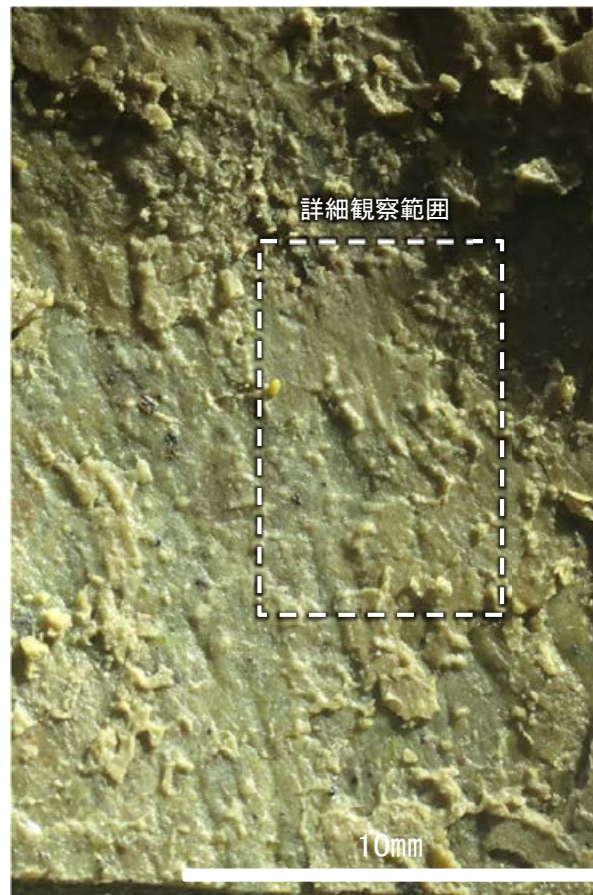
位置図



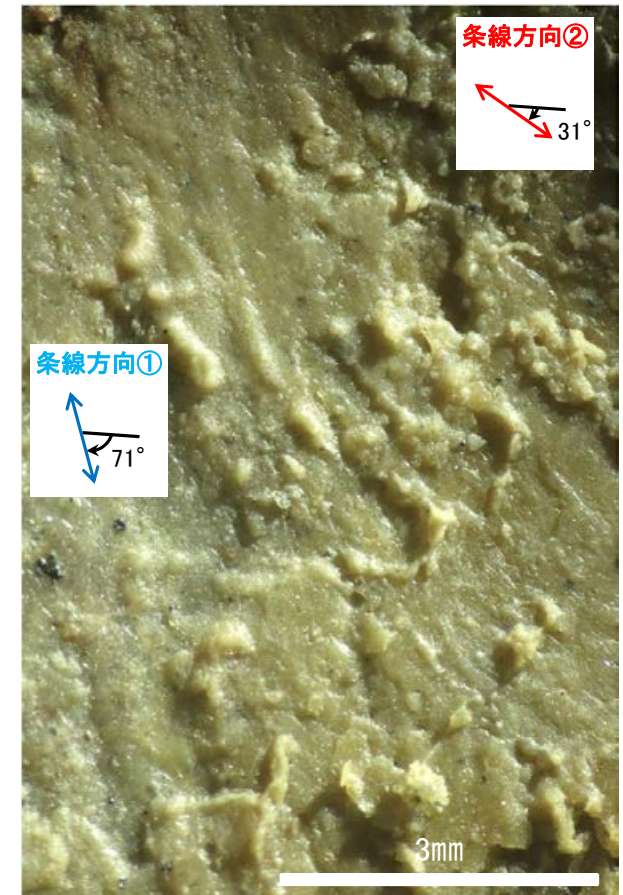
概念図
※走向は真北で示す。



観察面写真



観察面拡大写真



詳細観察写真

- ・条線①のレイクは109° R (下盤側換算), 変位センスは不明
- ・条線②のレイクは149° R (下盤側換算), 変位センスは不明

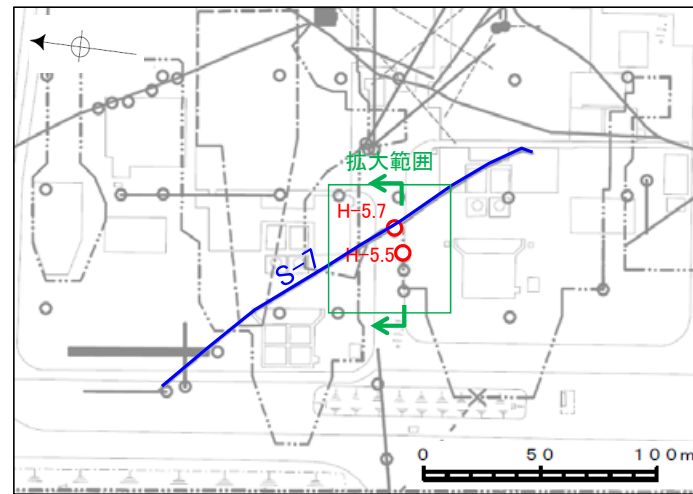
(2)-5 S-7の条線観察結果

S-7の条線観察結果

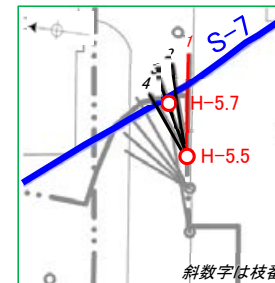
試料名		走向/傾斜 (走向は真北)	条線のレイク※1	変位センス
ボーリングH-5.5-1孔 [深度20.90m]	下盤側	N51° W/62° SW	78° R	右横ずれ逆断層
			53° R	(不明)
ボーリングH-5.7孔 [深度13.20m]	上盤側	N56° W/65° SW	20° R	(不明)
			160° R	(不明)
			45° R	右横ずれ逆断層

※1 上盤側で確認したレイクは下盤側に換算して示す。

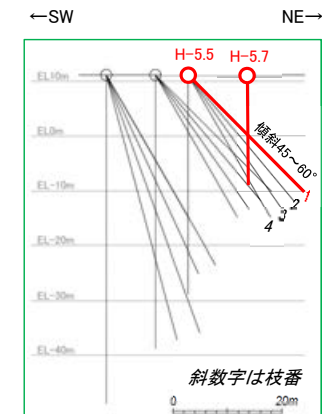
- 鉛直ボーリング孔
 - 斜めボーリング孔
 - 表土はぎ
 - トレンチ
 - 岩盤調査坑
 - ⋯ 試掘坑, 試験坑, 斜坑
 - S-7(EL-4.7m)
- 赤字: 条線観察箇所



位置図



拡大平面図

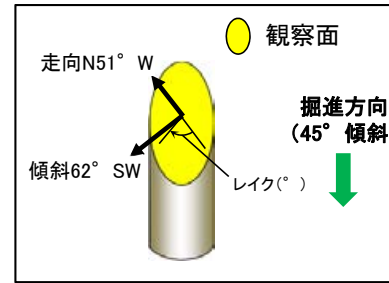


拡大断面図

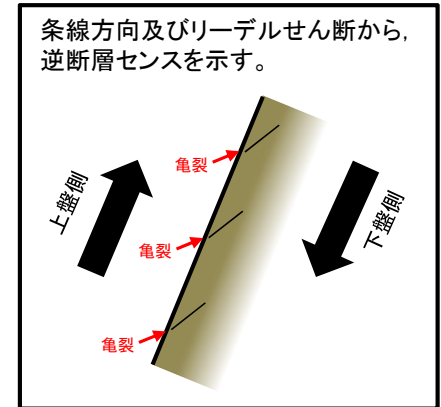


断面位置

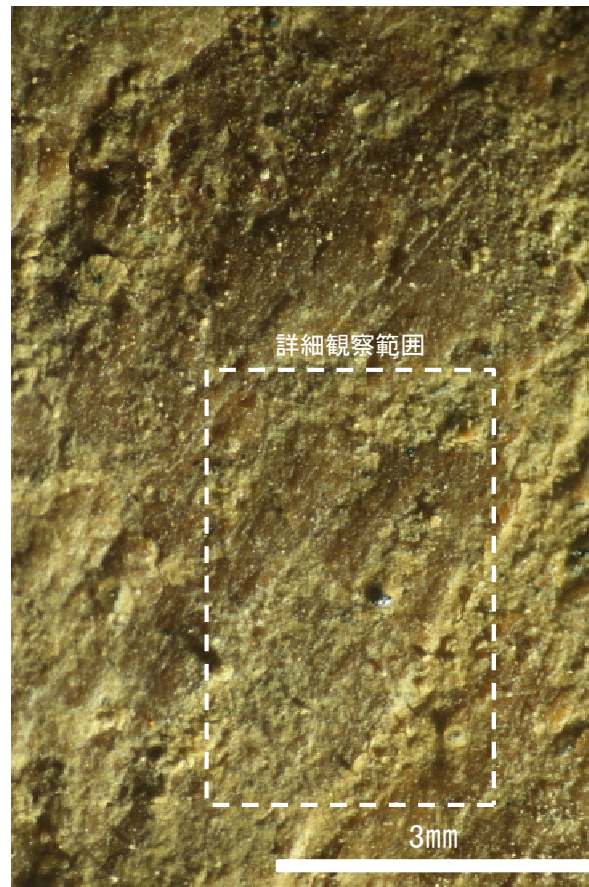
条線観察結果 ボーリングH-5.5-1孔[深度20.90m](下盤側)①



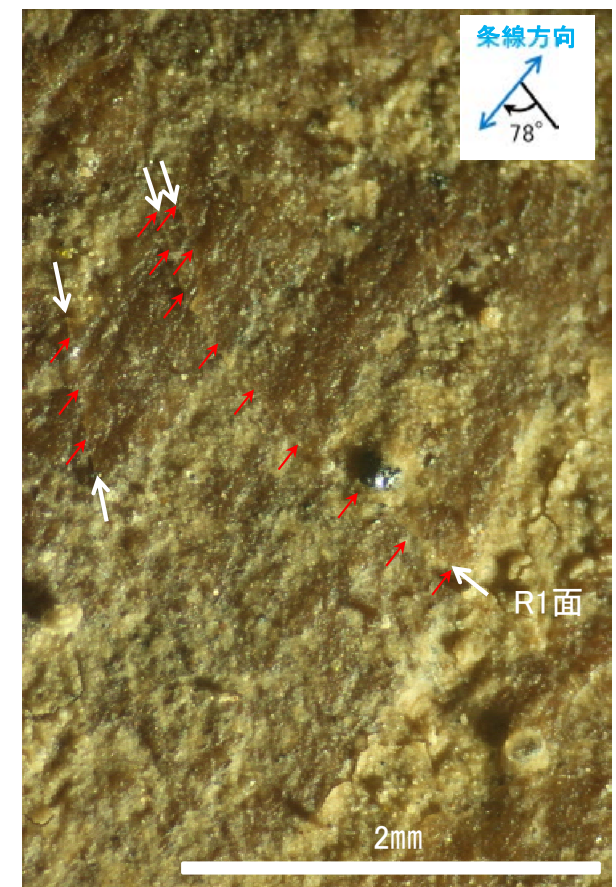
概念図
※走向は真北で示す。



観察面写真

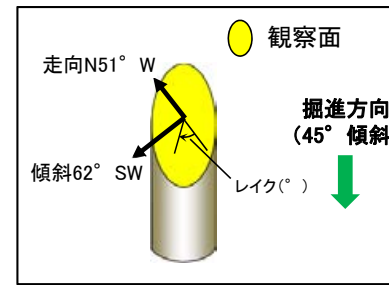


観察面拡大写真



詳細観察写真

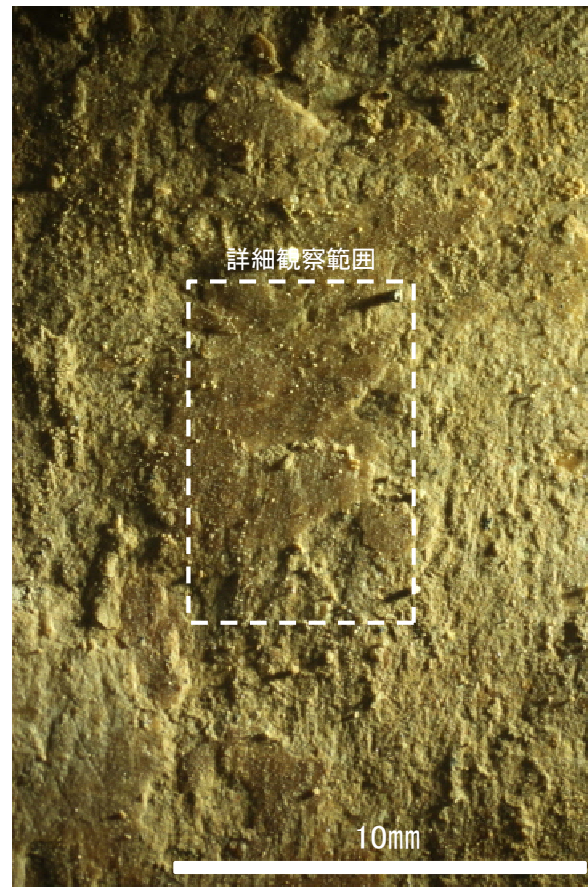
・条線のレイクは78° R, 変位センスは右横ずれ逆断層センス



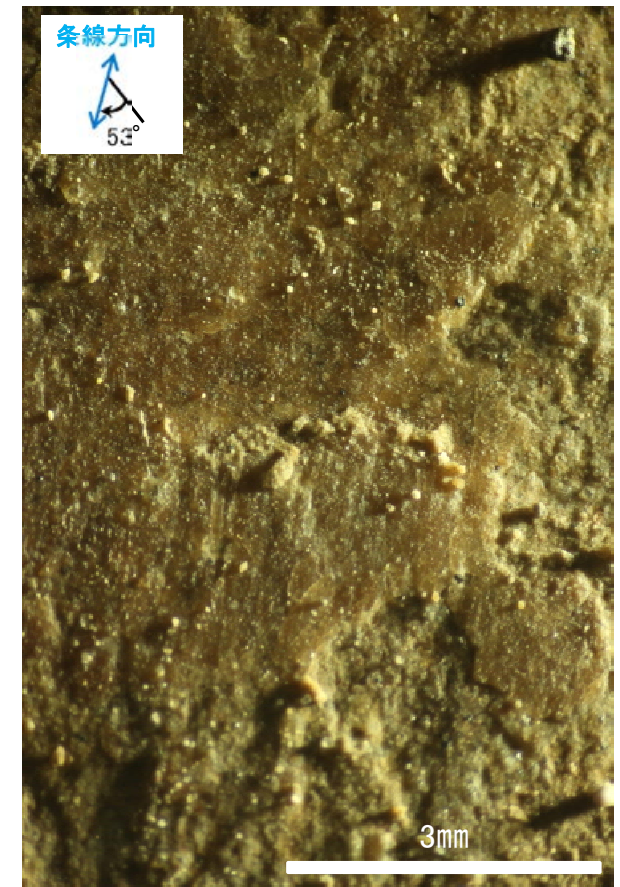
概念図
※走向は真北で示す。



観察面写真



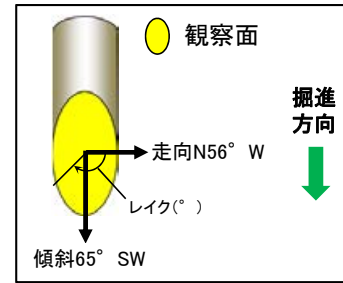
観察面拡大写真



詳細観察写真

・条線のレイクは53° R, 変位センスは不明

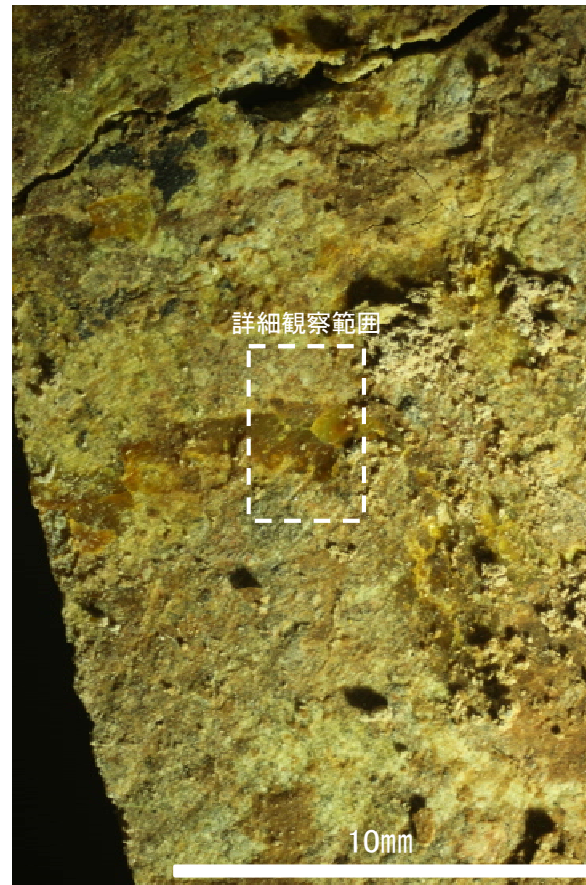
条線観察結果 ボーリングH-5.7孔[深度13.20m](上盤側)①



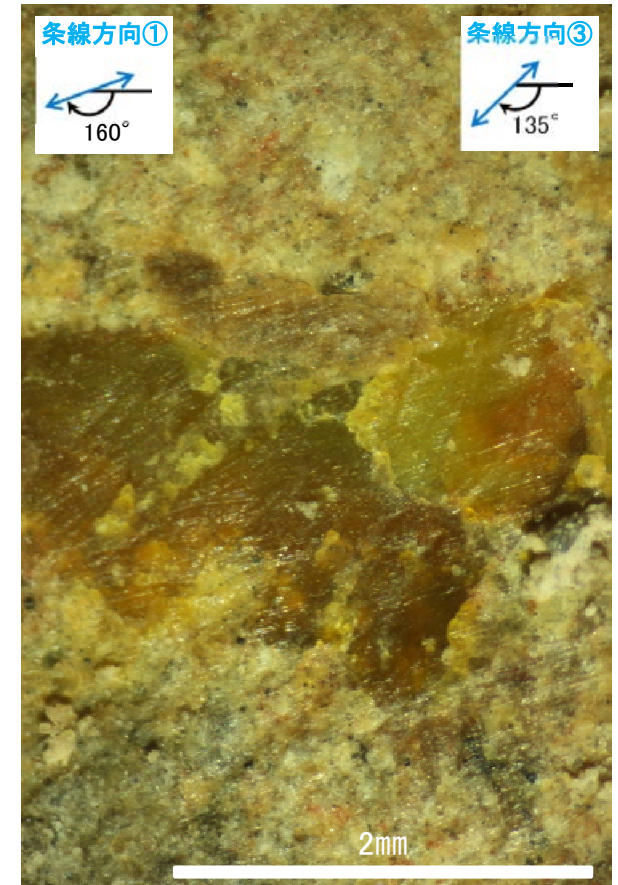
概念図
※走向は真北で示す。



観察面写真

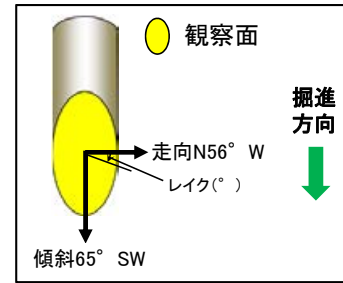


観察面拡大写真



詳細観察写真

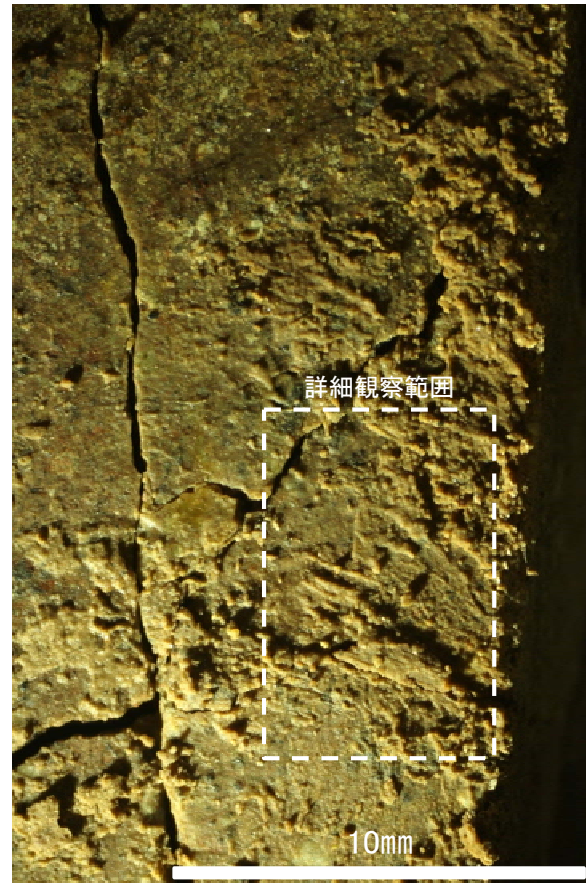
・条線のレイクは20° R(下盤側換算), 45° R(下盤側換算), それぞれ変位センスは不明



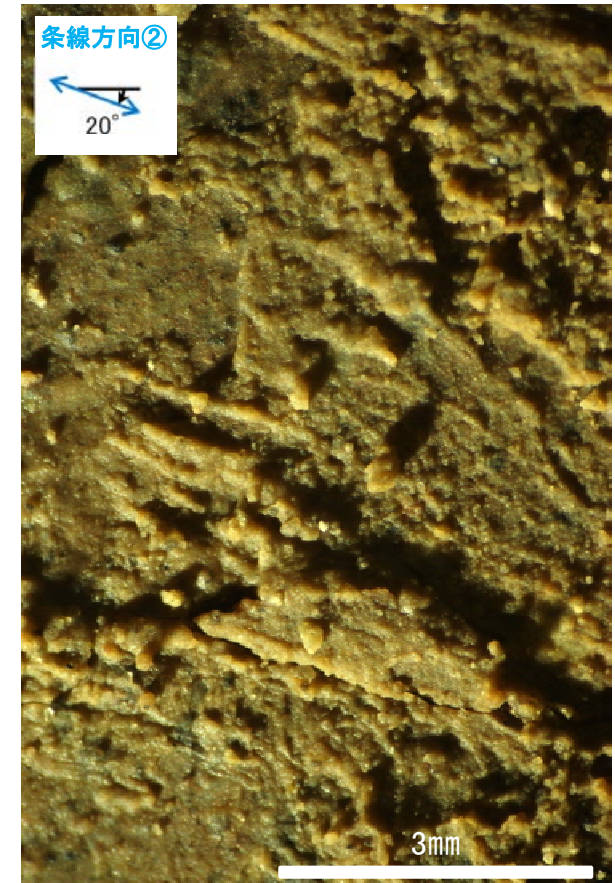
概念図
※走向は真北で示す。



観察面写真

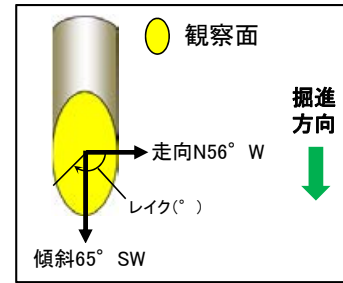


観察面拡大写真

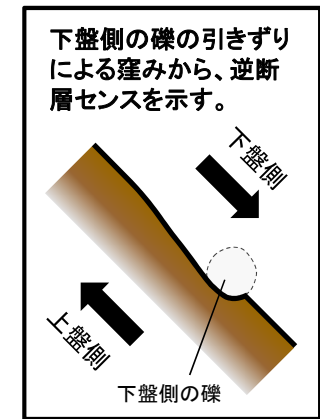


詳細観察写真

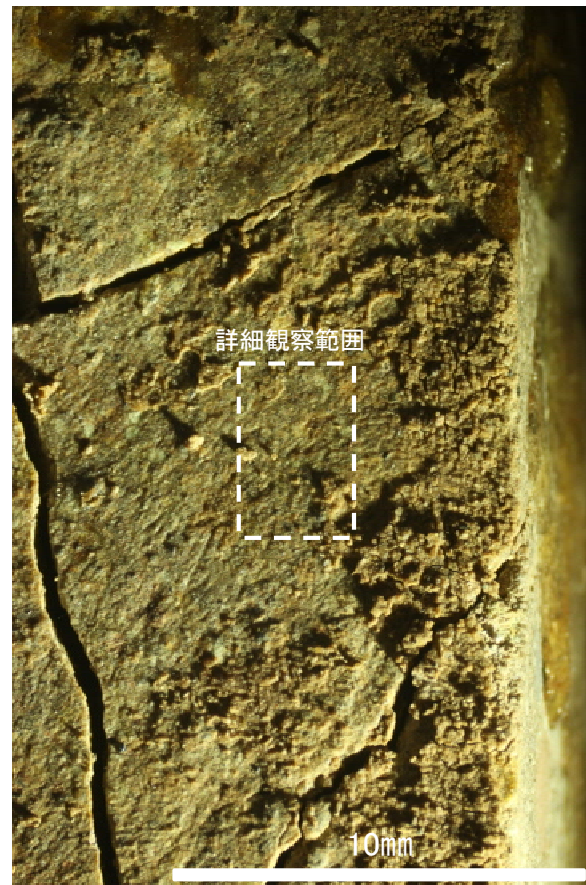
条線観察結果 ボーリングH-5.7孔[深度13.20m](上盤側)③



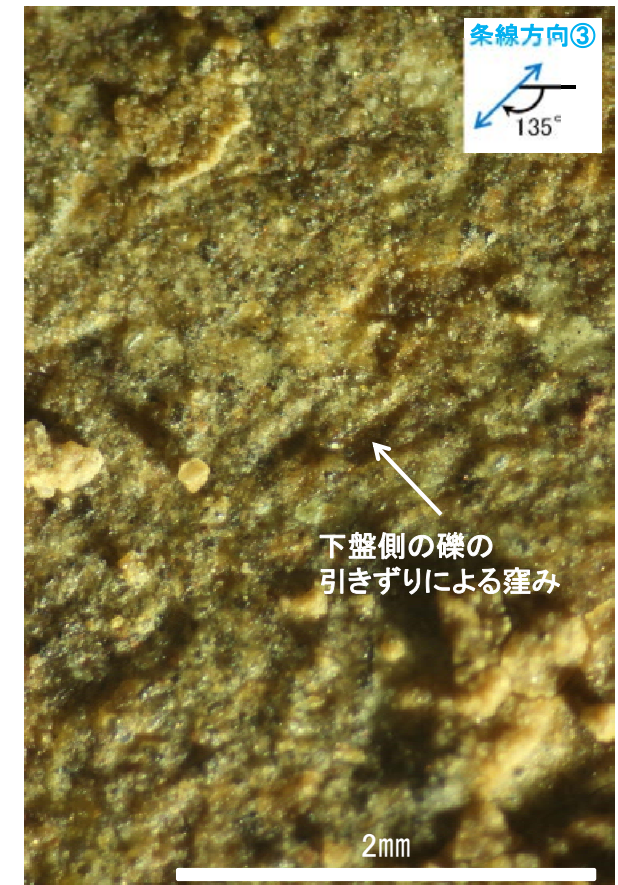
概念図
※走向は真北で示す。



観察面写真



観察面拡大写真



詳細観察写真

・条線のレイクは45° R (下盤側換算), 変位センスは右横ずれ逆断層センス